

Laboratorio De Telecomunicaciones

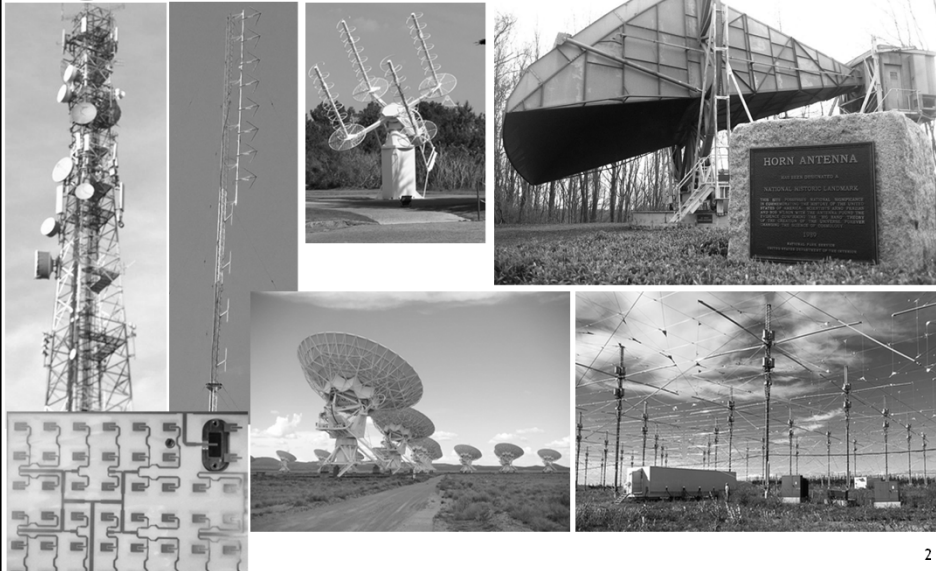
ELECTROMAGNETISMO 2



! BIENVENIDOS !



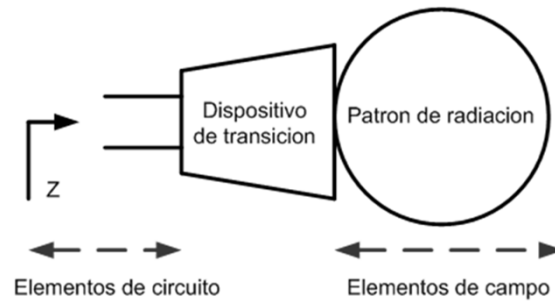
Antenas





Antenas

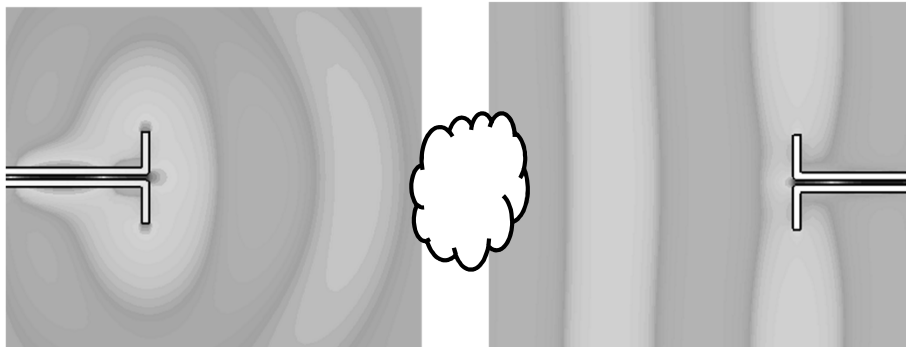
- Una antena puede definirse como un dispositivo de transición entre una onda guiada y el espacio libre un convertor de electrones a fotones
- (o viceversa si se trata de una antena receptora)
- **Ecuacion basica de radiacion** $\dot{I}L = Q\dot{v}$



3



Antenas



4



Antenas

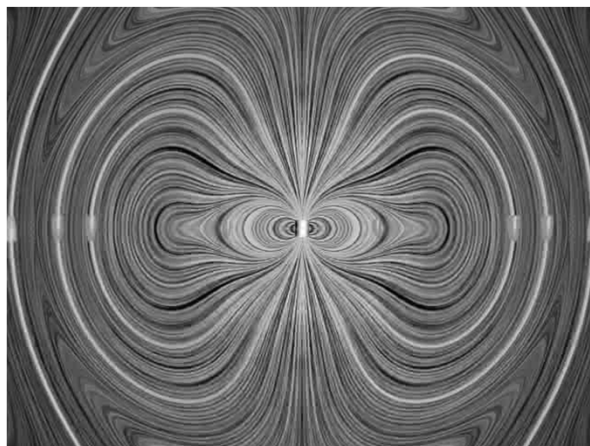
- ***Ecuacion basica de radiacion*** $\dot{I}L = Q\dot{v}$
- I = corriente variable en el tiempo, A/s
- L = longitud de un elemento de corriente, m
- Q = carga, C
- v = velocidad variable en el tiempo (aceleración), m/s²

- De este modo corrientes variables en el tiempo radian y cargas aceleradas también,
- para variaciones armónicas estacionarias nos enfocamos en la corriente y para situaciones pulsantes o transitorias en la carga

5



Antenas



6



Campos cercanos y lejanos

- El campo de radiación que se encuentra cerca de una antena no es igual que el campo de radiación que se encuentra a gran distancia
- El término campo cercano se refiere al patrón de campo que está cerca de la antena, y el término campo lejano se refiere al patrón de campo que está a gran distancia
- Durante la mitad del ciclo, la potencia se irradia desde una antena, y parte de la misma se guarda temporalmente en el campo cercano. Durante la segunda mitad del ciclo, la potencia que está en el campo cercano regresa a la antena.
- Esta acción es similar a la forma en que un inductor guarda y suelta energía. Por tanto, el campo cercano se llama a veces campo de inducción (*región de Fresnel*).

7



Campos cercanos y lejanos

•



8



Campos cercanos y lejanos

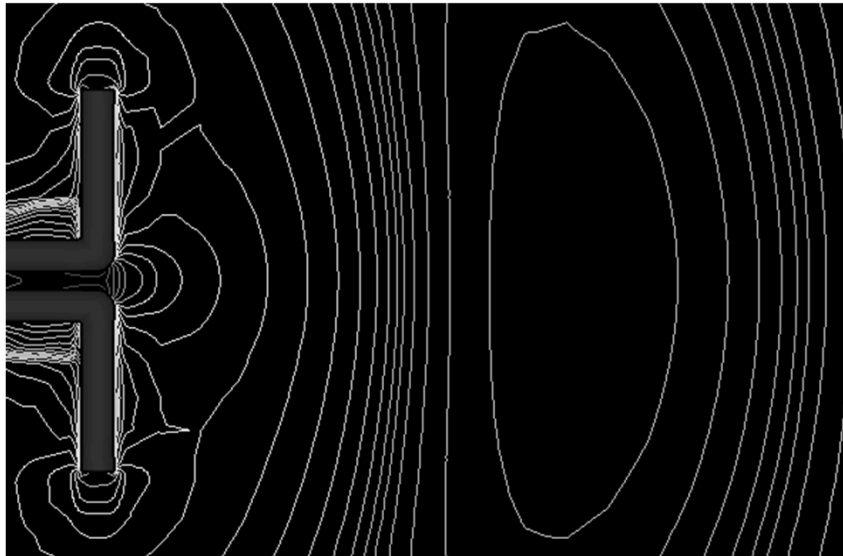
- La potencia que alcanza el campo lejano continúa irradiando lejos y nunca regresa a la antena. Por tanto, el campo lejano se llama campo de radiación (*región de Fraunhofer*).
- La potencia de radiación, por lo general, es la más importante de las dos; por consiguiente, los patrones de radiación de la antena, se dan para el campo lejano.
- La frontera entre los campos puede definirse, arbitrariamente, como el área dentro de una distancia R , de la antena (campo cercano), en donde λ es la longitud de onda y D el diámetro de la antena en las mismas unidades.

$$R = 2 * \frac{D^2}{\lambda}$$

9



Campos cercanos y lejanos



10



Pattern - Patrones de radiación

- La observación de los patrones de radiación se realiza en distancias lejanas ($R \gg \lambda$) de modo que se puede considerar los campos enteramente transversales, independientes de la distancia R siendo el flujo de potencia (vector de Poynting) radial
- Al ser un plano TEM, R no influye en la forma, claro que si en la atenuación.

11



Patrón de radiación

Los patrones de radiación son tridimensionales y consideran las variaciones de campo (o potencia) en función de las coordenadas esféricas θ y Φ .

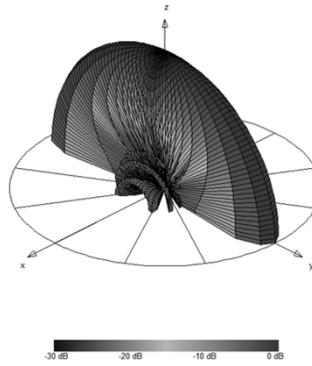
Para especificar completamente el patrón de radiación respecto a la intensidad de campo y la polarización se requiere definir:

$$E_{\theta}(\theta, \varphi) \quad E_{\varphi}(\theta, \varphi) \quad \delta_{\theta}(\theta, \varphi) \quad \delta_{\varphi}(\theta, \varphi)$$

12



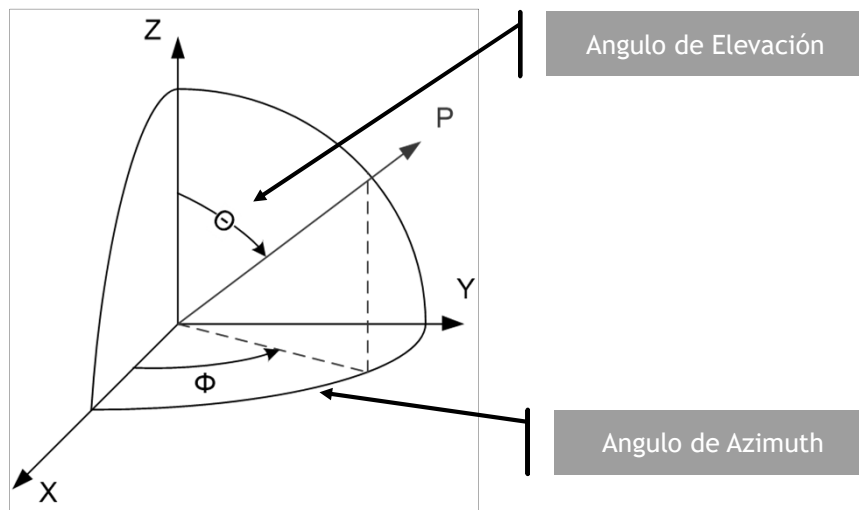
Pattern - Patrones de radiación



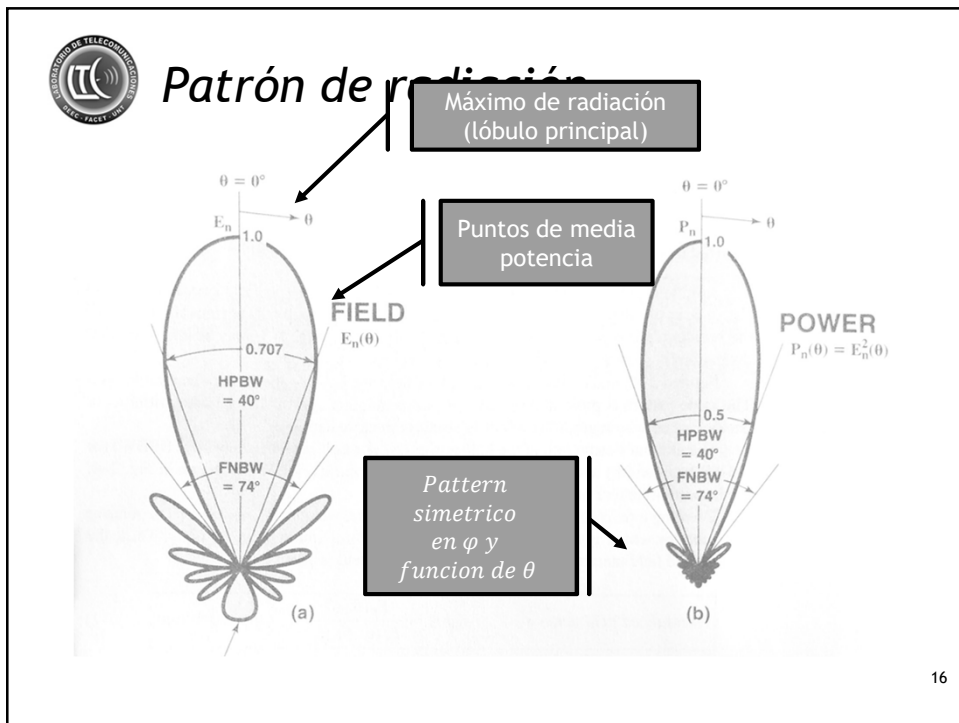
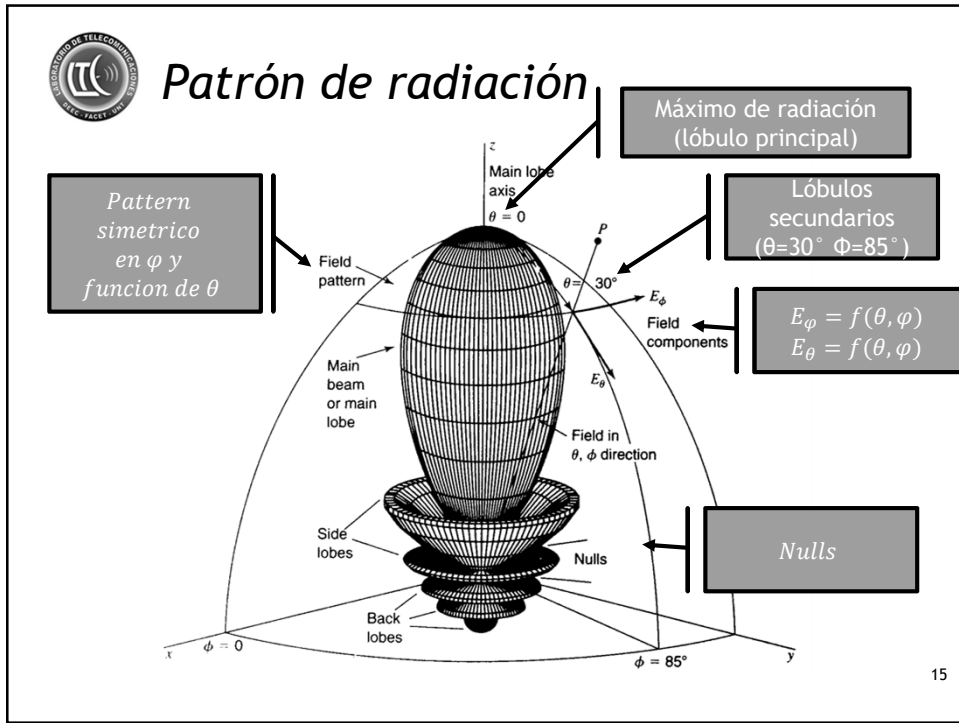
13

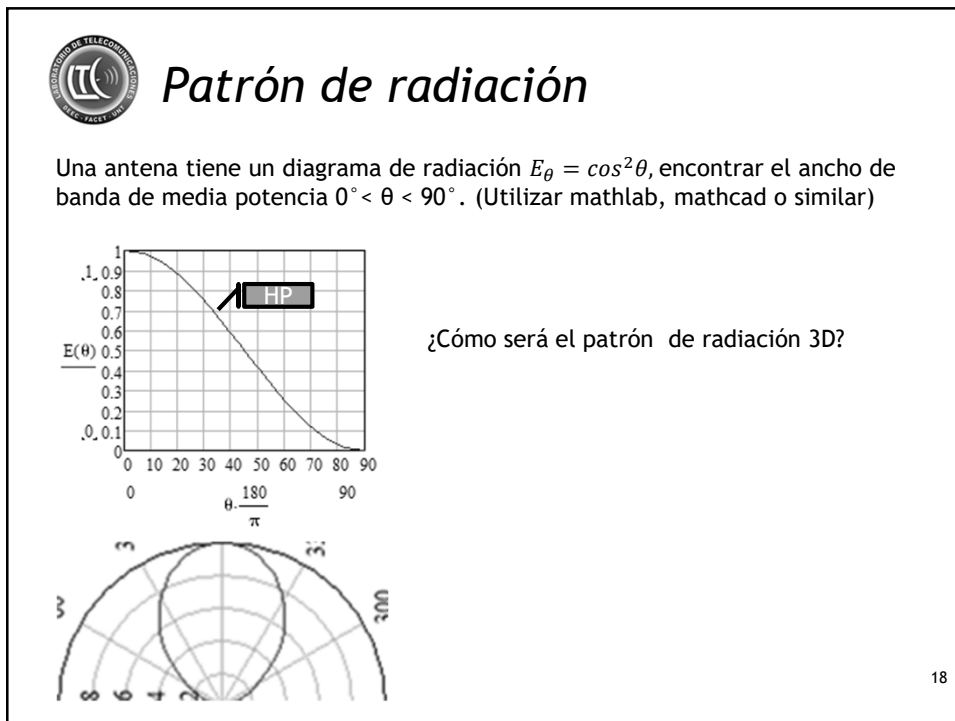
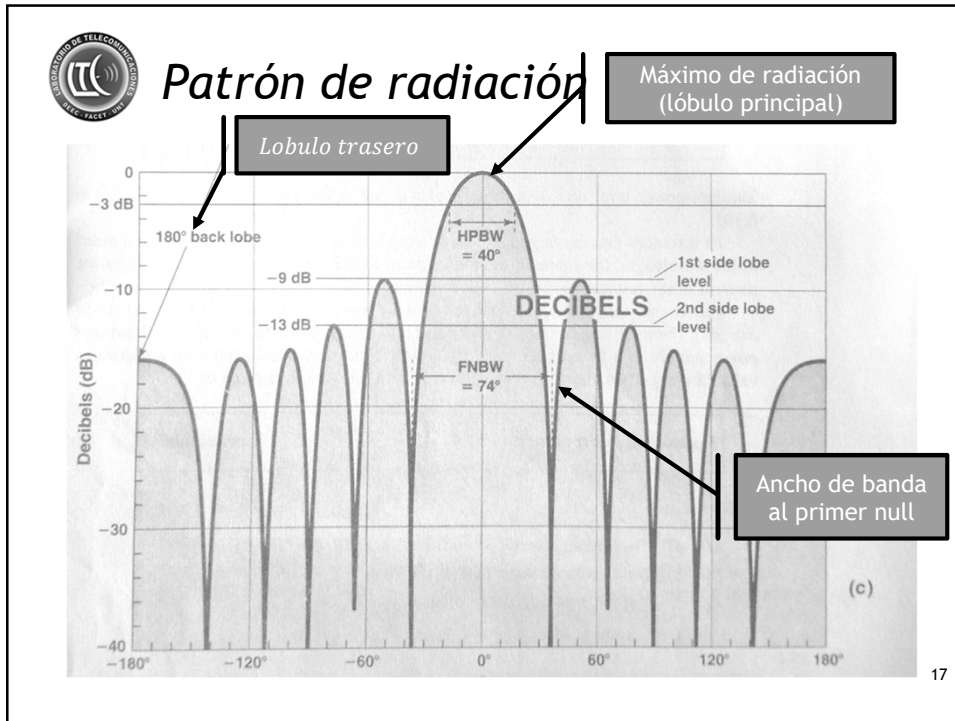


Sistema de coordenadas



14

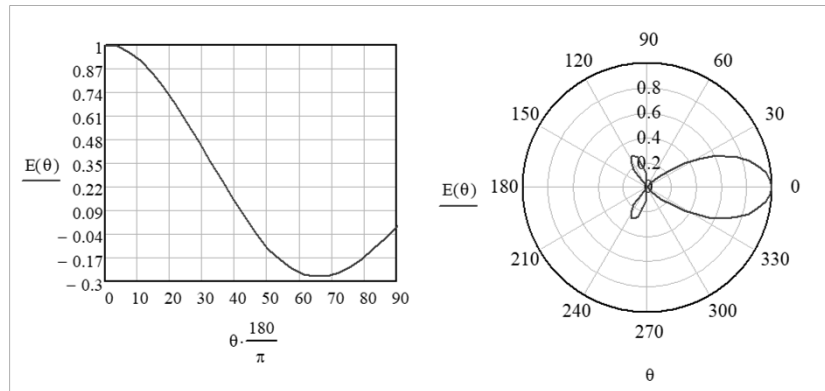






Patrón de radiación

Una antena tiene un diagrama de radiación $E_\theta = \cos\theta\cos2\theta$, encontrar el ancho de banda de media potencia y el ancho de banda entre nulls $0^\circ < \theta < 90^\circ$



19



Patrón de radiación

Aunque las características de radiación de una antena implican campos vectoriales en tres dimensiones, varias magnitudes escalares nos proporcionan información útil

Ángulos de media potencia

Área del haz Ω_A

Eficiencia del haz E_M

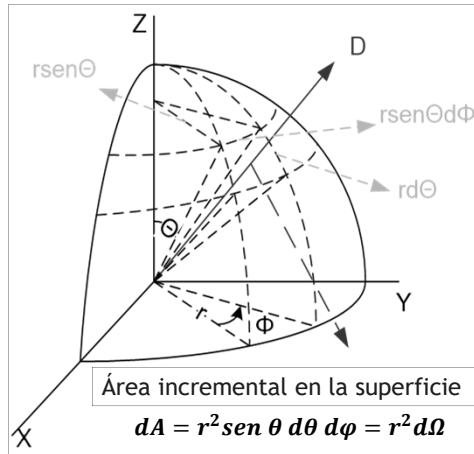
Directividad D o Ganancia G

Apertura efectiva A_e

20



Ω_A área del haz



$d\Omega$ es el ángulo sólido subtendido por el área dA (estereoradián)

$$1 \text{ rad}^2 = \left(\frac{180}{\pi}\right)^2 = 3283 \text{ deg}^2$$

$$4\pi \text{ sr} = 4\pi * 3283 = 41253 \text{ deg}^2$$

Ángulo sólido de una esfera

21



Ω_A área del haz

Ω_A ángulo sólido de una antena, esta dado por la integral del patrón de potencia normalizado sobre una esfera

$$\Omega_A = \int_0^{2\pi} \int_0^{\pi} P_n(\theta, \phi) \text{sen} \theta \, d\theta \, d\phi \quad (\text{sr})$$

$$\text{Potencia radiada por la antena} = \Omega_A P(\theta, \phi) \quad \text{W}$$

Si el haz esta concentrado una buena aproximacion es

$$\Omega_A \cong \theta_{HP} \phi_{HP}$$

22



Ω_A área del haz

Calcular el ángulo sólido de una antena Ω_A si el patrón de radiación es $E_\theta = \cos^2\theta$ si $0^\circ < \theta < 90^\circ$

$$E(\theta) = \cos^2(\theta) \quad \Omega_A = \int_0^{2\pi} \int_0^{\frac{\pi}{2}} \cos^4(\theta) \sin(\theta) d\theta d\phi \quad \Omega_A = 1.257 \text{ sr}$$

Aproximar con los ángulos de media potencia

$$HP_\theta = 66^\circ \quad \Omega_A = (HP_\theta)^2 \quad \Omega_A = 4.356 * 10^3 \quad \frac{\Omega_A}{3283} = 1.327 \text{ sr}$$

6% de
diferencia

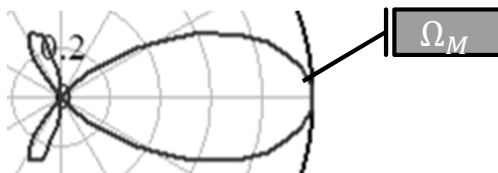
23



Eficiencia del haz

Sera la razón del ángulo sólido del haz principal Ω_M al Ω_A de la antena

$$\text{Eficiencia del haz} = \frac{\Omega_M}{\Omega_A}$$



24



Directividad

Directividad es la razón de la máxima densidad de potencia al valor promedio observado sobre una esfera en condiciones de campo lejano

$$D = \frac{P(\theta, \phi)_{max}}{P(\theta, \phi)_{av}}$$

$$\text{Densidad de potencia promedio } P(\theta, \phi)_{av} = \frac{1}{4\pi} \int_0^{2\pi} \int_0^{\pi} P(\theta, \phi) \sin\theta \, d\theta d\phi \frac{W}{sr}$$

$$D = \frac{P(\theta, \phi)_{max}}{\frac{1}{4\pi} \int_0^{2\pi} \int_0^{\pi} P(\theta, \phi) \sin\theta \, d\theta d\phi} = \frac{4\pi}{\int_0^{2\pi} \int_0^{\pi} \frac{P(\theta, \phi)}{P(\theta, \phi)_{max}} \sin\theta \, d\theta d\phi}$$

$$D = \frac{4\pi}{\Omega_A}$$

¿Cuanto vale la directividad de una fuente que radia en un solo hemisferio?

25



Ganancia

Ganancia será igual al producto de la directividad por el factor de eficiencia de la antena

$$G = k * D$$

Suele expresarse como referida a la ganancia de una antena de referencia, por lo general el radiador isotrópico o el dipolo de media onda

$$db_i \text{ o } db_d$$

26



Ganancia

Calcular la directividad de una antena cuyo pattern es:

$$E_{(\theta,\phi)} = \text{sen } \theta \text{ sen } \phi \quad 0 < \theta, \phi < \pi$$

$$D = \frac{4\pi}{\int_0^\pi \int_0^\pi \sin^3(\theta) \sin^2(\phi) d\theta d\phi} \quad D = 6$$

Calcular la directividad a partir de los ángulos de media potencia y evaluar la diferencia

27



Patrón de radiación

Investigar tipos de antenas y sus especificaciones

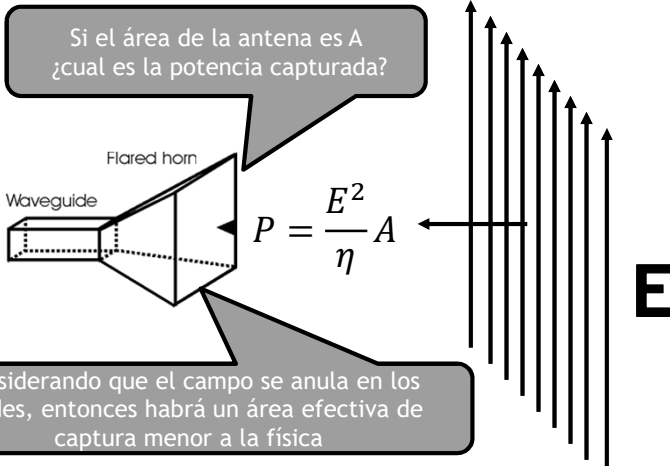
29



Antena como apertura

Supongamos una antena inmersa en el campo de una onda plana uniforme

Si el área de la antena es A
¿cual es la potencia capturada?



$$P = \frac{E^2}{\eta} A$$

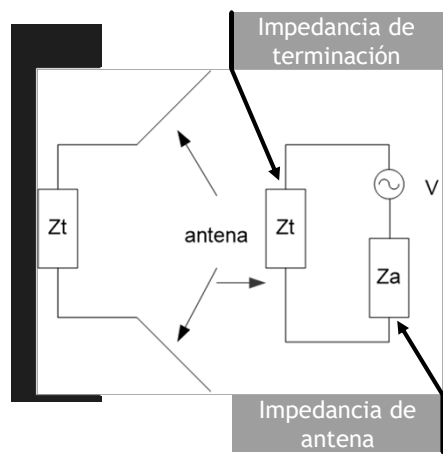
Considerando que el campo se anula en los
bordes, entonces habrá un área efectiva de
captura menor a la física

30



Antena como apertura

Definimos el siguiente modelo circuital: La antena colecta energía y la entrega en Z_t



Impedancia de terminación

Impedancia de antena

$$Z_t = R_T + jX_T$$

$$Z_a = R_A + jX_A$$

$$R_A = R_r + R_L$$

Resistencia de radiación

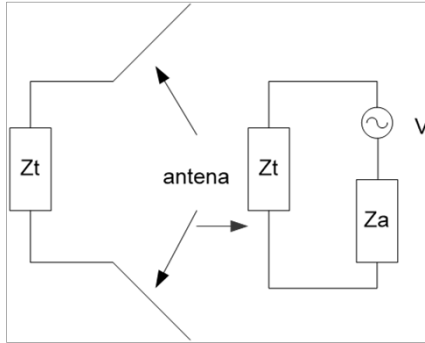
Resistencia de pérdidas

31



Antena como apertura

La antena desarrollara una potencia en la carga: $W = I^2 R_T$



$$I = \frac{V}{\sqrt{(R_T + R_r + R_L)^2 + (X_A + X_T)^2}}$$

$$W = \frac{V^2 * R_T}{(R_T + R_r + R_L)^2 + (X_A + X_T)^2}$$

La relación entre la potencia incidente P y la desarrollada en la carga W será la Apertura efectiva

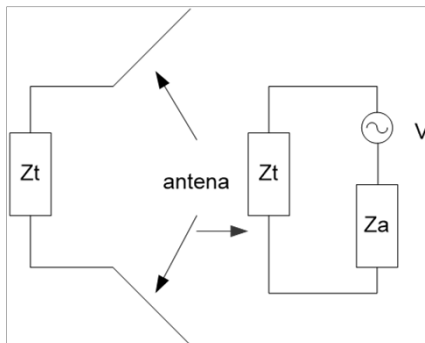
32



Antena como apertura

Apertura efectiva

$$A_{ef} = \frac{W}{P}$$



Consideremos las condiciones para desarrollar la máxima potencia en la carga

$$R_L = 0 ; R_T = R_r ; X_A = \overline{X_T}$$

$$W_{max} = \frac{V^2}{4R_r} = \frac{V^2}{4R_T}$$

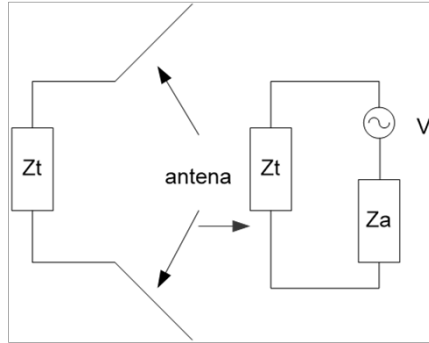
Podemos definir una Apertura efectiva máxima $A_{efm} = \frac{V^2}{4PR_r}$

33



Antena como apertura

Apertura Scattering Parte de la potencia incidente se disipa como perdidas y parte se radia nuevamente al espacio



$$W_s = I^2 * R_r$$

$$W_s = \frac{V^2 * R_r}{(R_T + R_r + R_L)^2 + (X_A + X_T)^2}$$

Podemos definir una Apertura Scattering

$$A_s = \frac{W_s}{P} = \frac{V^2 * R_r}{P[(R_T + R_r + R_L)^2 + (X_A + X_T)^2]} \quad 34$$



Antena como apertura

Si analizamos la Apertura Scattering vemos lo siguiente :

suponemos las perdidas despreciables $R_L = 0$

$$A_s = \frac{V^2 * R_r}{P[(R_T + R_r + R_L)^2 + (X_A + X_T)^2]}$$

Cortocircuito resonante

$$R_T = 0; X_A = \overline{X_T}$$

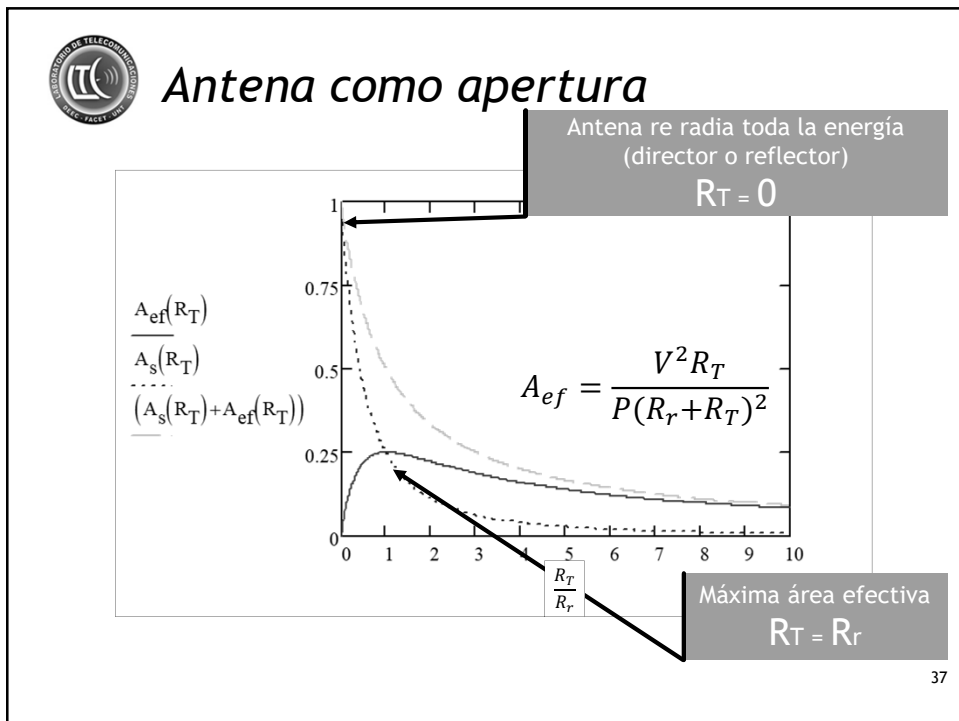
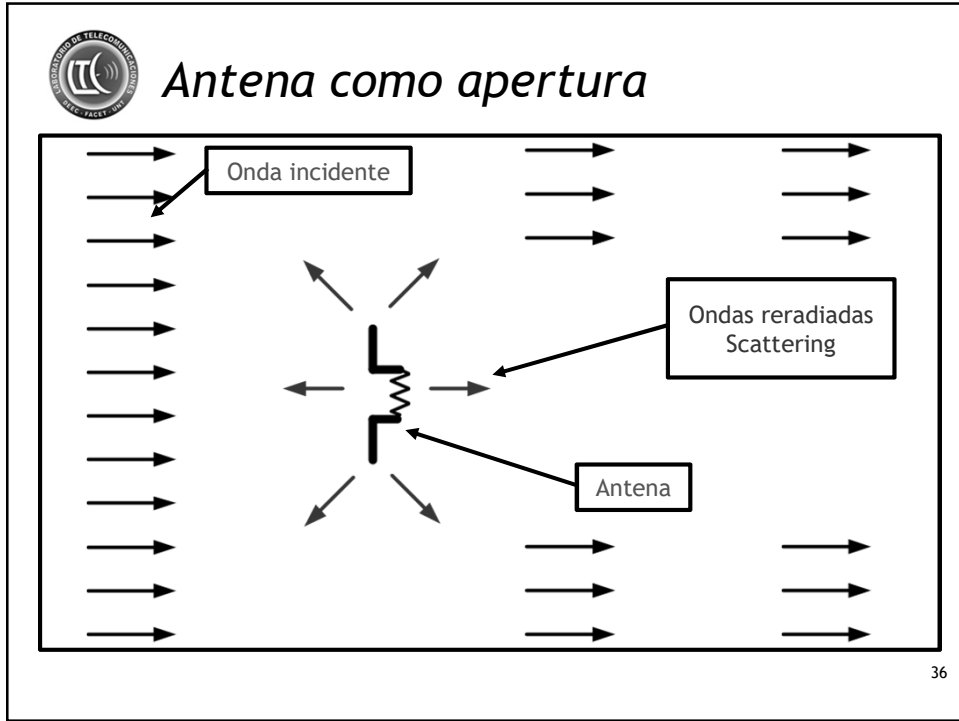
$$A_s = \frac{V^2}{4PR_r}$$

Máxima Transferencia

$$R_T = R_r; X_A = \overline{X_T}$$

$$A_s = \frac{V^2}{4PR_r} = A_{efmax}$$

35





Antena como apertura

Estas tres formas de apertura están relacionadas con las tres formas en que la energía captada por la antena puede ser dividida

En la carga

Disipada como calor en la antena

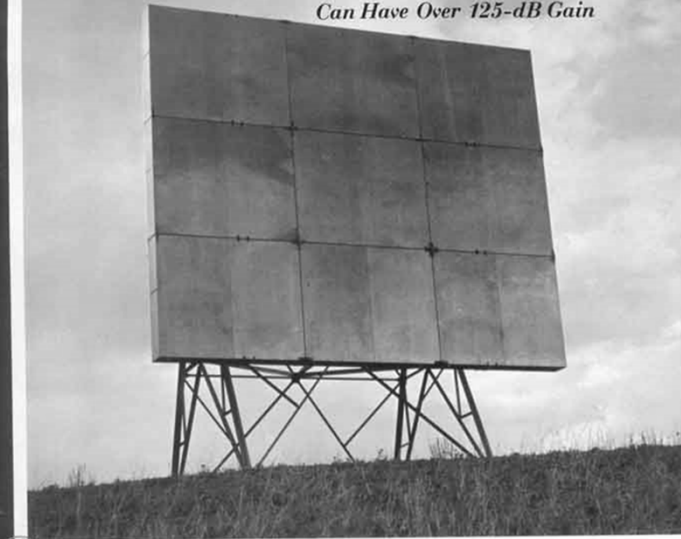
Re radiándose al espacio

38



RADIO MIRRORS

*Passive Microwave Repeaters
Can Have Over 125-dB Gain*



39



Antena como apertura

Ganancia y Área efectiva se relacionan de tal manera que:

$$\frac{G_1}{G_2} = \frac{A_{efm1}}{A_{efm2}}$$

A mayor Área efectiva, mayor potencia disipada en R_t ,
mayor Ganancia

40



Antena como apertura

Consideremos un Dipolo Corto ($\lambda \gg L$)

$$A_{efmDC} = \frac{3}{8\pi} \lambda^2 \quad G_{DC} = \frac{3}{2}$$

Entonces podemos determinar el área efectiva de una Radiador isotrópico $G_{RI} = 1$

$$\frac{G_{RI}}{G_{DC}} = \frac{A_{efRI}}{A_{efDC}} \quad A_{efRI} = \frac{G_{RI}}{G_{DC}} * A_{efDC} \quad \boxed{A_{efRI} = \frac{1}{4\pi} \lambda^2}$$

41



Antena como apertura

Entonces podemos calcular la ganancia de una antena con respecto al RI, a partir del A_{ef}

$$G = \frac{4\pi}{\lambda^2} A_{ef}$$

¿Cuál es la apertura efectiva máxima de una antena de microondas con $D=900$, si la frecuencia es de 3 Ghz?

$$A_{efm} = 0,716 \text{ m}^2$$

42



Antena como apertura

Calculo del enlace, Ecuación de Friis

Un RI genera un vector de Poynting $P = \frac{W_{tx}}{4\pi R^2}$

Considerando la ganancia de la antena Tx $P = \frac{W_{tx} \cdot G_{tx}}{4\pi R^2}$

La potencia en el Rx sera: $W_{rx} = P \cdot A_{efrx} = \frac{W_{tx} \cdot G_{tx}}{4\pi R^2} \cdot A_{efrx}$

Si $A_{efrx} = \frac{\lambda^2 \cdot G_{rx}}{4\pi}$ entonces $W_{rx} = \frac{W_{tx} \cdot G_{tx}}{(4\pi R)^2} \cdot \lambda^2 G_{rx}$

43



Antena como apertura

Calculo del enlace, Ecuación de Friis

$$W_{rx} = \frac{W_{tx} \cdot G_{tx}}{(4\pi R)^2} \cdot \lambda^2 G_{rx}$$

$$W_{rxdb} = W_{txdb} + G_{txdb} + G_{rxdb} + 20 \cdot \log(\lambda) - 20 \cdot \log(4\pi R)$$

Tomando la frecuencia en Mhz y la distancia en Km, tenemos la ecuación de enlace

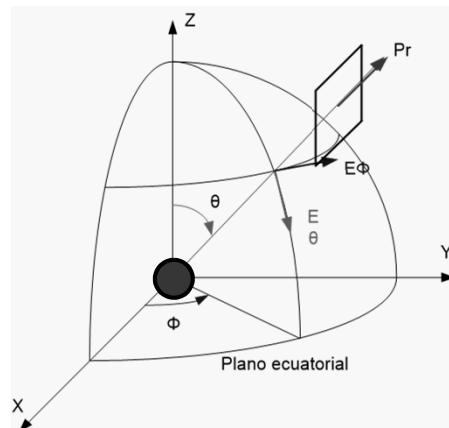
$$W_{rxdb} = W_{txdb} + G_{txdb} + G_{rxdb} - 20 \cdot \log(f) - 20 \cdot \log(R) - 32.44$$

44



Fuentes puntuales

Consideremos el campo lejano generado por una fuente puntual situada en el origen de coordenadas, vemos que el campo generado a una distancia R se puede considerar enteramente transversal y el flujo de potencia radial.



45

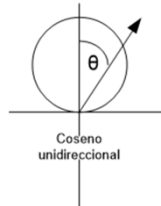


Fuentes puntuales

Una descripción completa del campo generado requiere el conocimiento del campo eléctrico como una función del tiempo y el espacio

$$E = f(\theta, \varphi, t)$$

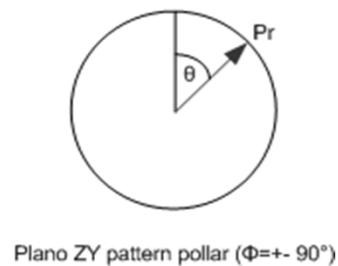
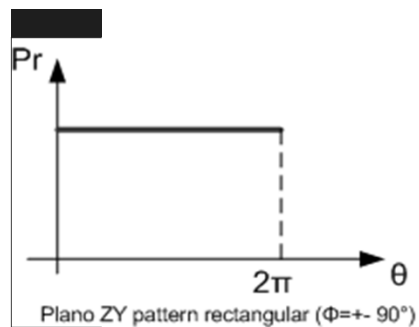
Sin embargo será suficiente conocer la variación de la densidad de potencia con el ángulo desde la antena, simplificando la naturaleza vectorial del campo para expresar la radiación en función del ángulo de manera escalar.



46



Fuentes puntuales



47



Fuentes puntuales

Teorema de fuentes puntuales

Si se conoce el vector de Poynting en todos los puntos de una superficie esférica de radio r , generado por una fuente puntual, entonces la potencia radiada será:

$$W = \oiint P ds \quad W = \oiint P r^2 \sin\theta d\theta d\varphi \quad W = P r^2 4\pi$$

Vemos la relación cuadrática entre densidad de potencia y distancia

48

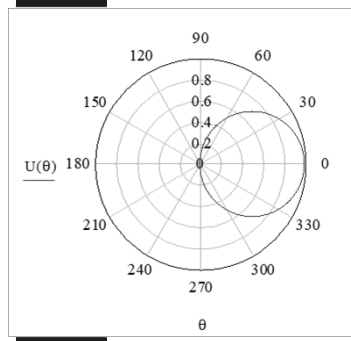


Fuentes puntuales

¿dimensiones?

Calcular la directividad de una fuente con un patrón de radiación

$$U = U_m \cos(\theta) \quad \text{con } 0 < \theta < \pi/2 \quad \frac{W}{sr}$$



$$D = \frac{4\pi}{\int_0^{2\pi} \int_0^{\pi/2} \cos(\theta) \sin(\theta) d\theta d\varphi}$$

$$D = 4$$

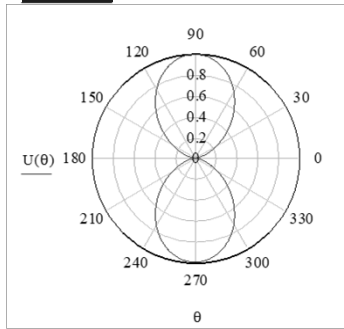
49



Fuentes puntuales

Calcular la directividad de una fuente con un patrón de radiación:

$$U = U_m \sin^2(\theta) \text{ con } 0 < \theta < \pi \quad \frac{W}{sr}$$



$$D = \frac{4\pi}{\int_0^{2\pi} \int_0^{\pi} \sin^3(\theta) d\theta d\phi}$$

$$D = 1.5$$

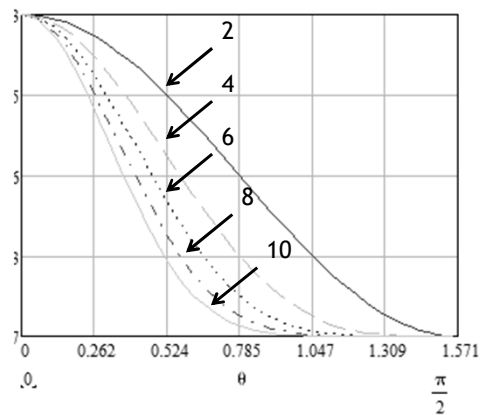
50



Fuentes puntuales

Características de una patrón coseno elevado

$$U = U_m \cos^n(\theta) \text{ con } 0 < \theta < \pi/2 \quad \frac{W}{sr}$$

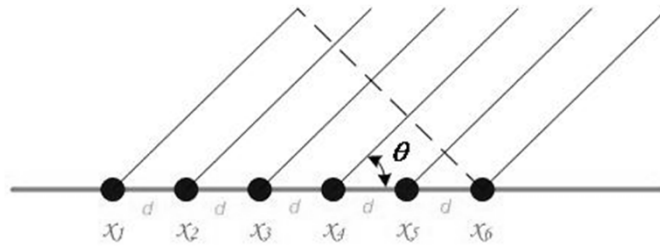


51



Arreglos de fuentes puntuales

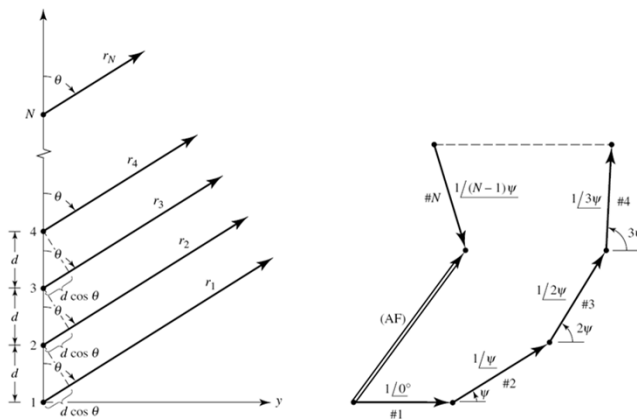
Conjunto de antenas que emite o recibe señales coherentes.



52



Arreglos de fuentes puntuales

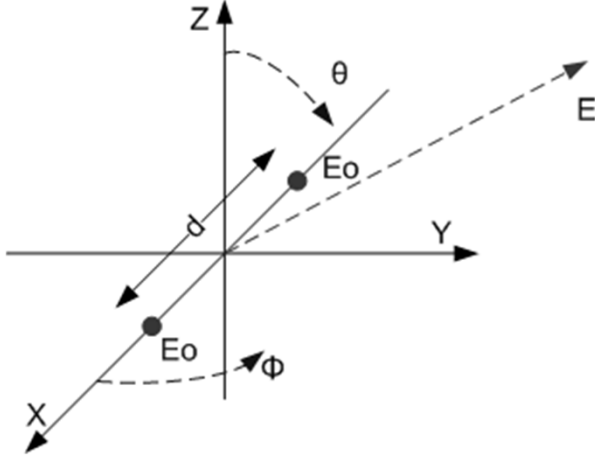


53



Arreglos de fuentes puntuales

Consideremos el arreglo de dos RI excitados con la misma amplitud y fase

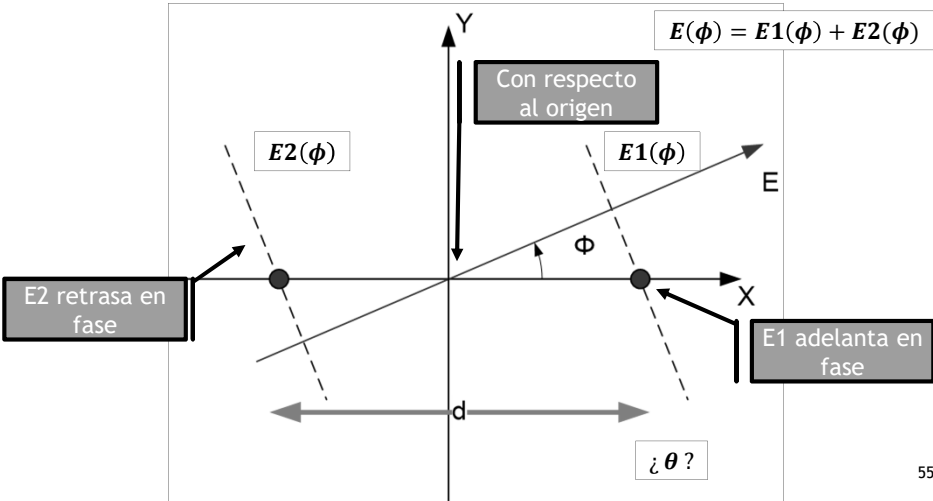


54



Arreglos de fuentes puntuales

Análisis según los distintos planos: Plano XY
¿Cuánto vale el campo E en un punto lejano de las fuentes?

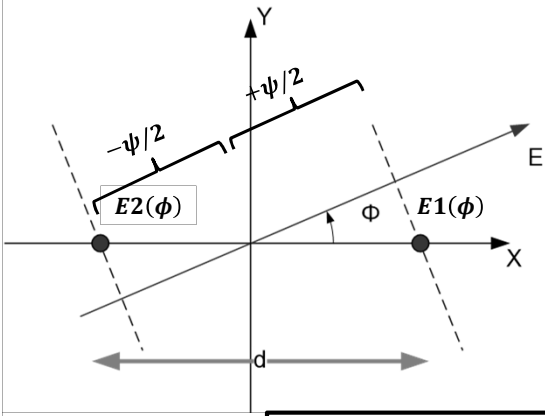


55



Arreglos de fuentes puntuales

¿Cuánto vale el retraso / adelanto de fase de cada fuente?



$$E_{xy}(\phi) = E1(\phi) + E2(\phi)$$

$$E_{xy}(\phi) = E_0 e^{j\frac{\psi}{2}} + E_0 e^{-j\frac{\psi}{2}}$$

$$d_r = \frac{2\pi}{\lambda} d \text{ rad}$$

$$\psi = d_r \cos(\phi) \text{ rad}$$

$$E_{xy}(\phi) = E_0 (e^{j\frac{\psi}{2}} + e^{-j\frac{\psi}{2}})$$

$E_{xy}(\phi) = 2E_0 \cos\left(\frac{\psi}{2}\right)$

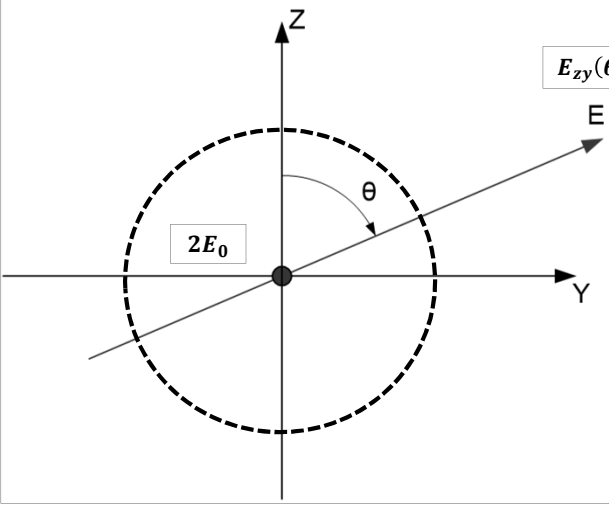
$E_{xy}(\phi) = 2E_0 \cos\left(\frac{\pi}{\lambda} d \cos(\phi)\right)$

56



Arreglos de fuentes puntuales

Análisis según los distintos planos: Plano ZY ¿ ?

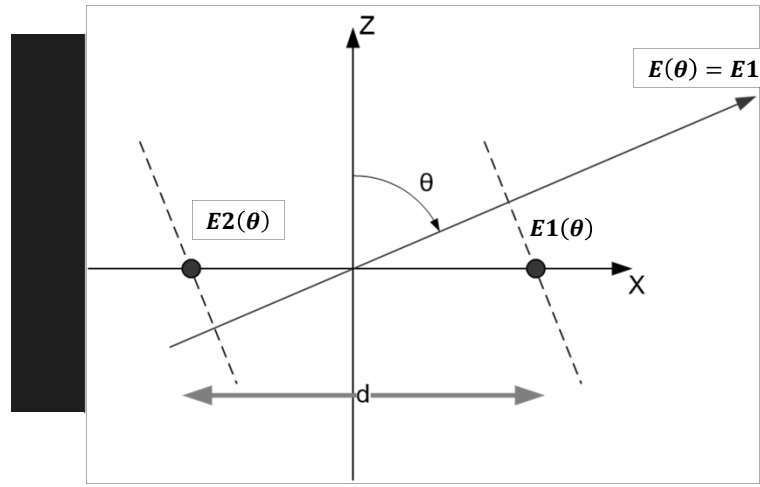


$$E_{zy}(\theta) = 2E_0$$

57


Arreglos de fuentes puntuales

Análisis según los distintos planos: Plano ZX ¿?

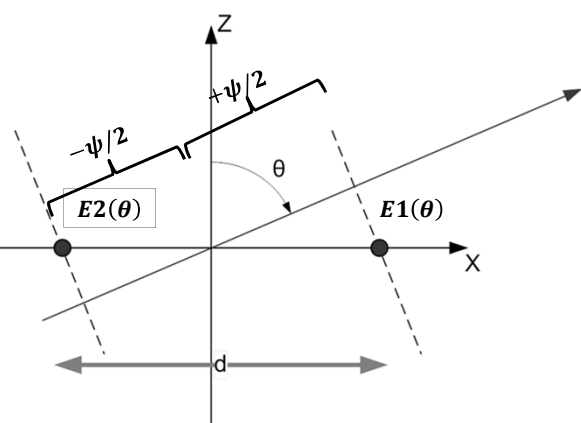


$E(\theta) = E1(\theta) + E2(\theta)$

58


Arreglos de fuentes puntuales

¿Cuánto vale el retraso / adelanto de fase de cada fuente?



$E_{zx}(\theta) = E1(\theta) + E2(\theta)$

$E_{zx}(\theta) = E_0 e^{j\frac{\psi}{2}} + E_0 e^{-j\frac{\psi}{2}}$

$d_r = \frac{2\pi}{\lambda} d \text{ rad}$

$\psi = d_r \cos(90 - \theta) \text{ rad}$

$E_{zx}(\theta) = E_0 (e^{j\frac{\psi}{2}} + e^{-j\frac{\psi}{2}})$

$E_{zx}(\theta) = 2E_0 \cos\left(\frac{\psi}{2}\right)$
 $E_{zx}(\theta) = 2E_0 \cos\left(\frac{\pi}{\lambda} d \sin(\theta)\right)$

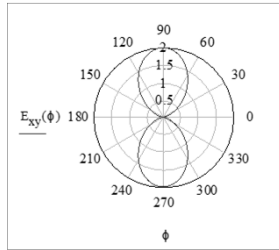
59



Arreglos de fuentes puntuales

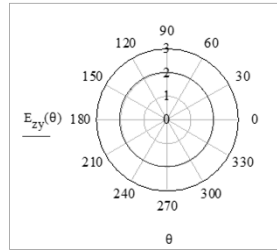
Para el caso $d = \frac{\lambda}{2}$

Plano XY



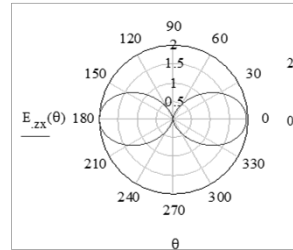
$$E_{xy}(\phi) = 2E_0 \cos\left(\frac{\pi}{\lambda} d \cos(\phi)\right)$$

Plano ZY



$$E_{zy}(\theta) = 2E_0$$

Plano ZX



$$E_{zx}(\theta) = 2E_0 \cos\left(\frac{\pi}{\lambda} d \sin(\theta)\right)$$

¿Cómo será el patrón 3D

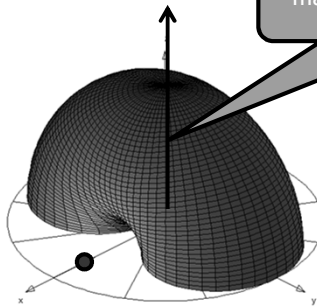
60



Arreglos de fuentes puntuales

Para el caso $d = \frac{\lambda}{2}$

¿Cuál es la relación entre el máximo y la ubicación de las fuentes?



Arreglo Broadside



61



Arreglos de fuentes puntuales

Para el caso $d = \frac{\lambda}{2}$

La directividad del arreglo será:

$$D = \frac{4\pi}{\int_0^{2\pi} \int_0^{\pi} \cos^2\left(\pi \cdot \frac{d}{\lambda} \cos(\theta)\right) \sin(\theta) d\theta d\phi} \quad D = 2$$

$$D_{dbi} = 3 \text{ db}$$

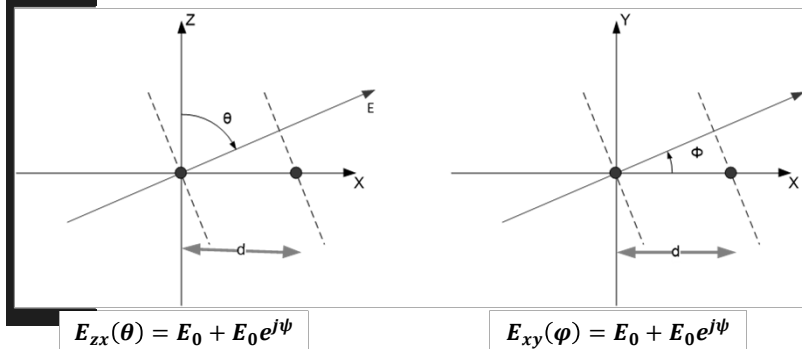
Para el cálculo de la directividad suponemos que el arreglo está sobre el eje Z, de ese modo la figura tiene simetría sobre el eje Z, y puede aplicarse la integral

62



Arreglos de fuentes puntuales

¿Qué pasa si tomamos como referencia una de las fuentes en lugar del origen de coordenadas?



Escribamos las expresiones

63



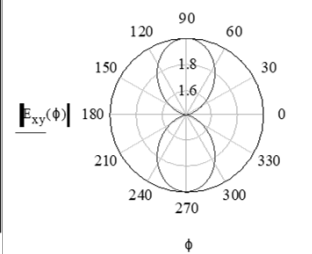
Arreglos de fuentes puntuales

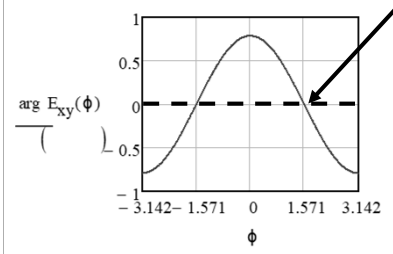
$$E_{zx}(\theta) = E_0 + E_0 e^{j\psi}$$

$$E_{xy}(\varphi) = E_0 + E_0 e^{j\psi}$$

$$E_{zx}(\theta) = E_0 + E_0 e^{j\frac{2\pi}{\lambda} d \sin(\theta)}$$

$$E_{xy}(\varphi) = E_0 + E_0 e^{j\frac{2\pi}{\lambda} d \cos(\varphi)}$$





Fase con fuentes simétricas con respecto al origen

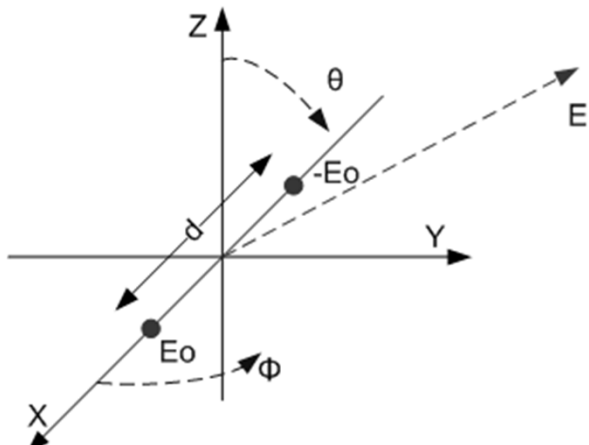
$d = \frac{\lambda}{2}$

64



Arreglos de fuentes puntuales

Consideremos el arreglo de dos RI excitados con la misma amplitud y en contrafase

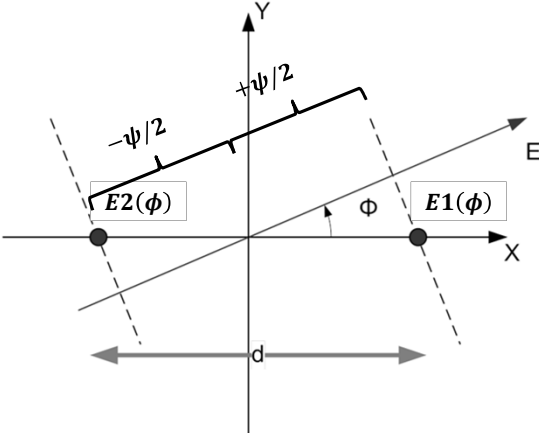


65



Arreglos de fuentes puntuales

Plano XY



$$E_{xy}(\phi) = E1(\phi) + E2(\phi)$$

$$E_{xy}(\phi) = E_0 e^{j\frac{\psi}{2}} - E_0 e^{-j\frac{\psi}{2}}$$

$$d_r = \frac{2\pi}{\lambda} d \text{ rad}$$

$$\psi = d_r \cos(\phi) \text{ rad}$$

$$E_{xy}(\phi) = E_0 (e^{j\frac{\psi}{2}} - e^{-j\frac{\psi}{2}})$$

$$E_{xy}(\phi) = 2jE_0 \text{sen}\left(\frac{\psi}{2}\right)$$

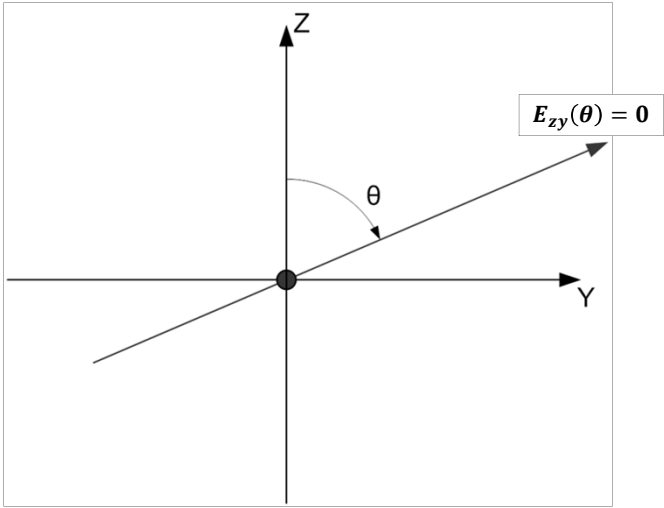
$$E_{xy}(\phi) = 2jE_0 \text{sen}\left(\frac{\pi}{\lambda} d \cos(\phi)\right)$$

66



Arreglos de fuentes puntuales

Análisis según los distintos planos: Plano ZY ¿ ?

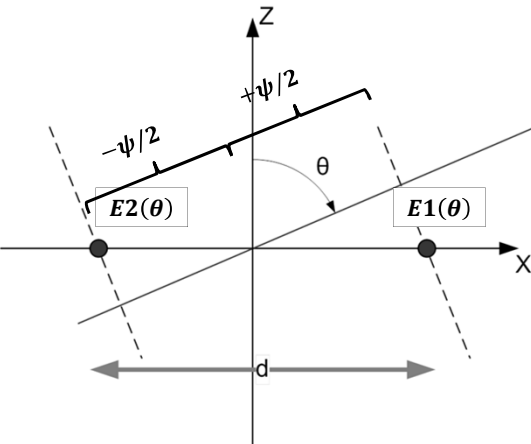


67



Arreglos de fuentes puntuales

Plano ZX



$E_{zx}(\theta) = E1(\theta) + E2(\theta)$

$E_{zx}(\theta) = E_0 e^{j\frac{\psi}{2}} - E_0 e^{-j\frac{\psi}{2}}$

$d_r = \frac{2\pi}{\lambda} d \text{ rad}$

$\psi = d_r \cos(90 - \theta) \text{ rad}$

$E_{zx}(\theta) = E_0 (e^{j\frac{\psi}{2}} - e^{-j\frac{\psi}{2}})$

$E_{zx}(\theta) = 2jE_0 \text{sen}\left(\frac{\psi}{2}\right)$

$E_{zx}(\theta) = 2jE_0 \text{sen}\left(\frac{\pi}{\lambda} d \text{sen}(\theta)\right)$

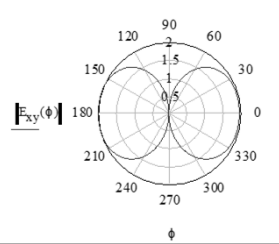
68



Arreglos de fuentes puntuales

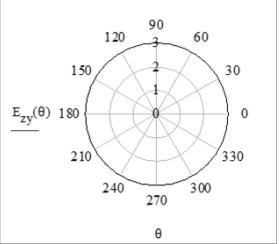
Para el caso $d = \frac{\lambda}{2}$

Plano XY



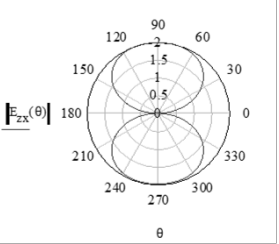
$E_{xy}(\phi) = 2E_0 \text{sen}\left(\frac{\pi}{\lambda} d \cos(\phi)\right)$

Plano ZY



$E_{zy}(\theta) = 0$

Plano ZX



$E_{zx}(\theta) = 2jE_0 \text{sen}\left(\frac{\pi}{\lambda} d \text{sen}(\theta)\right)$

¿Cómo será el patrón 3D?

69

Arreglos de fuentes puntuales

Para el caso $d = \frac{\lambda}{2}$

¿Cuál es la relación entre el máximo y la ubicación de las fuentes?

Arreglo Endfire

¿D?

70

Arreglos de fuentes puntuales

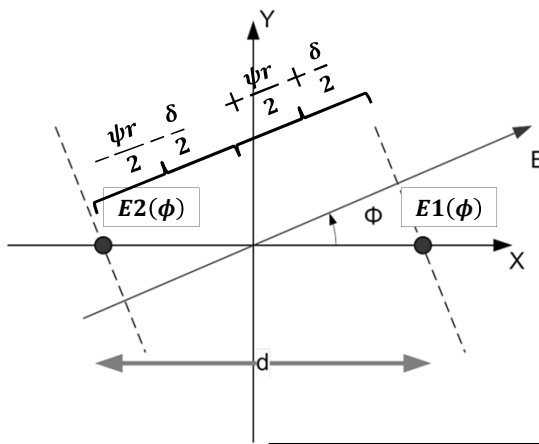
Consideremos el arreglo de dos RI excitados con la misma amplitud y fase arbitraria

71



Arreglos de fuentes puntuales

¿Cuánto vale el retraso / adelanto de fase de cada fuente?



$$E_{xy}(\phi) = E1(\phi) + E2(\phi)$$

$$E_{xy}(\phi) = E_0 e^{j\frac{\psi r + \delta}{2}} + E_0 e^{-j\frac{\psi r + \delta}{2}}$$

$$d_r = \frac{2\pi}{\lambda} d \text{ rad}$$

$$\psi = d_r \cos(\phi) + \delta \text{ rad}$$

$$E_{xy}(\phi) = E_0 \left(e^{j\frac{\psi}{2}} + e^{-j\frac{\psi}{2}} \right)$$

$$E_{xy}(\phi) = 2E_0 \cos\left(\frac{\psi}{2}\right)$$

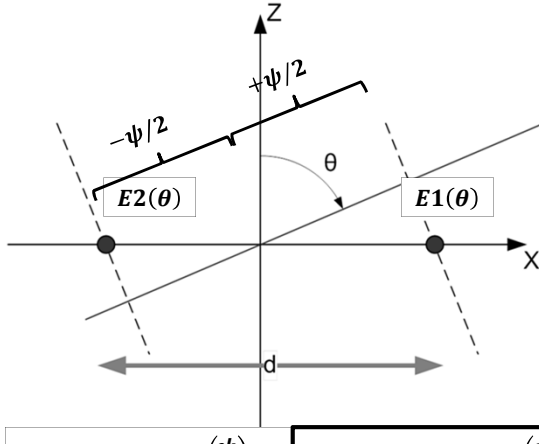
$$E_{xy}(\phi) = 2E_0 \cos\left(\frac{\pi}{\lambda} d \cos(\phi) + \frac{\delta}{2}\right)$$

72



Arreglos de fuentes puntuales

¿Cuánto vale el retraso / adelanto de fase de cada fuente?



$$E_{zx}(\theta) = E1(\theta) + E2(\theta)$$

$$E_{zx}(\theta) = E_0 e^{j\frac{\psi}{2}} + E_0 e^{-j\frac{\psi}{2}}$$

$$d_r = \frac{2\pi}{\lambda} d \text{ rad}$$

$$\psi = d_r \cos(90 - \theta) + \delta \text{ rad}$$

$$E_{zx}(\theta) = E_0 \left(e^{j\frac{\psi}{2}} + e^{-j\frac{\psi}{2}} \right)$$

$$E_{zx}(\theta) = 2E_0 \cos\left(\frac{\psi}{2}\right)$$

$$E_{zx}(\theta) = 2E_0 \cos\left(\frac{\pi}{\lambda} d \text{sen}(\theta) + \frac{\delta}{2}\right)$$

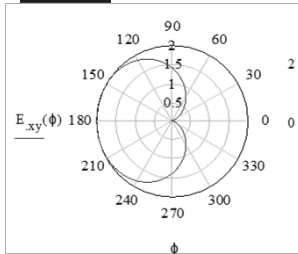
73



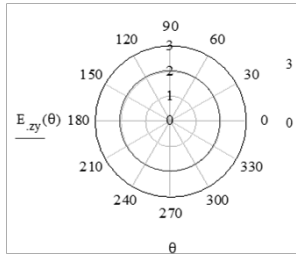
Arreglos de fuentes puntuales

Para el caso $d = \frac{\lambda}{4}$ y $\delta = \frac{\pi}{2}$

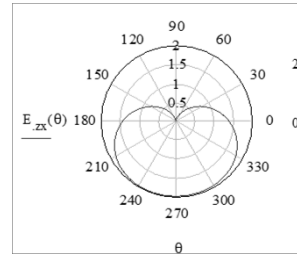
Plano XY



Plano ZY



Plano ZX



$$E_{xy}(\phi) = 2E_0 \cos\left(\frac{\pi}{\lambda} d \cos(\phi) + \frac{\delta}{2}\right)$$

$$E_{zx}(\theta) = 2E_0 \cos\left(\frac{\pi}{\lambda} d \sin(\theta) + \frac{\delta}{2}\right)$$

¿Cómo será el patrón 3D

74



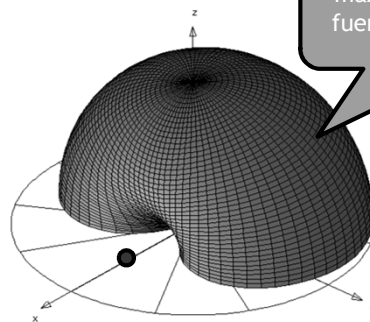
Arreglos de fuentes puntuales

Para el caso

$$d = \frac{\lambda}{4}$$

$$y$$

$$\delta = \frac{\pi}{2}$$



¿Cuál es la relación entre el máximo y la ubicación de las fuentes? ¿Qué tipo de arreglo tenemos?



75



Arreglos de fuentes

Hasta ahora estuvimos analizando arreglos de fuentes isotrópicas

¿Que podemos decir de arreglos de fuentes no isotrópicas?

Podemos generalizar el método para el caso de fuentes NO isotrópicas, pero SIMILARES

Por SIMILAR entendemos que la variación de amplitud y fase con φ es la misma

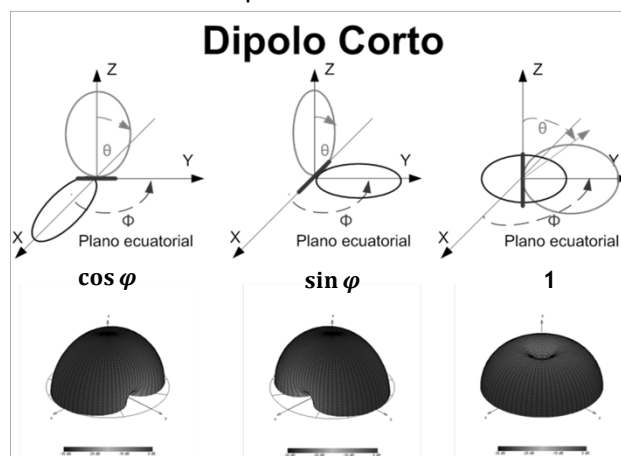
Y están orientados en la misma dirección

76



Arreglos de fuentes

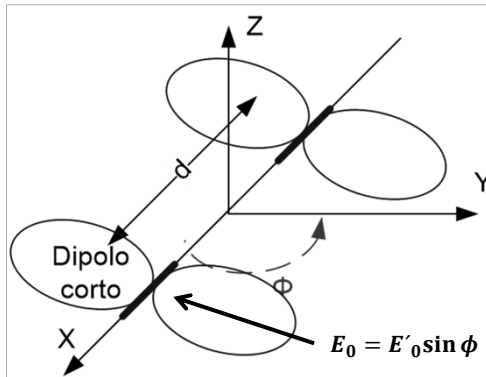
Consideremos el caso de un dipolo corto



77



Principio de Superposición



$$E = E_0 \cos\left(\frac{\psi}{2}\right) \text{ fuentes puntuales}$$

$$E_0 = E'_0 \sin \phi \text{ dipolo corto}$$

$$E_n = \sin(\phi) \cos\left(\frac{\psi}{2}\right) \text{ normalizando}$$

El resultado es equivalente a multiplicar el patrón del array isotrópico por el patrón de las fuentes individuales

78



Principio de Superposición

El patrón de campo de un arreglo de fuentes no isotrópicas, pero similares, es igual al producto del patrón de las fuentes individuales y el patrón del arreglo de fuentes isotrópicas que tienen la misma localización, amplitudes relativas y fase que las fuentes no isotrópicas.

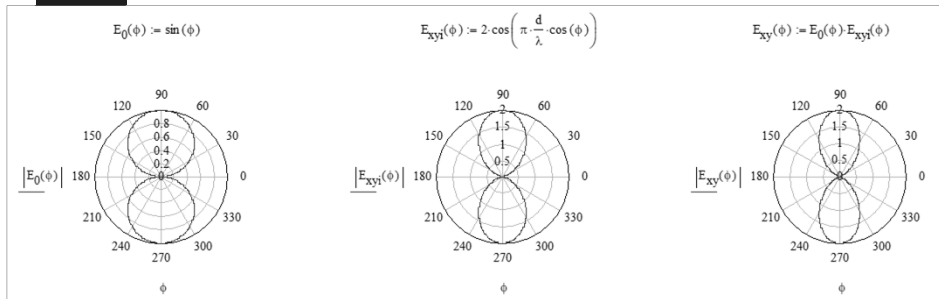
79



Principio de Superposición

Caso de dos dipolos cortos orientados en el eje X, Plano XY

$$d = \frac{\lambda}{2}$$

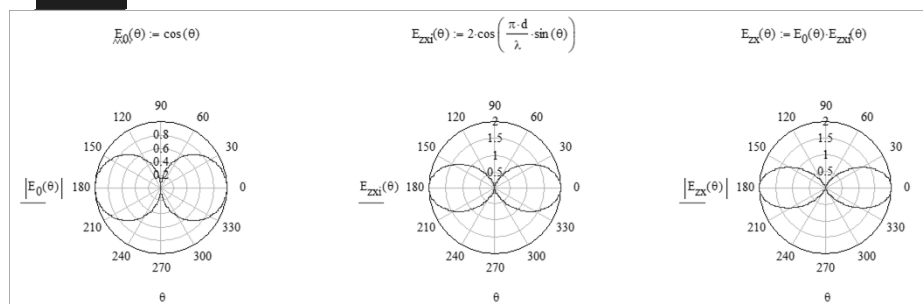


80

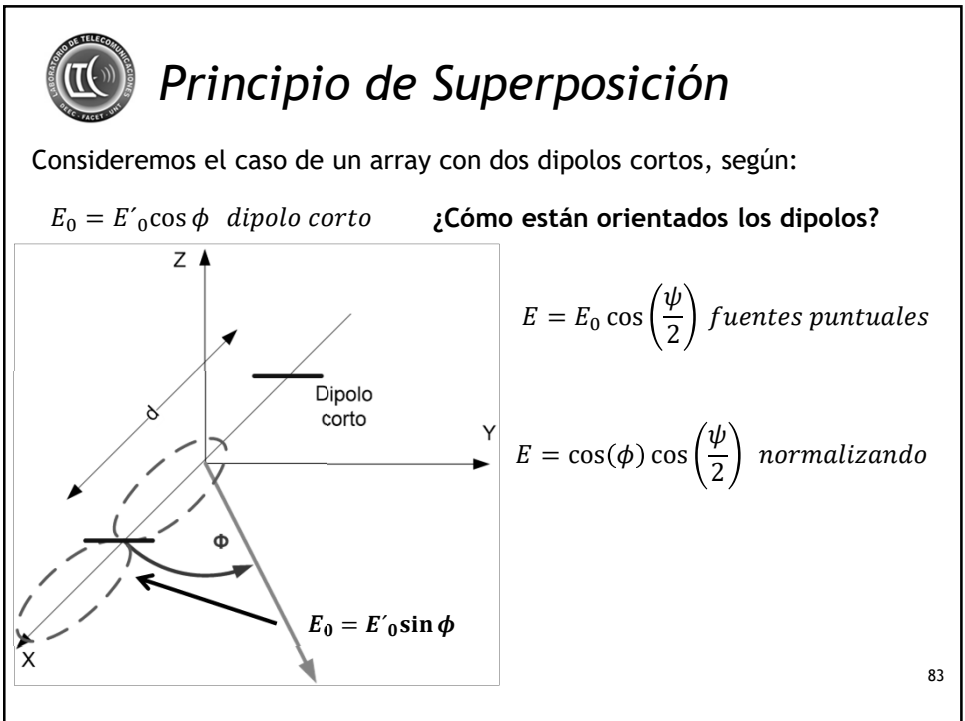
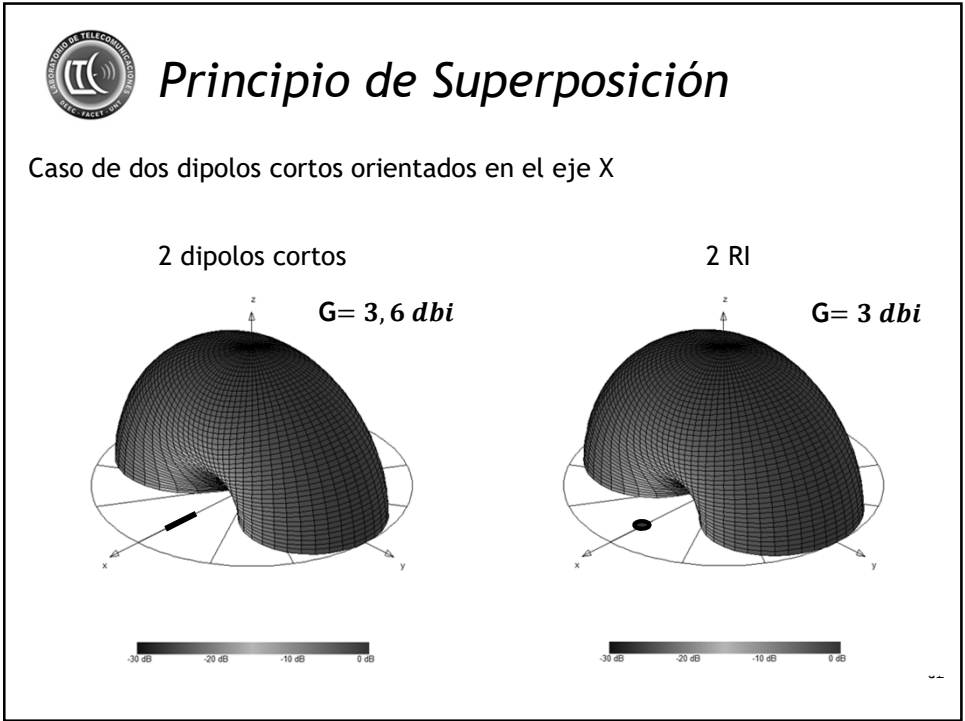


Principio de Superposición

Caso de dos dipolos cortos orientados en el eje X, Plano ZX



81





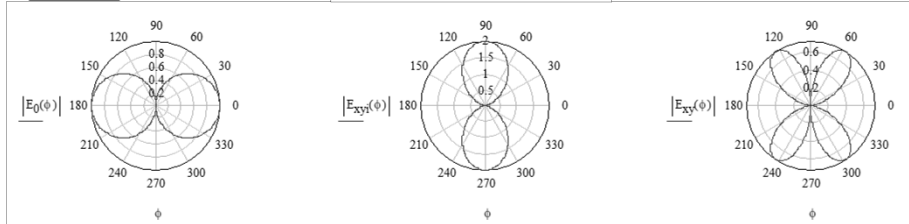
Principio de Superposición

Array con dos dipolos cortos sobre el eje X, orientados según Y, Plano XY

$$E_0(\phi) = \cos(\phi)$$

$$E_{xyi}(\phi) = 2\cos\left(\frac{\pi d}{\lambda} \cos(\phi)\right)$$

$$E_{xy}(\phi) = E_0(\phi)E_{xyi}(\phi)$$



84



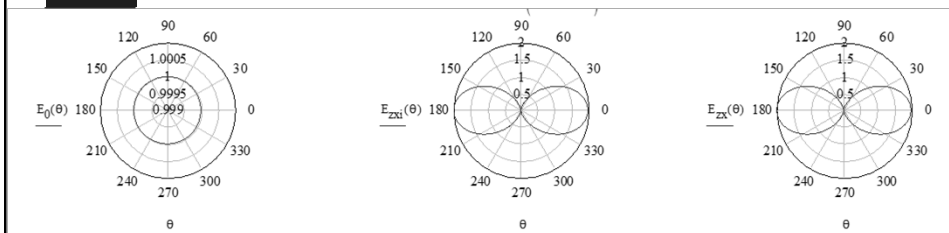
Principio de Superposición

Array con dos dipolos cortos sobre el eje X, orientados según Y, Plano ZX

$$E_0(\theta) = 1$$

$$E_{zxi}(\theta) = 2\cos\left(\frac{\pi d}{\lambda} \sin(\theta)\right)$$

$$E_{zx}(\theta) = E_0(\theta)E_{zxi}(\theta)$$



85



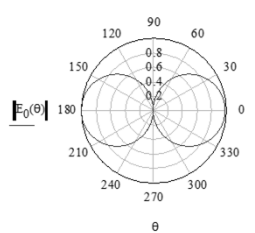
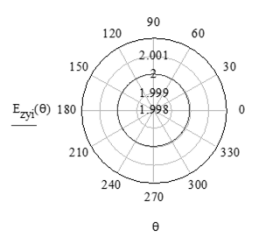
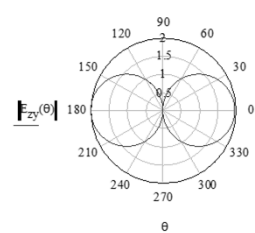
Principio de Superposición

Array con dos dipolos cortos sobre el eje X, orientados según Y, Plano ZY

$E_{0}(\theta) = \cos(\theta)$

$E_{zyi}(\theta) = 2$

$E_{zy}(\theta) = E_{0}(\theta)E_{zyi}(\theta)$

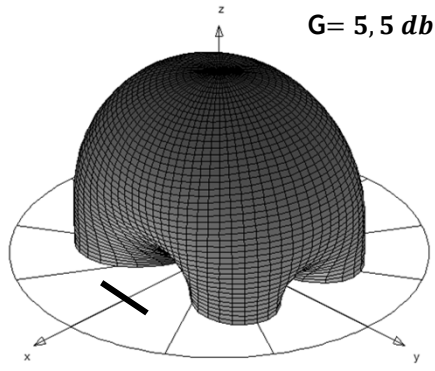
86



Principio de Superposición

Array con dos dipolos cortos sobre el eje X, orientados según Y $d = \frac{\lambda}{2}$

G = 5,5 dbi



¿tipo de arreglo?

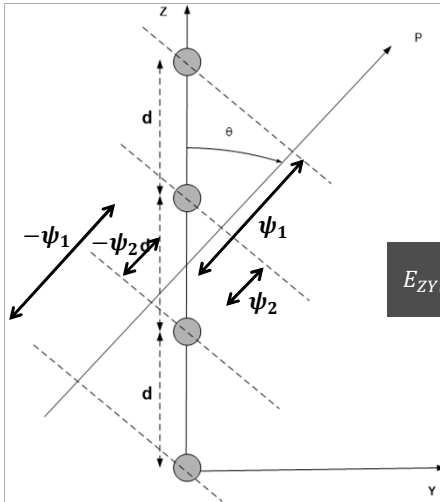


87



Arreglos de antenas

Array con cuatro elementos en el eje Z



$$E_{ZYi} = E_0 e^{j\psi_1} + E_0 e^{j\psi_2} + E_0 e^{-j\psi_1} + E_0 e^{-j\psi_2}$$

$$\psi_{1(\theta)} = \frac{2\pi}{\lambda} 3 \frac{d}{2} \cos(\theta) = \frac{3\pi d}{\lambda} \cos(\theta)$$

$$\psi_{2(\theta)} = \frac{2\pi}{\lambda} \frac{d}{2} \cos(\theta) = \frac{\pi d}{\lambda} \cos(\theta)$$

$$E_{ZYi} = 2E_0 \left(\cos\left(\frac{3\pi d}{\lambda} \cos(\theta)\right) + \cos\left(\frac{\pi d}{\lambda} \cos(\theta)\right) \right)$$

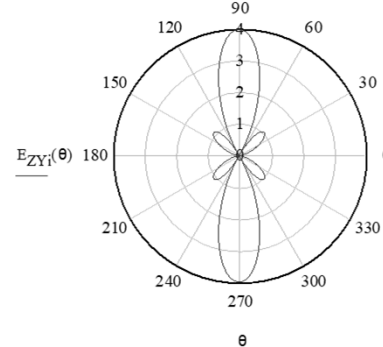
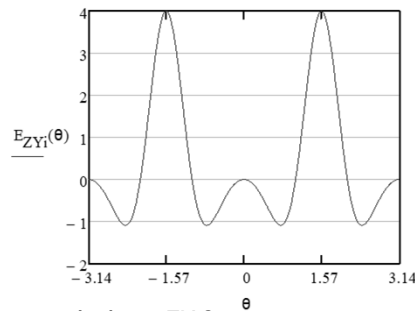
88



Arreglos de antenas

Array con cuatro elementos en el eje Z, Plano ZY

$$E_{ZYi} = 2E_0 \left(\cos\left(\frac{3\pi}{2} \cos(\theta)\right) + \cos\left(\frac{\pi}{2} \cos(\theta)\right) \right) \text{ para } d = \frac{\lambda}{2}$$



¿ y el plano ZX ?

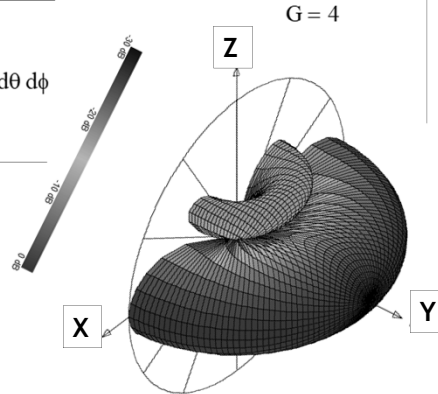
89



Arreglos de antenas

Array con cuatro elementos en el eje Z, $d = \frac{\lambda}{2}$

$$G := \frac{4\pi}{\int_0^{2\pi} \int_0^{\pi} \left(\frac{E_{ZY}(\theta)}{4E_0} \right)^2 \cdot \sin(\theta) \, d\theta \, d\phi}$$

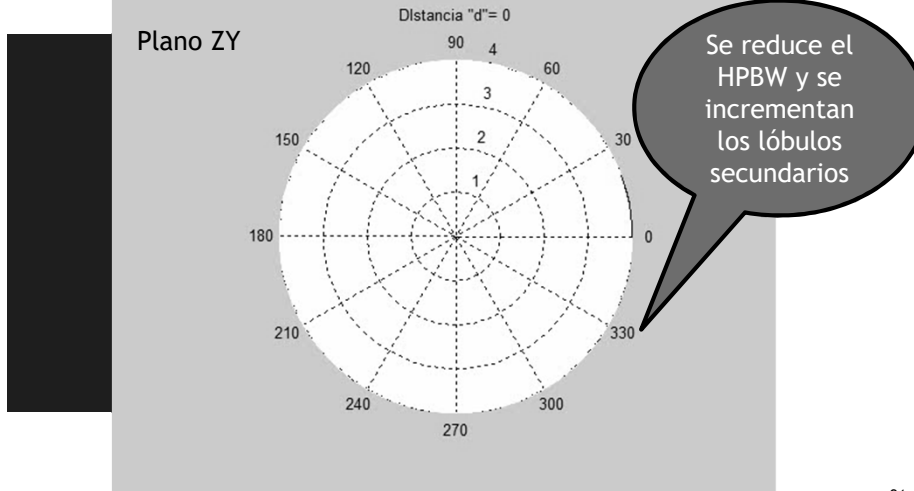


90



Arreglos de antenas

Array con cuatro elementos en el eje Z, variación de la distancia «d»

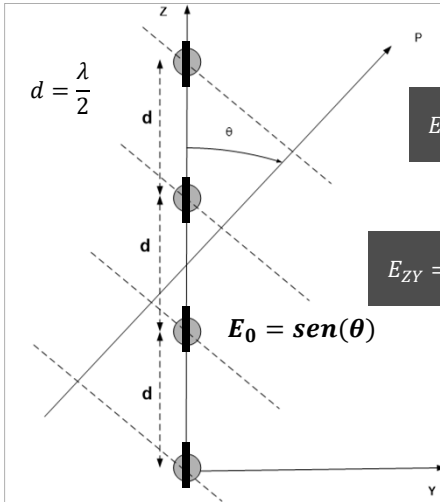


91



Arreglos de antenas

Array con cuatro dipolos cortos en el eje Z, orientados según el eje Z



¿Dipolos cortos en Z?

$$E_{ZY} = 2E_0 \left(\cos\left(\frac{3\pi}{2} \cos(\theta)\right) + \cos\left(\frac{\pi}{2} \cos(\theta)\right) \right)$$

$$E_{ZY} = 2\text{sen}(\theta) \left(\cos\left(\frac{3\pi}{2} \cos(\theta)\right) + \cos\left(\frac{\pi}{2} \cos(\theta)\right) \right)$$

$$E_0 = \text{sen}(\theta)$$

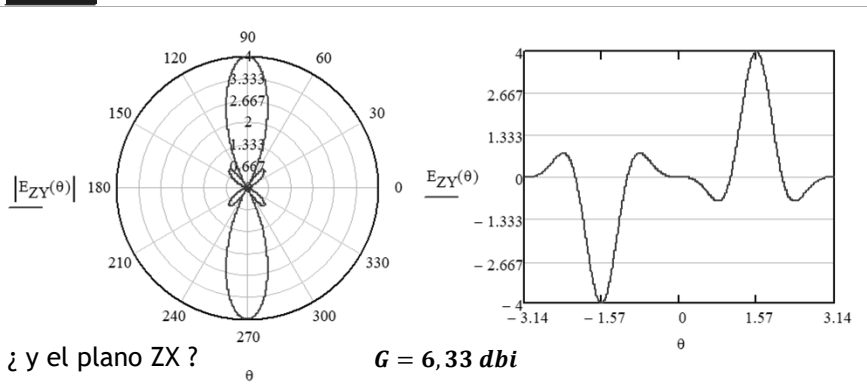
92



Arreglos de antenas

Array con cuatro elementos en el eje Z

$$E_{ZY} = 2\text{sen}(\theta) \left(\cos\left(\frac{3\pi}{2} \cos(\theta)\right) + \cos\left(\frac{\pi}{2} \cos(\theta)\right) \right) \text{ para } d = \frac{\lambda}{2}$$

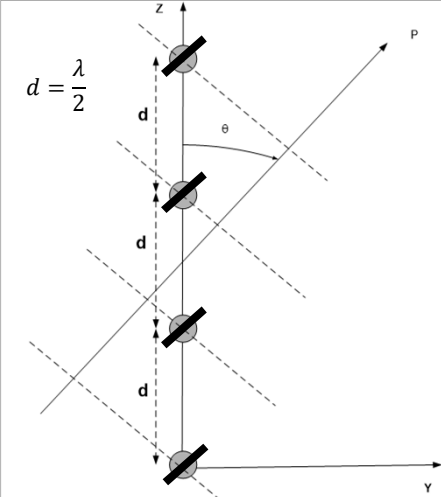


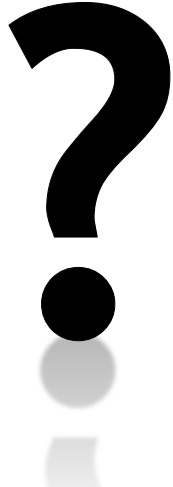
93



Arreglos de antenas

Array con cuatro dipolos cortos en el eje Z, orientados según el eje X





94



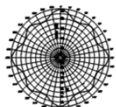
Arreglos de antenas

JAMPRO Antennas, Inc. <http://www.jampro.com/>



Typical Azimuth Patterns

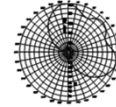
Omni



AZIMUTH PATTERN INFORMATION	
Frequency:	632 MHz (UHF Mid-Band)
Model:	JUCD
Pattern:	Omni-directional
Notes:	Broadband UHF Panel Antenna

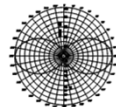
All inputs EIA flange, female. In an omni-directional configuration, circularity is +/-2 dB (3 ft. or smaller). Input connection is EIA 50 ohm.

Narrow Cardioid



AZIMUTH PATTERN INFORMATION	
Frequency:	632 MHz (UHF Mid-Band)
Model:	JUCD
Pattern:	Narrow Cardioid
Notes:	Broadband UHF Panel Antenna

Peanut



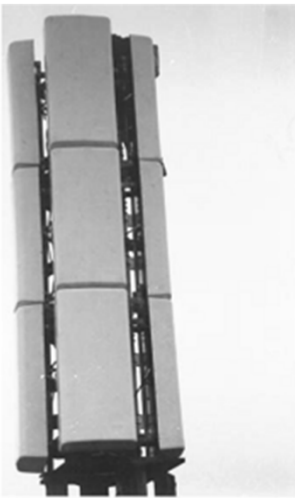
AZIMUTH PATTERN INFORMATION	
Frequency:	632 MHz (UHF Mid-Band)
Model:	JUCD
Pattern:	Peanut
Notes:	Broadband UHF Panel Antenna

95

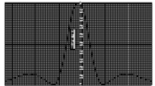
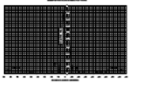
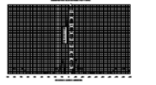
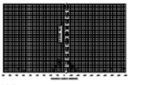
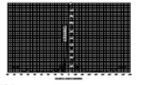
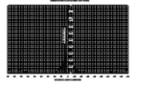
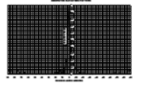


Arreglos de antenas

JAMPRO Antennas, Inc. <http://www.jampro.com/>



ELEVATION PATTERNS

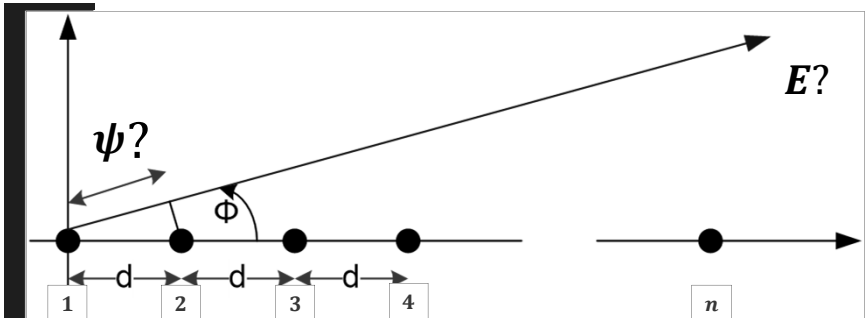
	
2 bay	4 bay
	
6 bay	8 bay
	
10 bay	12 bay
	
14 bay	16 bay

96



Arreglos de "n" fuentes puntuales

Consideremos un arreglo de " n " fuentes puntuales, de igual amplitud, espaciadas «d»



$$E = 1 + e^{j\psi} + e^{j2\psi} + e^{j3\psi} + \dots + e^{j(n-1)\psi} \quad \psi = \frac{2\pi}{\lambda} d \cos \phi + \delta$$

δ es la diferencia de fase con respecto a la fuente adyacente:
 2 relativa a 1, 3 relativa a 2, etc

97



Arreglos de "n" fuentes puntuales

Tenemos una serie geométrica, donde cada termino es un fasor

$$E = 1 + e^{j\psi} + e^{j2\psi} + e^{j3\psi} + \dots + e^{j(n-1)\psi} \quad (1)$$

Multiplicando ambos términos por $e^{j\psi}$

$$Ee^{j\psi} = e^{j\psi} + e^{j2\psi} + e^{j3\psi} + e^{j4\psi} + \dots + e^{jn\psi} \quad (2)$$

Restando (1) de (2) y dividiendo por $1 - e^{j\psi}$

$$E = \frac{1 - e^{jn\psi}}{1 - e^{j\psi}} = \frac{e^{j\frac{n\psi}{2}} \left(e^{j\frac{n\psi}{2}} - e^{-j\frac{n\psi}{2}} \right)}{e^{j\frac{\psi}{2}} \left(e^{j\frac{\psi}{2}} - e^{-j\frac{\psi}{2}} \right)} = e^{j\frac{(n-1)\psi}{2}} \frac{\sin \frac{n\psi}{2}}{\sin \frac{\psi}{2}}$$

98



Arreglos de "n" fuentes puntuales

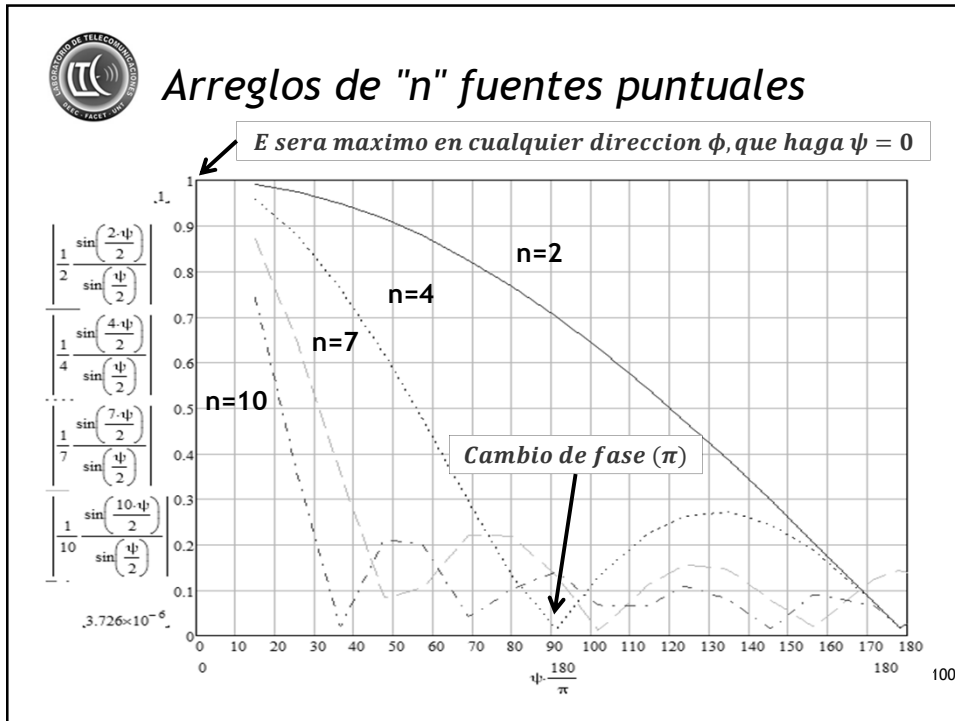
Tenemos una componente de amplitud y otra de fase

$$E = e^{j\frac{(n-1)\psi}{2}} \frac{\sin \frac{n\psi}{2}}{\sin \frac{\psi}{2}} \quad \boxed{E = e^{j\xi} \frac{\sin \frac{n\psi}{2}}{\sin \frac{\psi}{2}}} \quad \xi = \frac{(n-1)\psi}{2}$$

Si la fase se refiere al centro del arreglo $\xi = 0$, ¿Cuál será el máximo de E?

$$\lim_{\psi \rightarrow 0} \frac{\sin \frac{n\psi}{2}}{\sin \frac{\psi}{2}} \quad E_{max} = n$$

99



Arreglos de "n" fuentes puntuales

Consideremos el caso de «n» fuentes en fase, $\delta = 0$

$$\psi = \frac{2\pi}{\lambda} d \cos \phi \quad \psi = 0 \quad \text{si} \dots \quad \phi = \frac{(2k + 1)\pi}{2} \quad k = 0, 1, 2 \dots$$

Entonces el campo E sera maximo para $\phi = \frac{\pi}{2}$ y $\phi = \frac{3\pi}{2}$

Por lo que tenemos un arreglo de tipo **BROADSIDE**

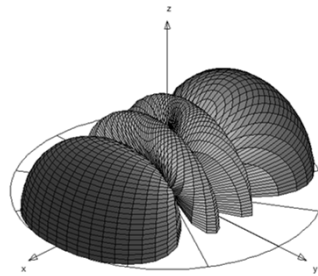


Arreglos de "n" fuentes puntuales

Si buscamos que el máximo de E este en la dirección del arreglo $\Phi=0$

$$\psi = \frac{2\pi}{\lambda} d \cos \phi + \delta \quad \psi = 0 \text{ y } \phi = 0 \quad \delta = -\frac{2\pi}{\lambda} d$$

Por lo que tenemos un arreglo
ENDFIRE



102

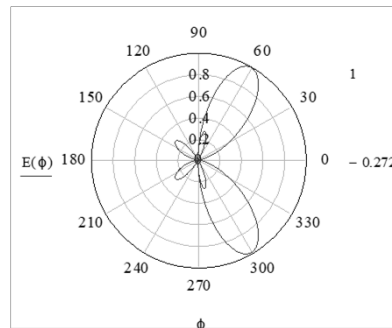
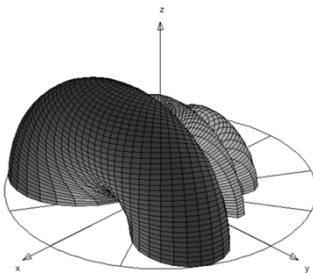


Arreglos de "n" fuentes puntuales

Arreglo con el máximo de E en una dirección arbitraria, por ej. $\phi = 60^\circ$.
El arreglo es de 4 fuentes espaciadas $\lambda/2$

$$\psi = \frac{2\pi}{\lambda} d \cos \phi + \delta \quad \psi = 0 \text{ y } \phi = 60 \quad \delta = -\pi \cos(60)$$

$$\delta = -\frac{\pi}{2} \quad E = \frac{1}{4} \frac{\sin \frac{4\psi}{2}}{\sin \frac{\psi}{2}}$$



103



Arreglos de "n" fuentes puntuales

Estuvimos analizando arreglos lineales de amplitud uniforme

Ampliaremos la discusión a arreglos de amplitud no uniforme

Tópicos a considerar:

Distribución Dolph - Tschebycheff

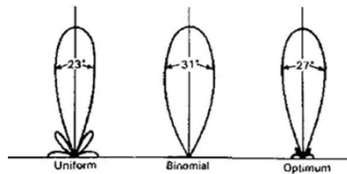
Comparación con otras distribuciones

104



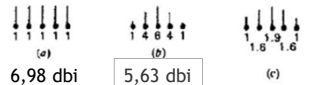
Arreglos de "n" fuentes puntuales

Arreglos lineales de amplitud no uniforme



Todos son arreglos de 5 fuentes, en fase, $d = \lambda/2$

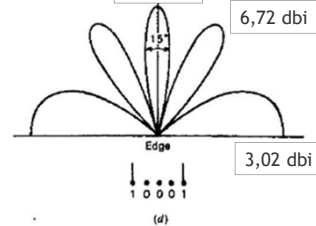
Ganancia...



Ancho de banda de media potencia...



Lóbulos secundarios...



Conclusiones...

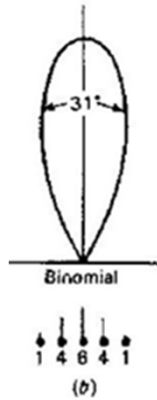
105



Arreglos de "n" fuentes puntuales

Arreglos lineales de amplitud no uniforme: distribución binomial

Para reducir los lóbulos secundarios John Stone propuso que las amplitudes de las fuentes fueran proporcionales a los coeficientes de una serie binomial



$$(a + b)^{n-1} = a^{n-1} + (n-1)a^{n-2}b + \frac{(n-1)(n-2)a^{n-3}b^2}{2!} + \dots$$

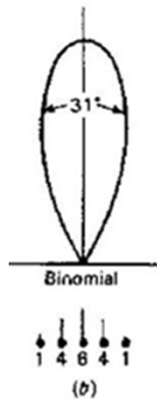
n	Amplitudes relativas						
3			1	2	1		
4		1	3		3	1	
5		1	4	6	4	1	
6	1	5	10		10	5	1

106

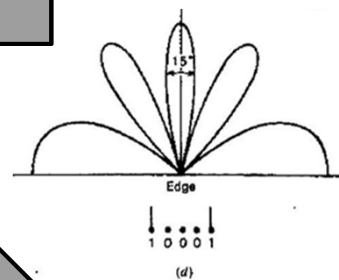


Arreglos de "n" fuentes puntuales

Arreglos lineales de amplitud no uniforme



Sin lóbulos secundarios
Mayor HPBW



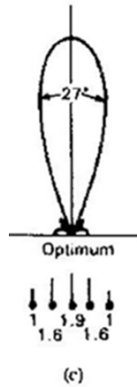
Menor HPBW
Mayor lóbulos secundarios

107



Arreglos de "n" fuentes puntuales

Arreglos lineales de amplitud no uniforme: Dolph - Tchebyscheff



El patrón de campo lejano de un arreglo lineal de «n» fuentes isotrópicas, puede ser expresado como una serie de Fourier de «n» términos.

Dolph propone adaptar los términos de la serie polinomial de Fourier con los términos de un polinomio de Tchebyscheff.

Esto permite obtener una distribución OPTIMA, a partir de la especificación del nivel de los lóbulos laterales SLL

Si especificamos el nivel de SLL, optimizamos el HPBW
Si especificamos el nivel de HPBW, optimizamos el SLL

Analizaremos dos casos...

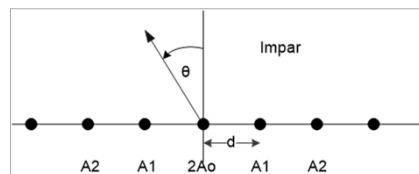
108



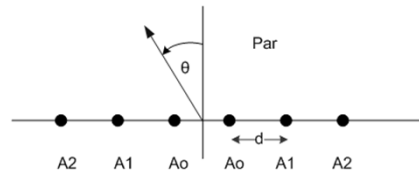
Arreglos de "n" fuentes puntuales

Arreglos lineales de amplitud no uniforme: Dolph - Tchebyscheff

Arreglo lineal de un numero impar de fuentes isotrópicas.



Arreglo lineal de un numero par de fuentes isotrópicas.

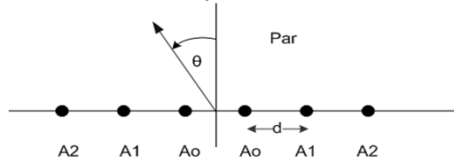


109



Arreglos de "n" fuentes puntuales

Arreglo lineal D-T de un numero par de fuentes isotrópicas



$$E_p = 2A_0 \cos\left(\frac{\psi}{2}\right) + 2A_1 \cos\left(3\frac{\psi}{2}\right) + \dots + 2A_k \cos\left[\left(\frac{n_p - 1}{2}\right)\frac{\psi}{2}\right]$$

$$\psi = \frac{2\pi}{\lambda} d \cdot \sin(\theta) \text{ haciendo } 2(k + 1) = n_p \quad k = 0, 1, 2, 3, \dots \quad \frac{n_p - 1}{2} = \frac{2k + 1}{2}$$

$$E_p = 2 \sum_{k=0}^{N-1} A_k \cos\left[(2k + 1)\frac{\psi}{2}\right] \quad N = \frac{n_p}{2}$$

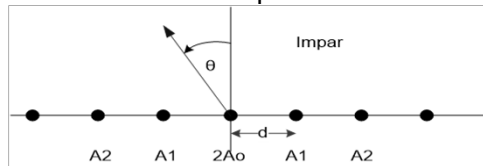
Cada termino representa el campo debido a un par de fuentes dispuestas simétricamente

110



Arreglos de "n" fuentes puntuales

Arreglo lineal D-T de un numero impar de fuentes isotrópicas



$$E_i = 2A_0 + 2A_1 \cos(\psi) + \dots + 2A_k \cos\left[\left(\frac{n_i - 1}{2}\right)\psi\right]$$

$$\psi = \frac{2\pi}{\lambda} d \cdot \sin(\theta) \text{ haciendo } 2k + 1 = n_i \quad k = 0, 1, 2, 3, \dots$$

$$E_i = 2 \sum_{k=0}^N A_k \cos\left[2k\frac{\psi}{2}\right] \quad N = \frac{n_i - 1}{2}$$

Serie de Fourier finita de N términos

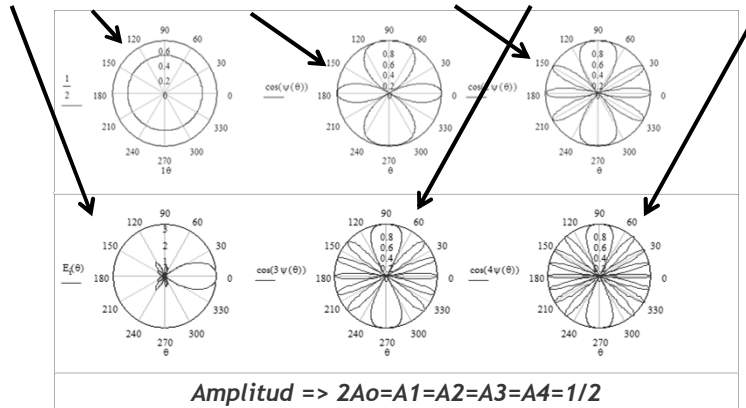
111



Arreglos de "n" fuentes puntuales

Arreglo lineal D-T : Naturaleza de las expresiones de la serie
Consideremos un arreglo de 9 fuentes espaciadas $\lambda/2$.

$$E_1(\theta) := \frac{1}{2} + \cos(\psi(\theta)) + \cos(2\cdot\psi(\theta)) + \cos(3\psi(\theta)) + \cos(4\psi(\theta))$$



112



Arreglos de "n" fuentes puntuales

Arreglo lineal Dolph-Tchebyscheff

Con el método Dolph-Tchebyscheff podemos demostrar que para una distribución de amplitud puede determinarse los coeficientes de la serie de forma tal de lograr un mínimo ancho del haz para un determinado nivel de lóbulos secundarios.

El primer paso consiste en demostrar que las ecuaciones de series planteadas pueden ser consideradas como polinomios de grado n-1 (numero de fuentes menos 1).

113



Arreglos de "n" fuentes puntuales

Arreglo linear Dolph-Tchebyscheff - caso broadside

Teorema de Moivre

$$\psi = d_r \sin \theta \quad e^{-jm\frac{\psi}{2}} = \cos m\frac{\psi}{2} + j \operatorname{sen} m\frac{\psi}{2} = \left(\cos \frac{\psi}{2} + j \operatorname{sen} \frac{\psi}{2} \right)^m$$

consideremos la parte real $\cos m\frac{\psi}{2} = \Re \left(\cos \frac{\psi}{2} + j \operatorname{sen} \frac{\psi}{2} \right)^m$

expandiendo $\cos m\frac{\psi}{2} = \cos^m \frac{\psi}{2} - \frac{m(m-1)}{2!} \cos^{m-2} \frac{\psi}{2} \operatorname{sen}^2 \frac{\psi}{2} +$
 $+ \frac{m(m-1)(m-2)(m-3)}{4!} \cos^{m-4} \frac{\psi}{2} \operatorname{sen}^4 \frac{\psi}{2} - \dots$

114



Arreglos de "n" fuentes puntuales

Arreglo linear Dolph-Tchebyscheff - caso broadside

$$\cos m\frac{\psi}{2} = \cos^m \frac{\psi}{2} - \frac{m(m-1)}{2!} \cos^{m-2} \frac{\psi}{2} \operatorname{sen}^2 \frac{\psi}{2} +$$

$$+ \frac{m(m-1)(m-2)(m-3)}{4!} \cos^{m-4} \frac{\psi}{2} \operatorname{sen}^4 \frac{\psi}{2} - \dots$$

$$\operatorname{sen}^2 \frac{\psi}{2} = 1 - \cos^2 \frac{\psi}{2}$$

$$m = 0 \quad \cos m\frac{\psi}{2} = 1$$

$$m = 3 \quad \cos m\frac{\psi}{2} = 4 \cos^3 \frac{\psi}{2} - 3 \cos \frac{\psi}{2}$$

$$m = 1 \quad \cos m\frac{\psi}{2} = \cos \frac{\psi}{2}$$

$$m = 4 \quad \cos m\frac{\psi}{2} = 8 \cos^4 \frac{\psi}{2} - 8 \cos^2 \frac{\psi}{2} + 1$$

$$m = 2 \quad \cos m\frac{\psi}{2} = 2 \cos^2 \frac{\psi}{2} - 1$$

115



Arreglos de "n" fuentes puntuales

Arreglo linear Dolph-Tchebyscheff - caso broadside

$x = \cos \frac{\psi}{2}$ haciendo un cambio de variable

$$m = 0 \quad \cos m \frac{\psi}{2} = 1$$

$$m = 1 \quad \cos m \frac{\psi}{2} = x$$

$$m = 2 \quad \cos m \frac{\psi}{2} = 2x^2 - 1$$

$$m = 3 \quad \cos m \frac{\psi}{2} = 4x^3 - 3x$$

$$m = 4 \quad \cos m \frac{\psi}{2} = 8x^4 - 8x^2 + 1$$

Aquí tenemos que cada término que aporta un par de fuentes (el arreglo se evalúa con respecto al centro) a la expresión del campo total E, se puede escribir como un Polinomio de Tchebyscheff

116



Arreglos de "n" fuentes puntuales

Arreglo linear Dolph-Tchebyscheff - caso broadside

$$T_m(x) = \cos m \frac{\psi}{2}$$

$$T_0(x) = 1$$

$$T_1(x) = x$$

$$T_2(x) = 2x^2 - 1$$

$$T_3(x) = 4x^3 - 3x$$

$$T_4(x) = 8x^4 - 8x^2 + 1$$

$$T_5(x) = 16x^5 - 20x^3 + 5x$$

$$T_6(x) = 32x^6 - 48x^4 + 18x^2 - 1$$

$$T_7(x) = 64x^7 - 112x^5 + 56x^3 - 7x$$

Notar que el grado del polinomio coincide con el valor de m

117



Arreglos de "n" fuentes puntuales

Arreglo lineal Dolph-Tchebyscheff - caso broadside

Las raíces del polinomio ocurren para...

$$\cos m \frac{\psi}{2} = 0 \quad m \frac{\psi}{2} = (2k - 1) \frac{\pi}{2} \quad k = 1, 2, 3 \dots$$

$x = \cos \frac{\psi}{2}$ designamos a las raíces del polinomio como ...

$$x_r = \cos \left((2k - 1) \frac{\pi}{2m} \right)$$

118



Arreglos de "n" fuentes puntuales

Arreglo lineal Dolph-Tchebyscheff - caso broadside

Entonces se comprueba que las expresiones desarrolladas para arreglos pares o impares, se pueden expresar como polinomios de grados $2k + 1$ y $2k$

$$E_p = 2 \sum_{k=0}^{N-1} A_k \cos \left((2k + 1) \frac{\psi}{2} \right) \quad E_i = 2 \sum_{k=0}^N A_k \cos \left(2k \frac{\psi}{2} \right)$$

donde el grado del polinomio es el número de fuentes menos 1

$$n_p - 1 = 2k + 1 \quad n_i - 1 = 2k$$

$$n_p = 2(k + 1) \quad n_i = 2k + 1$$

119



Arreglos de "n" fuentes puntuales

Arreglo linear Dolph-Tchebyscheff - caso broadside

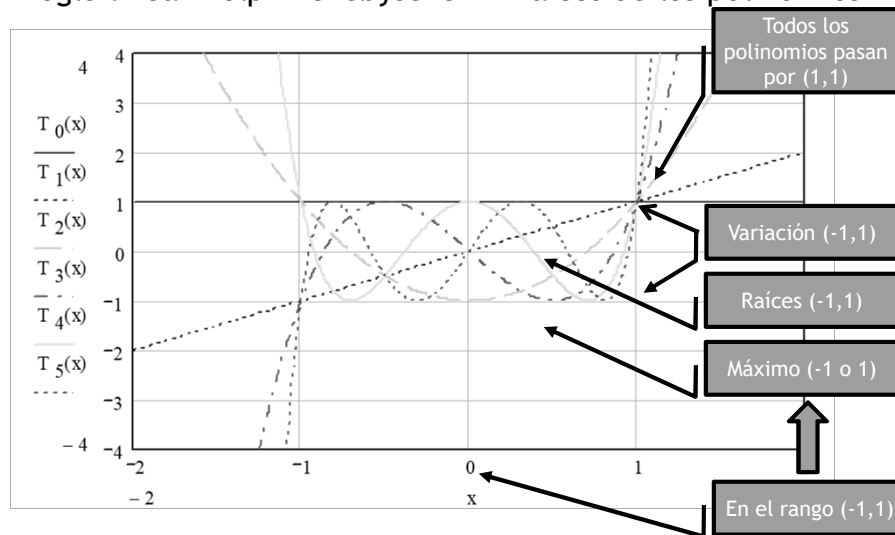
Entonces el arreglo polinomial, dado por la expresiones anteriores, se puede considerar como un polinomio de Tchebyscheff de grado $m=n-1$ (el numero de fuentes menos uno), siendo la distribución de amplitud de las fuentes del arreglo una distribución polinomial de Tchebyscheff.

120



Arreglos de "n" fuentes puntuales

Arreglo linear Dolph-Tchebyscheff - Raíces de los polinomios





Arreglos de "n" fuentes puntuales

Método Dolph-Tchebyscheff

Supongamos un arreglo de 6 fuentes, por lo que el patrón de campo será un polinomio de grado 5, definamos la relación R como el cociente entre el máximo del lóbulo principal al nivel de lóbulos secundarios.

$$R = \frac{\text{Max Lobulo principal}}{\text{Max Lobulo secundario}}$$

El punto (X_0, R) en la curva del polinomio $T_5(x)$ corresponde al valor del máximo, los lóbulos secundarios están confinados a un valor máximo de 1.

122



Arreglos de "n" fuentes puntuales

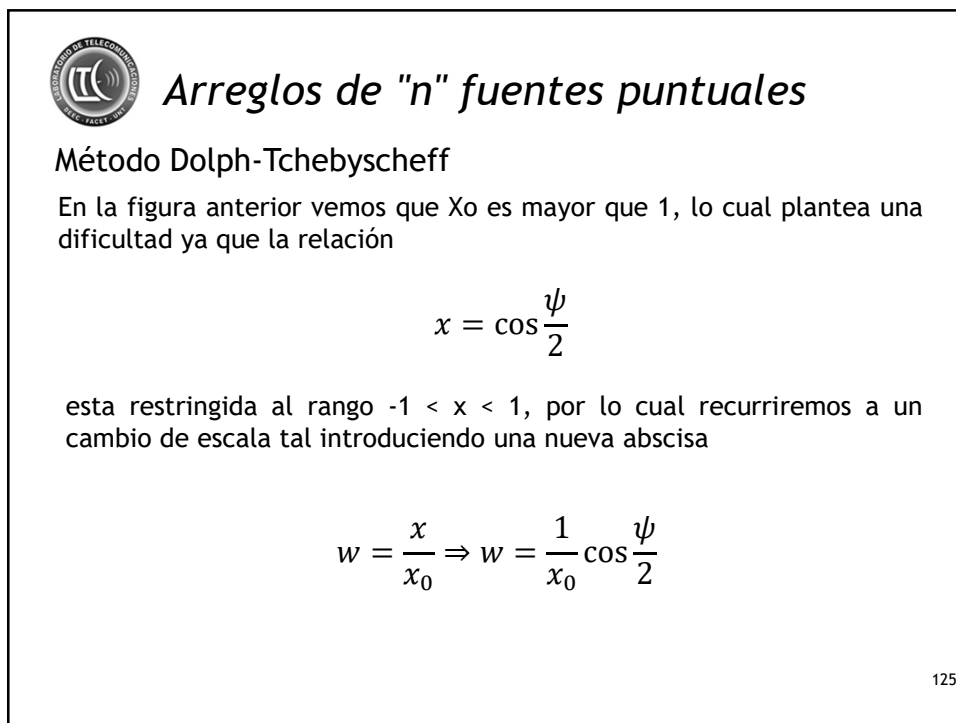
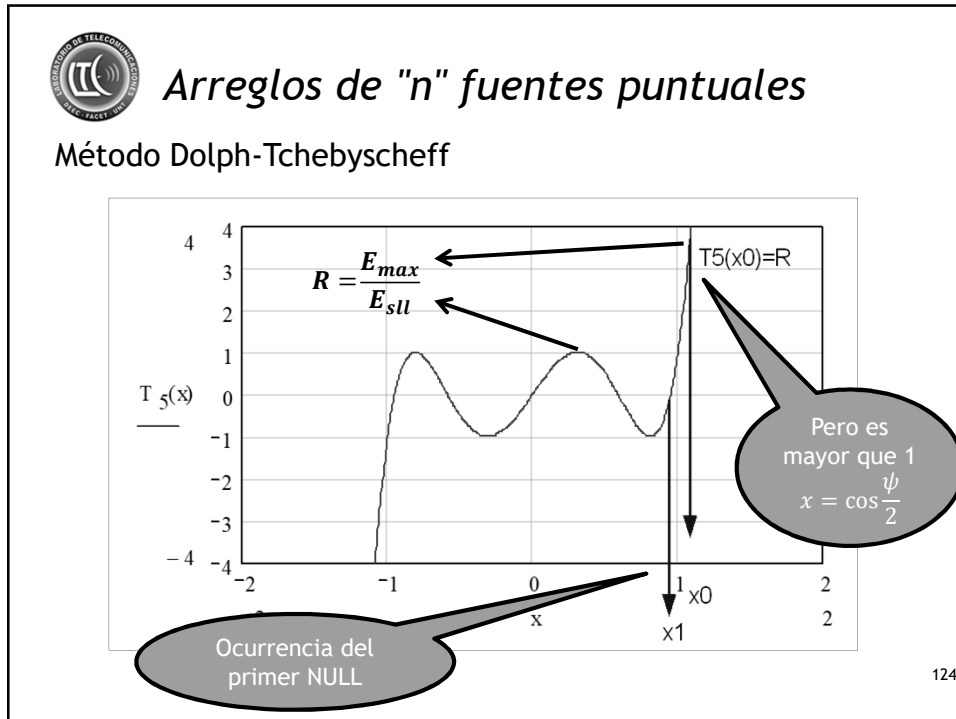
Método Dolph-Tchebyscheff

Las raíces del polinomio corresponden a los nulls en el diagrama de campo E.

Una propiedad importante del polinomio de Tchebyscheff es que fijada la razón R, el ancho de banda del primer null $(x=x_1)$ queda minimizado, de la misma forma si el ancho de banda es especificado, el valor de R queda maximizado.

Como trabajamos con diagramas de campo normalizados, podemos omitir el factor "2" en la expresión.

123





Arreglos de "n" fuentes puntuales

Método Dolph-Tchebyscheff

Consideremos un arreglo de 8 fuentes espaciadas $\lambda/2$, con $R_{db} = 26$ db
Por lo que seleccionamos un polinomio de grado n-1

$$T_7(x) = 64x^7 - 112x^5 + 56x^3 - 7x$$

$$R_{db} = 26 \text{ db} \quad R \Rightarrow? \quad 26 = 20 \log R \quad R = 19,953$$

Para $x = x_0$ el valor del polinomio vale R

$$T_7(x_0) = 20$$

Podemos encontrar x_0 en base a prueba y error o aplicar la ecuación

$$x_0 = \frac{1}{2} \left[\left(R + \sqrt{R^2 - 1} \right)^{\frac{1}{m}} + \left(R - \sqrt{R^2 - 1} \right)^{\frac{1}{m}} \right] \quad x_0 = 1,142$$

126



Arreglos de "n" fuentes puntuales

Método Dolph-Tchebyscheff

Expresión del campo E

$$E_p(\psi(\theta)) = 2 \sum_{k=0}^{N-1} A_k \cos \left[\frac{(2k+1)}{2} \psi(\theta) \right]$$

$$E_p(\psi(\theta)) = 2 \left(A_0 \cos \left(\frac{1}{2} \psi(\theta) \right) + A_1 \cos \left(\frac{3}{2} \psi(\theta) \right) + A_2 \cos \left(\frac{5}{2} \psi(\theta) \right) + A_3 \cos \left(\frac{7}{2} \psi(\theta) \right) \right)$$

Reemplazando cada termino coseno por el equivalente del polinomio T, considerando el cambio de variable w (omitimos el «2» del análisis)

$$E_p(w) = 2 \left(A_0 w + A_1 (4w^3 - 3w) + A_2 (16w^5 - 20w^3 + 5w) + \dots \right. \\ \left. \dots + A_3 (64w^7 - 112w^5 + 56w^3 - 7w) \right)$$

Reemplazando $w = \frac{x}{x_0}$ y agrupando las potencias del mismo orden tenemos...

127



Arreglos de "n" fuentes puntuales

Método Dolph-Tchebyscheff

$$E_p(x) = 2 \left(\frac{64A_3}{x_0^7} x^7 + \frac{(16A_2 - 112A_3)}{x_0^5} x^5 + \frac{(56A_3 - 20A_2 + 4A_1)}{x_0^3} x^3 + \frac{(A_0 - 3A_1 + 5A_2 - 7A_3)}{x_0} x \right)$$

$$T_7(x) = 64x^7 - 112x^5 + 56x^3 - 7x$$

Para que se cumpla que $E_p = T_7$ se debe proceder a igualar los coeficientes

$$64 = \frac{64A_3}{x_0^7} \Rightarrow A_3 = x_0^7$$

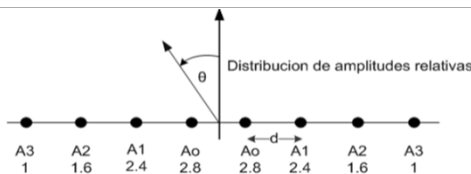
128



Arreglos de "n" fuentes puntuales

Método Dolph-Tchebyscheff

$\frac{64 \cdot A_3}{x_0^7} := 64$	$A_3 := x_0^7$	$A_3 = 2.531$	Amplitud relativa
$\frac{(16 \cdot A_2 - 112 \cdot A_3)}{x_0^5} := -112$	$A_2 := \frac{-112 \cdot x_0^5 + 112 \cdot A_3}{16}$	$A_2 = 4.129$	$\frac{A_2}{A_3} = 1.631$
$\frac{(56 \cdot A_3 - 20 \cdot A_2 + 4 \cdot A_1)}{x_0^3} := 56$	$A_1 := \frac{56 \cdot x_0^3 + 20 \cdot A_2 - 56 \cdot A_3}{4}$	$A_1 = 6.053$	$\frac{A_1}{A_2} = 1.466$
$\frac{A_0 - 3 \cdot A_1 + 5 \cdot A_2 - 7 \cdot A_3}{x_0} := -7$	$A_0 := -7 \cdot x_0 + 3 \cdot A_1 - 5 \cdot A_2 + 7 \cdot A_3$	$A_0 = 7.24$	$\frac{A_0}{A_3} = 2.86$

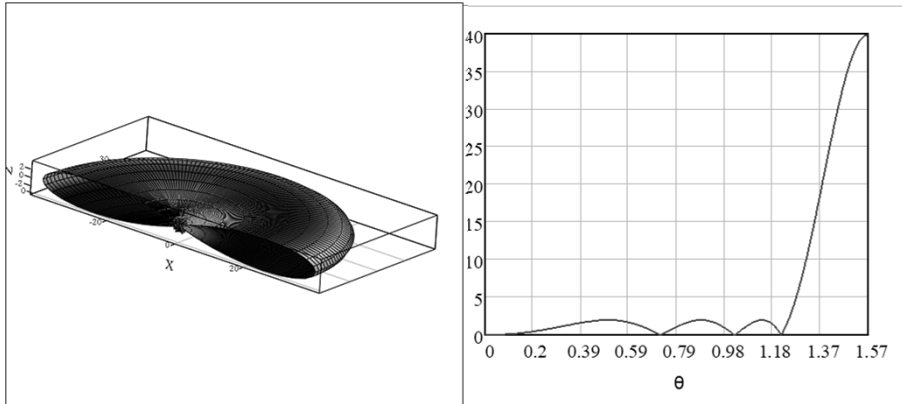


129



Arreglos de "n" fuentes puntuales

Método Dolph-Tchebyscheff para 8 fuentes puntuales



(X, Y, Z)

130



Potencial Vectorial

El potencial vectorial no tiene un significado físico, su utilidad es matemática y permite, si se conoce la distribución de corriente encontrar A y con ella el campo B

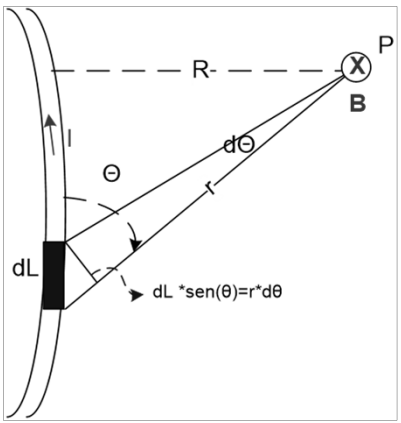
$$A = \frac{\mu}{4\pi} \iiint \frac{J}{r} dv \quad \frac{T}{m} \text{ o } \frac{W}{m}$$

Expresión del potencial vectorial producido por una distribución de corriente J/r integrada en el volumen ocupado por la distribución de corriente.

131



Potencial Vectorial



$$B = \frac{\mu}{4\pi} \iiint \frac{J \times r}{r^2} dv$$

$$\nabla B = 0 \Rightarrow B = \nabla \times A$$

$$\nabla^2 \vec{A} = -\mu \vec{J}$$

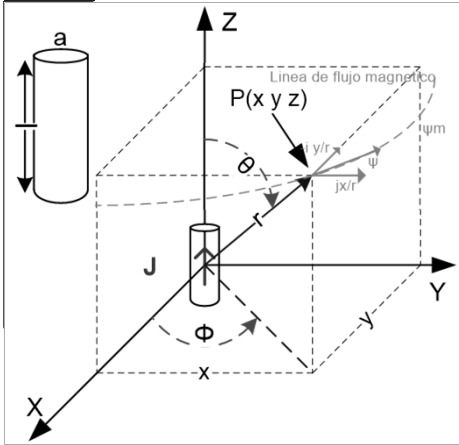
$$\vec{A}_i = \frac{\mu}{4\pi} \iiint \frac{\vec{J}_i}{r} dv$$

132



Potencial Vectorial

Consideremos un alambre corto de longitud l y sección a , la densidad de corriente J es uniforme en la dirección de z . Queremos encontrar la densidad de flujo magnético B a una gran distancia del alambre ($r \gg l$)



$$A = \frac{\mu}{4\pi} \iiint \frac{J}{r} dv \quad \frac{T}{m}$$

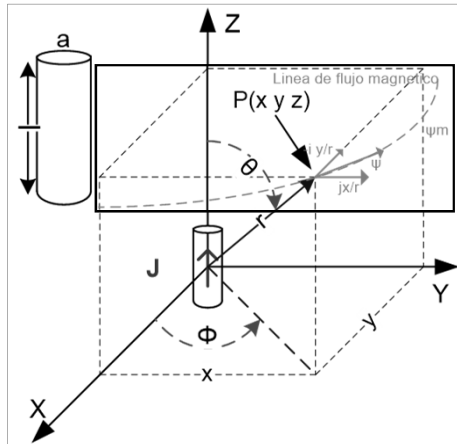
si $r \gg l$, se puede considerar cte.

$$A = \frac{\mu}{4\pi r} \iiint J dv \quad \frac{T}{m}$$

133



Potencial Vectorial



$$J = \vec{z}J_z$$

$$A_z = \vec{z} \frac{\mu}{4\pi r} \iiint J dv \quad \frac{T}{m}$$

$$A_z = \vec{z} \frac{\mu}{4\pi r} \int_{-\frac{l}{2}}^{\frac{l}{2}} \int_s J ds dl \quad \frac{T}{m}$$

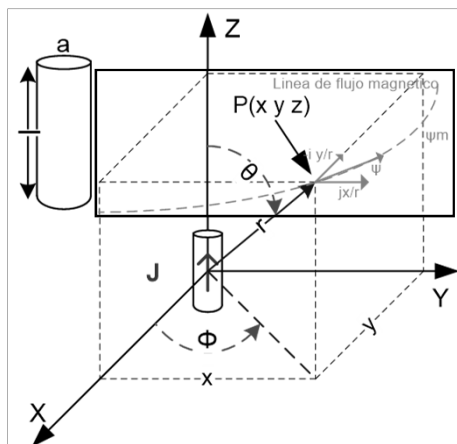
como J es uniforme

$$A_z = \vec{z} \frac{\mu * I}{4\pi r} \int_{-\frac{l}{2}}^{\frac{l}{2}} dl = \vec{z} \frac{\mu * Il}{4\pi r} \quad \frac{T}{m}$$

134



Potencial Vectorial



$$B = \nabla \times A$$

$$\nabla \times A = \vec{i} \frac{\partial A_z}{\partial y} - \vec{j} \frac{\partial A_z}{\partial x}$$

$$\nabla \times A = -\vec{i} \frac{\mu Il}{4\pi r^3} y - \vec{j} \frac{\mu Il}{4\pi r^3} x$$

$$\vec{B} = \vec{\Psi} \frac{\mu}{4\pi r^2} Il \sin \theta \quad \frac{Wb}{m^2}$$

135



Antenas elementales

Dipolo corto

Una antena lineal puede considerarse como un conjunto de elementos de corriente conectados en serie.

Por lo tanto es de interés analizar las propiedades de radiación de un elemento corto.

Un conductor lineal se puede considerar como un *dipolo corto* si:

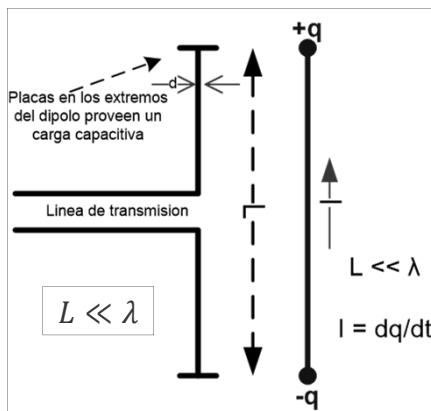
$$L \ll \lambda$$

Como nos interesan los campos generados a grandes distancias, relativas a λ , debemos considerar los potenciales retardados.



Antenas elementales

Dipolo corto



la linea de alimentacion no radia

el diametro "d" sera tal que

$$d \ll L$$

entonces podemos considerar como un conductor delgado de longitud L con distribucion de corriente uniforme y carga "q" en los extremos tal que

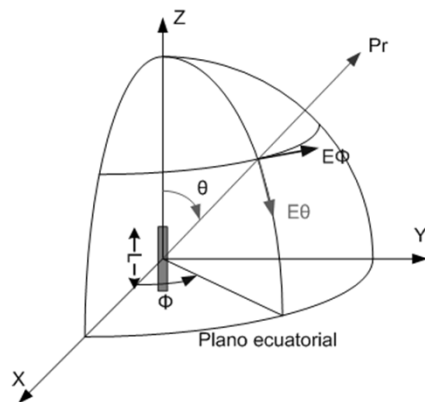
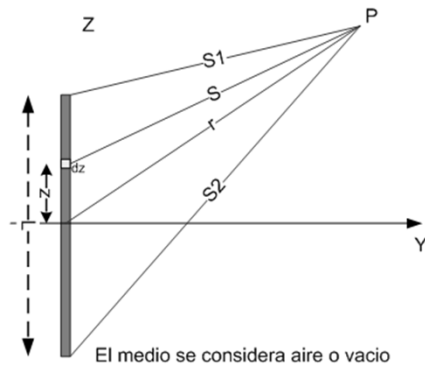
$$i = \frac{dq}{dt}$$

137



Antenas elementales

Dipolo corto: Campos generados

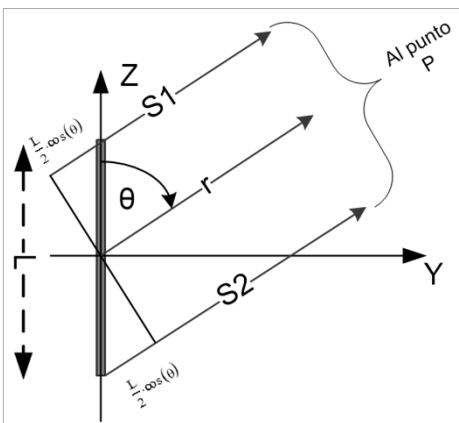
Los campos generados en el punto P, serán originados por corrientes y cargas en el dipolo

138



Antenas elementales

Dipolo corto: Si $r \gg L$, podemos plantear el siguiente modelo



La corriente que fluye en el dipolo no hará sentir su efecto en forma inmediata en el punto P.

Por lo tanto debemos considerar el **retardo**.

$$[I] = I_0 e^{j\omega \left[t - \left(\frac{r}{c} \right) \right]}$$

Corriente retardada

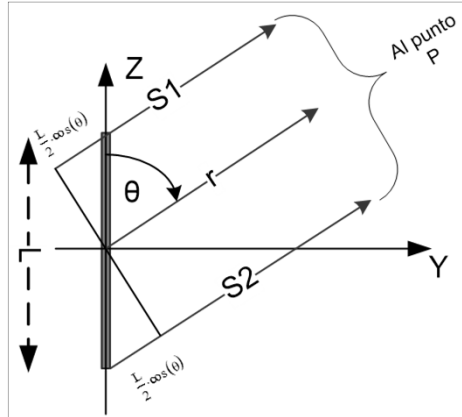
Esto resulta en retardo de fase

139



Antenas elementales

Dipolo corto: Utilizamos el Vector potencial Magnético



Bajo las consideraciones:
 $r \gg L$ y $\lambda \gg L$
 Podemos considerar que $S1=r=S2$

$$A_z = \frac{\mu}{4\pi r} LI_0 e^{j\omega[t - (\frac{r}{c})]}$$

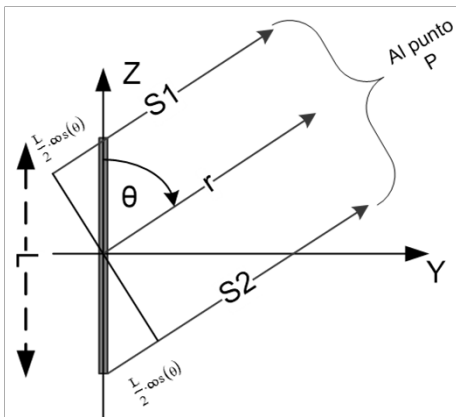
El campo magnético se obtiene a partir de la expresión
 $B = \nabla \times A$

140



Antenas elementales

Dipolo corto: La carga «q» genera un potencial retardado V



$$V = \frac{I_0}{4\pi\epsilon j\omega} \left[\frac{e^{j\omega[t - (\frac{s_1}{c})]}}{s_1} - \frac{e^{j\omega[t - (\frac{s_2}{c})]}}{s_2} \right]$$

Si $r \gg L$, podemos considerar $S1, S2$ y r como paralelos

$$s_1 = r - \frac{L}{2} \cos\theta \quad \text{y} \quad s_2 = r + \frac{L}{2} \cos\theta$$

$$V = \frac{I_0 L \cos(\theta) e^{j\omega[t - (\frac{r}{c})]}}{4\pi\epsilon c} \left[\frac{c}{j\omega r^2} + \frac{1}{r} \right]$$

141



Antenas elementales

Dipolo corto:

Las expresiones remarcadas en expresan los potenciales eléctricos (V) y magnéticos (A) con las únicas restricciones de que $r \gg L$ y $L \ll \lambda$.

$$A_z = \frac{\mu}{4\pi r} L I_0 e^{j\omega \left[t - \left(\frac{r}{c} \right) \right]} \quad V = \frac{I_0 L \cos(\theta) e^{j\omega \left[t - \left(\frac{r}{c} \right) \right]}}{4\pi \epsilon c} \left[\frac{c}{j\omega r^2} + \frac{1}{r} \right]$$

Consideremos ahora la expresión general del campo E debido a potenciales estáticos y variación de campos magnéticos mas la expresión del campo H en función del potencial magnético A

$$E = -\nabla V - \frac{\partial A}{\partial t} = -\nabla V - j\omega A \quad H = \frac{1}{\mu} (\nabla \times A)$$

142



Antenas elementales

Dipolo corto:

Es conveniente para el análisis expresar E y H en coordenadas polares, entonces consideremos las expresiones para conversión

$$A = a_r \cdot A_r + a_\theta \cdot A_\theta + a_\phi \cdot A_\phi \quad \nabla \cdot V = a_r \frac{\partial V}{\partial r} + a_\theta \frac{1}{r} \frac{\partial V}{\partial \theta} + a_\phi \frac{1}{r \cdot \sin \theta} \frac{\partial V}{\partial \phi}$$

$$\nabla \times A = \frac{a_r}{r^2 \sin \theta} \left(\frac{\partial(r \cdot \sin \theta) A_\phi}{\partial \theta} - \frac{\partial(r A_\theta)}{\partial \phi} \right) + \frac{a_\theta}{r \cdot \sin \theta} \left(\frac{\partial A_r}{\partial \phi} - \frac{\partial(r \cdot \sin \theta) A_\phi}{\partial r} \right) + \frac{a_\phi}{r} \left(\frac{\partial(r A_\theta)}{\partial r} - \frac{\partial A_r}{\partial \theta} \right)$$

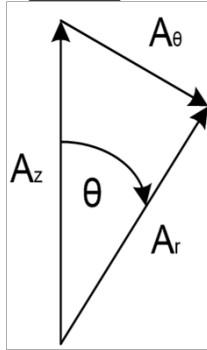
143



Antenas elementales

Dipolo corto:

Si tenemos en cuenta que el dipolo esta orientado en el eje Z, entonces, no tiene componentes en Φ



$$\begin{aligned}
 A_r &:= A_z \cos(\theta) & E_r &:= -j\omega A_r - \frac{d}{dr} V & E_r &:= -j\omega A_z \cos(\theta) - \frac{d}{dr} V \\
 A_\theta &:= -A_z \sin(\theta) & E_\theta &:= -j\omega A_\theta - \frac{1}{r} \frac{d}{d\theta} V & E_\theta &:= j\omega A_z \sin(\theta) - \frac{1}{r} \frac{d}{d\theta} V \\
 A_\phi &:= 0 & E_\phi &:= -j\omega A_\phi - \frac{1}{r \sin(\theta)} \frac{d}{d\phi} V & A_\phi &:= 0 & \frac{d}{d\phi} V &:= 0 & E_\phi &:= 0
 \end{aligned}$$

144



Antenas elementales

Campos del Dipolo corto

Campo Lejano

$$E_r = \frac{[I]L \cos(\theta)}{2\pi\epsilon} \left(\frac{1}{cr^2} + \frac{1}{j\omega r^3} \right)$$

$$E_\theta = \frac{[I]L \sin(\theta)}{4\pi\epsilon} \left(\frac{j\omega}{c^2 r} + \frac{1}{cr^2} + \frac{1}{j\omega r^3} \right)$$

$$H_\phi = \frac{[I]L \sin(\theta)}{4\pi} \left(\frac{j\omega}{cr} + \frac{1}{r^2} \right)$$

$$E_r = 0$$

$$\frac{E_\theta}{H_\phi} = 120\pi$$

E_θ y H_ϕ
en fase

$$E_\theta = j \frac{[I]\omega L \sin(\theta)}{4\pi\epsilon c^2 r} = j \frac{60\pi [I] \sin(\theta) L}{r \lambda}$$

$$H_\phi = \frac{[I]L \sin(\theta)}{4\pi} \left(\frac{j\omega}{cr} \right) = j \frac{[I] \sin(\theta) L}{2r \lambda}$$

Podemos ver como varían E y H en condiciones de campo lejano

145



Antenas elementales

Campos del Dipolo corto

$$E_r = \frac{[I]L \cos(\theta)}{2\pi\epsilon} \left(\frac{1}{cr^2} + \frac{1}{j\omega r^3} \right)$$

$$E_\theta = \frac{[I]L \sin(\theta)}{4\pi\epsilon} \left(\frac{j\omega}{c^2 r} + \frac{1}{cr^2} + \frac{1}{j\omega r^3} \right)$$

$$H_\phi = \frac{[I]L \sin(\theta)}{4\pi} \left(\frac{j\omega}{cr} + \frac{1}{r^2} \right)$$

Baja frecuencia

$$E_r = \frac{q_0 L \cos(\theta)}{2\pi\epsilon r^3}$$

$$E_\theta = \frac{q_0 L \sin(\theta)}{4\pi\epsilon r^3}$$

$$H_\phi = \frac{I_0 L \sin(\theta)}{4\pi\epsilon r^2}$$

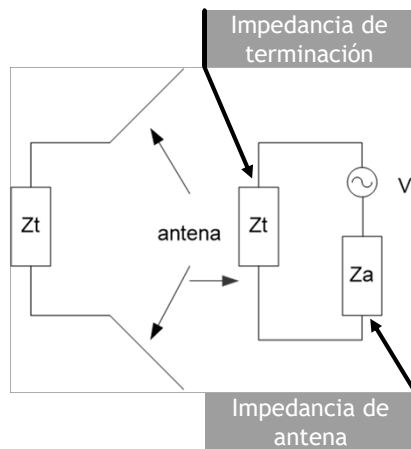
Podemos ver como los campos se atenúan fuertemente a bajas frecuencias

146



Antena como apertura

Recordando el modelo: La antena colecta energía y la entrega en Zt



$$Z_t = R_T + jX_T$$

$$Z_a = R_A + jX_A$$

$$R_A = R_r + R_L$$

Resistencia de radiación

Resistencia de pérdidas

147



Resistencia de radiación del DC

Si integramos el vector de Poynting promedio, para condiciones de campo lejano, sobre una superficie esférica obtendremos la potencia total radiada.

Recordando el modelo de antena como apertura, esta será igual I^2R , donde I es la corriente eficaz y R la resistencia de radiación (despreciando las pérdidas).

$$P_r = \frac{1}{2} \Re(E_\theta \times H_\phi) \quad \text{Como son ortogonales} \quad P_r = \frac{1}{2} \Re(E_\theta \cdot \overline{H_\phi})$$

$$E_\theta = 120\pi H_\phi \quad P_r = \frac{1}{2} \sqrt{\frac{\mu}{\epsilon}} H_\phi^2 \quad w = \oint P_r ds$$

148



Resistencia de radiación del DC

Podemos escribir la expresión de la potencia radiada como:

$$W := \frac{1}{2} \sqrt{\frac{\mu}{\epsilon}} \int_0^{2\pi} \int_0^\pi (|H_\phi|)^2 \sin(\theta) d\theta d\phi \quad |H_\phi| := \frac{\omega \cdot I_0 \cdot L \cdot \sin(\theta)}{4 \cdot \pi \cdot c \cdot r} \quad W := \frac{1}{2} \sqrt{\frac{\mu}{\epsilon}} \int_0^{2\pi} \int_0^\pi \left(\frac{\omega \cdot I_0 \cdot L \cdot \sin(\theta)}{4 \cdot \pi \cdot c \cdot r} \right)^2 \cdot \sin(\theta) d\theta d\phi$$

$$W := \frac{1}{32} \sqrt{\frac{\mu}{\epsilon}} \frac{\omega^2 \cdot I_0^2 \cdot L^2}{\pi^2 \cdot c^2} \int_0^{2\pi} \int_0^\pi (\sin(\theta))^3 d\theta d\phi \quad W := \frac{480\pi}{32} \frac{I_0^2 \cdot L^2}{\lambda^2} \int_0^{2\pi} \int_0^\pi (\sin(\theta))^3 d\theta d\phi \int_0^{2\pi} \int_0^\pi (\sin(\theta))^3 d\theta d\phi \rightarrow \frac{8}{3} \cdot \pi$$

$$W := \frac{480\pi}{32} \cdot \frac{I_0^2 \cdot L^2}{\lambda^2} \cdot \frac{8}{3} \cdot \pi \quad W := 40 \cdot \frac{I_0^2 \cdot L^2}{\lambda^2} \cdot \pi^2 \quad W := \left(\frac{I_0}{\sqrt{2}} \right)^2 \cdot R \quad \frac{I_0^2}{2} \cdot R := 40 \cdot \frac{I_0^2 \cdot L^2}{\lambda^2} \cdot \pi^2$$

Potencia desarrollada en el dipolo

Igualando

$$R = 80\pi^2 \left(\frac{L}{\lambda} \right)^2$$

149



Resistencia de radiación del DC

¿Qué podemos decir de la Resistencia de radiación del DC?

$$R_{DC} = 80\pi^2 \left(\frac{L}{\lambda}\right)^2$$

$$\text{Si } \frac{L}{\lambda} \cong 0,1 \quad R_{DC} = 7,9 \Omega$$

Un valor demasiado bajo de resistencia de radiación implica mayores corrientes para un determinado nivel de potencia lo que muestra la principal desventaja de el dipolo corto.

Si la potencia es 1 Kw, ¿cuanto vale la corriente de excitación?

$$\text{si } W := 1 \text{ kw} \quad I := \sqrt{\frac{10^3}{R}} \quad I = 11.254 \text{ amp}$$

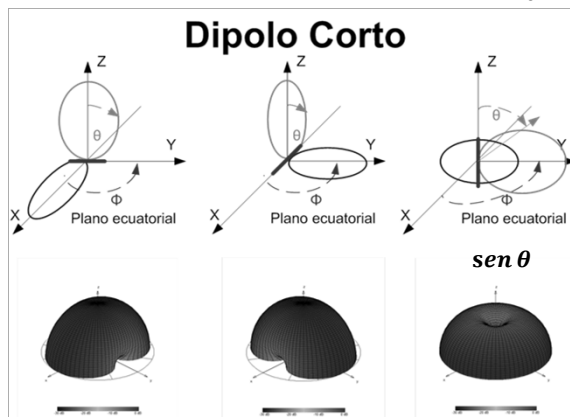
150



Ganancia del DC

Podemos calcular la ganancia a partir del patrón de radiación normalizado

$$D = \frac{4\pi}{\int_0^{2\pi} \int_0^\pi (\text{sen}\theta)^2 \text{sen}\theta \, d\theta d\phi}$$



$$D_{DC} = 1,5$$

151



Antenas lineal delgada

Antena lineal delgada

Se deducirán las expresiones de campo lejano para este tipo de antena

La misma es alimentada por una línea balanceada ¿?

La distribución de corriente es sinusoidal

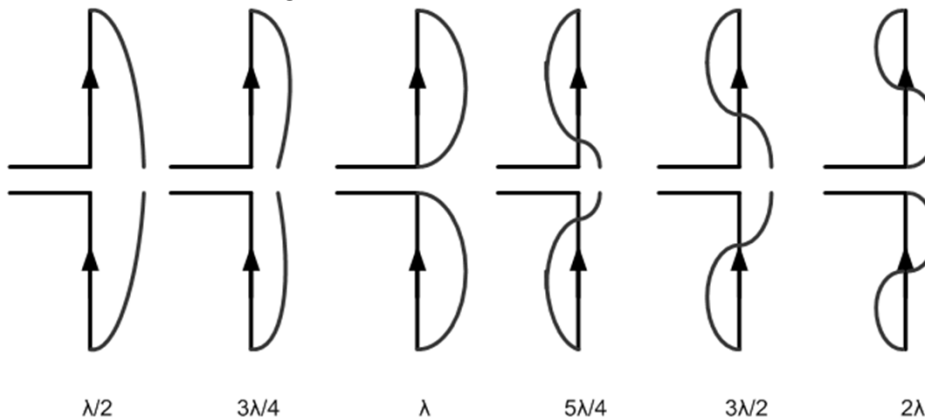
$$d \ll \lambda$$

152



Antenas lineal delgada

Antena lineal delgada: Distribución sinusoidal



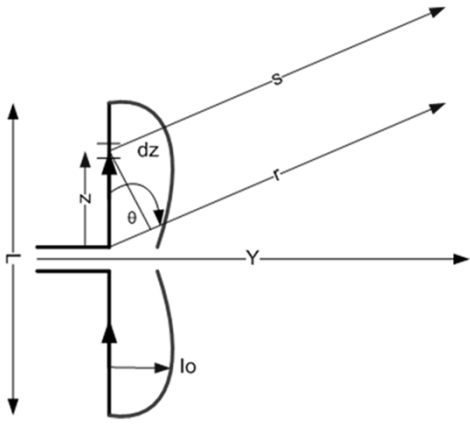
Si el diámetro del conductor es $d \ll \lambda$ ($\sim \lambda/100$), mediciones realizadas demuestran que esta es una buena aproximación a la distribución natural en antenas delgadas.

153



Antenas lineal delgada

Antena lineal delgada:



$$[I] = I_0 \text{sen} \left[\frac{2\pi}{\lambda} \left(\frac{L}{2} - z \right) \right] e^{j\omega(t - \frac{r}{c})} \quad z > 0$$

$$[I] = I_0 \text{sen} \left[\frac{2\pi}{\lambda} \left(\frac{L}{2} + z \right) \right] e^{j\omega(t - \frac{r}{c})} \quad z < 0$$

factor de forma $\text{sen} \left[\frac{2\pi}{\lambda} \left(\frac{L}{2} + z \right) \right]$

154



Antenas lineal delgada

Consideremos la antena como una serie infinitesimal de dipolos delgados de longitud «dz»

$$dH_\phi = \frac{j[I] \sin \theta}{2s} \frac{dz}{\lambda} \quad H_\phi = \int_{-\frac{L}{2}}^{\frac{L}{2}} dH_\phi \quad E_\theta = 120\pi H_\phi$$

$$H_\phi = \frac{jI_0 e^{j\omega t} \sin \theta}{2\lambda} \left(\int_{-\frac{L}{2}}^0 \frac{\text{sen} \left(\frac{2\pi}{\lambda} \left(\frac{L}{2} + z \right) \right) e^{-j\omega \frac{s}{c}}}{s} dz + \int_0^{\frac{L}{2}} \frac{\text{sen} \left(\frac{2\pi}{\lambda} \left(\frac{L}{2} - z \right) \right) e^{-j\omega \frac{s}{c}}}{s} dz \right)$$

Consideraciones de campo lejano

- Con respecto a la amplitud
 $s = r = cte$
- Con respecto a la fase
 $s = r - z \cos \theta$

155



Antenas lineal delgada

Antena lineal delgada

$$H_{\phi} = \frac{jI_0 e^{j\omega(t-\frac{r}{c})} \sin \theta}{2\lambda r} \left(\int_{-\frac{L}{2}}^0 \sin \left(\frac{2\pi}{\lambda} \left(\frac{L}{2} + z \right) \right) e^{j\frac{\omega \cos \theta}{c} z} dz + \int_0^{\frac{L}{2}} \sin \left(\frac{2\pi}{\lambda} \left(\frac{L}{2} - z \right) \right) e^{j\frac{\omega \cos \theta}{c} z} dz \right)$$

$$\beta = \frac{\omega}{c} = \frac{2\pi}{\lambda} \quad \frac{\beta}{4\pi} = \frac{1}{2\lambda}$$

$$H_{\phi} = \frac{j\beta I_0 e^{j\omega(t-\frac{r}{c})} \sin \theta}{4\pi r} \left(\int_{-\frac{L}{2}}^0 \sin \left(\beta \left(\frac{L}{2} + z \right) \right) e^{j\beta \cos \theta z} dz + \int_0^{\frac{L}{2}} \sin \left(\beta \left(\frac{L}{2} - z \right) \right) e^{j\beta \cos \theta z} dz \right)$$

156



Antenas lineal delgada

Antena lineal delgada

$$\int \sin(c + bx) e^{ax} = \frac{e^{ax}}{a^2 + b^2} (a \sin(c + bx) - b \cos(c + bx))$$

$$1^{\circ} \text{ integral} \quad a = j\beta \cos \theta \quad b = \beta \quad c = \beta \frac{L}{2}$$

$$2^{\circ} \text{ integral} \quad a = j\beta \cos \theta \quad b = -\beta \quad c = \beta \frac{L}{2}$$

$$H_{\phi}(\theta) = \frac{j[I_0]}{2\pi r} \left(\frac{\cos \left(\frac{\beta L \cos(\theta)}{2} \right) - \cos \left(\frac{\beta L}{2} \right)}{\text{sen}(\theta)} \right) \quad E_{\theta}(\theta) = \frac{j60[I_0]}{r} \left(\frac{\cos \left(\frac{\beta L \cos(\theta)}{2} \right) - \cos \left(\frac{\beta L}{2} \right)}{\text{sen}(\theta)} \right)$$

$$[I_0] = I_0 e^{j\omega(t-\frac{r}{c})}$$

Campo de una antena lineal delgada alimentada en su parte central

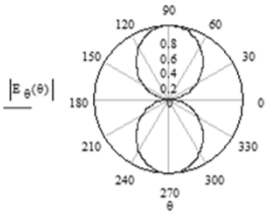
157



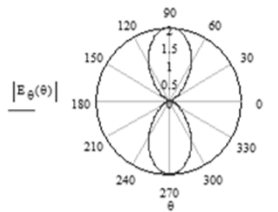
Antenas lineal delgada

Antena lineal delgada

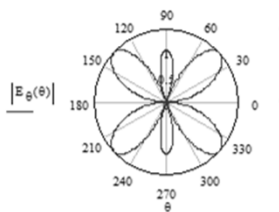
$L = \lambda/2$

$$E_{\theta}(\theta) := \frac{\cos\left(\frac{\pi \cdot \cos(\theta)}{2}\right)}{\sin(\theta)}$$


$L = \lambda$

$$E_{\theta}(\theta) := \frac{\cos(\pi \cdot \cos(\theta)) + 1}{\sin(\theta)}$$


$L = 3\lambda/2$

$$E_{\theta}(\theta) := \frac{\cos\left(\frac{3\pi \cdot \cos(\theta)}{2}\right)}{\sin(\theta)}$$


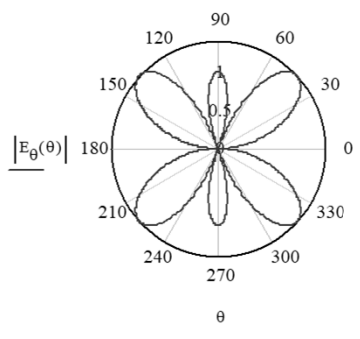
¿HPBW?

158

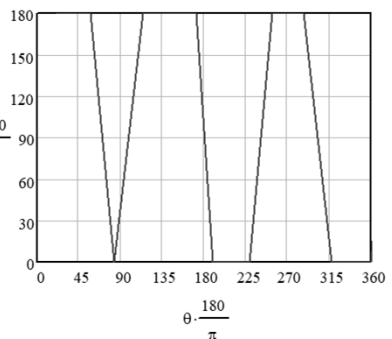


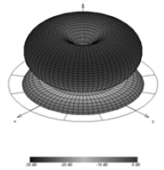
Antenas lineal delgada

Antena lineal delgada



$\arg(E_{\theta}(\theta)) \cdot \frac{180}{\pi}$





Inversion de fase en un Null

159



Antenas lineal delgada

Antena lineal delgada, resistencia de radiación

Integrando el vector de Poynting sobre una esfera obtenemos...

...la potencia radiada que podemos igualar a $W = \frac{I_0^2}{2} R_0$

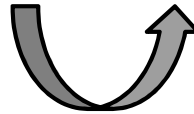
Resistencia de radiación $L = \frac{\lambda}{2}$

$$P_r = \frac{1}{2} \Re(E_\theta \times \overline{H_\phi})$$

$$E_\theta = 120\pi H_\phi$$

$$P_r = \frac{1}{2} \eta H_\phi^2$$

$$W = \frac{1}{2} \int_0^{2\pi} \int_0^\pi \eta H_\phi^2 r^2 \sin \theta \, d\theta \, d\phi$$



160



Antenas lineal delgada

Antena lineal delgada, resistencia de radiación

$$W = \frac{1}{2} \int_0^{2\pi} \int_0^\pi \eta \left(\frac{I_0}{2\pi r} \left(\frac{\cos \frac{\beta L \cos \theta}{2} - \cos \frac{\beta L}{2}}{\sin \theta} \right) \right)^2 r^2 \sin \theta \, d\theta \, d\phi \quad \eta = 120\pi$$

$$W = \frac{15I_0^2}{\pi} \int_0^{2\pi} \int_0^\pi \left(\frac{\cos \frac{\beta L \cos \theta}{2} - \cos \frac{\beta L}{2}}{\sin \theta} \right)^2 \sin \theta \, d\theta \, d\phi$$

$$\textcircled{W} = 30I_0^2 \int_0^\pi \left(\frac{\cos \frac{\beta L \cos \theta}{2} - \cos \frac{\beta L}{2}}{\sin \theta} \right)^2 \sin \theta \, d\theta$$

$$\textcircled{W} = \frac{I_0^2}{2} R_0$$

161



Antenas lineal delgada

Antena lineal delgada, resistencia de radiación

$$R_0 = 60 \int_0^\pi \frac{\left(\cos \frac{\beta L \cos \theta}{2} - \cos \frac{\beta L}{2} \right)^2}{\sin \theta} d\theta$$

Resistencia de radiación referida al máximo de corriente, que en el caso de $\lambda/2$, sería el centro del dipolo

$$R_0 = ?$$

Para analizar la variación de R_0 haremos algunos cambios de variables

$$u = \cos \theta \quad du = -\sin \theta d\theta \quad \theta = 0 \quad u = 1 \quad \theta = \pi \quad u = -1$$

162



Antenas lineal delgada

Antena lineal delgada, resistencia de radiación

$$u = \cos \theta \quad du = -\sin \theta d\theta \quad \theta = 0 \quad u = 1 \quad \theta = \pi \quad u = -1$$

$$R_0 = 60 \int_{-1}^1 \frac{\left(\cos \frac{\beta L}{2} u - \cos \frac{\beta L}{2} \right)^2}{1 - u^2} du \quad \frac{1}{1 - u^2} = \frac{1}{2} \left(\frac{1}{1 - u} + \frac{1}{1 + u} \right)$$

$$R_0 = 30 \int_{-1}^1 \left(\frac{\left(\cos \frac{\beta L}{2} u - \cos \frac{\beta L}{2} \right)^2}{1 - u} + \frac{\left(\cos \frac{\beta L}{2} u - \cos \frac{\beta L}{2} \right)^2}{1 + u} \right) du$$

Haciendo una nueva transformación y particularizando para el caso de $L = \lambda/2$

$$1 + u = \frac{v}{\pi} \quad du = \frac{dv}{\pi} \quad 1 - u = \frac{v'}{\pi} \quad du = -\frac{dv'}{\pi} \quad \frac{v - \pi}{2} = \frac{\pi - v'}{2} \quad L = \frac{\lambda}{2} \quad 163$$



Antenas lineal delgada

Antena lineal delgada, resistencia de radiación

$$R_0 = 30 \int_0^{2\pi} \left(\frac{\left(\cos \frac{\pi}{2} u\right)^2}{1+u} + \frac{\left(\cos \frac{\pi}{2} u\right)^2}{1+u} \right) du = 60 \int_0^{2\pi} \frac{\left(\cos \left(\frac{v-\pi}{2}\right)\right)^2}{v} dv$$

$$\left(\cos \left(\frac{v-\pi}{2}\right)\right)^2 = \frac{1}{2}(1 + \cos(v-\pi)) \quad \text{y} \quad \cos(v-\pi) = -\cos(v)$$

$$R_0 = 30 \int_0^{2\pi} \frac{1 - \cos(v)}{v} dv \quad \text{Esta integral esta tabulada}$$

$$\int_0^x \frac{1 - \cos(v)}{v} dv = \ln(\gamma) + \ln(x) - Ci(x)$$

164



Antenas lineal delgada

Antena lineal delgada, resistencia de radiación

$$\int_0^x \frac{1 - \cos(v)}{v} dv = \ln(\gamma) + \ln(x) - Ci(x)$$

$\ln(\gamma) = 0,577$ Constante de Euler y $Ci(x)$ Coseno integral

$$Cin(x) = \int_0^x \frac{1 - \cos(v)}{v} dv \quad R_0 = 30Cin(x)$$

También puede derivarse una expresión para la parte reactiva de la resistencia de radiación X_0 , la cual estará en función del Seno Integral

$$Si(x) = \int_0^x \frac{\sin(v)}{v} dv \quad X_0 = 30Si(x)$$

165

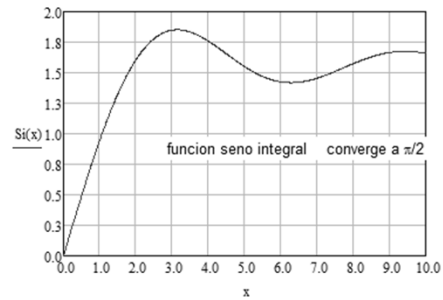
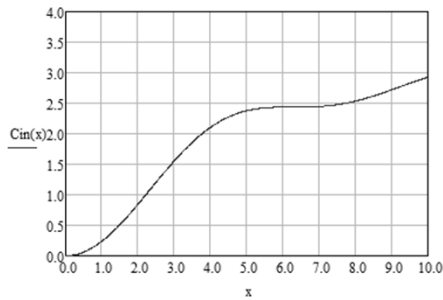


Antenas lineal delgada

Antena lineal delgada, resistencia de radiación $L = \lambda/2$

$$R_0 = 30Cin(x)$$

$$X_0 = 30Si(x)$$



Estas expresiones pueden representarse como series

166



Antenas lineal delgada

Antena lineal delgada, resistencia de radiación

$$R_0 = 30Cin(x)$$

$$X_0 = 30Si(x)$$

$$Cin = \sum_{k=1}^{50} \frac{(-1)^k (x^{2k})}{2k(2k)!}$$

$$Sin = \sum_{k=1}^{50} \frac{(-1)^{k-1} (x^{2k-1})}{(2k-1)(2k-1)!}$$

Para el caso de un dipolo de media onda alimentado al centro, tendremos:

$$R_0 = 30Cin(2\pi) = 73,13\Omega$$

$$X_0 = 30Si(2\pi) = 42,54\Omega$$

Comparar con el dipolo corto. Si se acorta un poco la antena, puede hacerse la parte reactiva igual a cero, ¿de que otra forma?

167



Antenas lineal delgada

Antena lineal delgada, resistencia de radiación

$$Z_{11} = 30(\text{Cin}(2\pi n) + j\text{Si}(2\pi n)) \quad n \text{ es un numero impar } \frac{\lambda}{2}$$

$$n = 1 \quad Z_{11} = 30(\text{Cin}(2\pi) + j\text{Si}(2\pi)) = 73,13 + j42.54$$

$$n = 5 \quad Z_{11} = 30(\text{Cin}(2\pi) + j\text{Si}(2\pi)) = 120,77 + j46.17$$

Vemos la convergencia de la parte reactiva

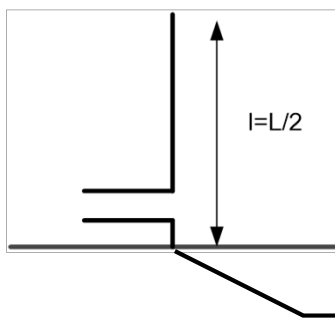
168



Antenas lineal delgada

Antena lineal delgada, resistencia de radiación

Podemos aplicar esto a una antena de tipo stub



$$Z_{11} = 15(\text{Cin}(2\pi n) + j\text{Si}(2\pi n))$$

$$n \text{ es un numero impar } \frac{\lambda}{4}$$

$$n = 1 \quad Z_{11} = 36,5 + j21.27 \quad \Omega$$

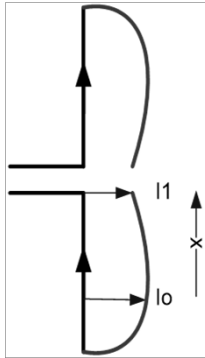
Plano infinito de tierra conductora

169



Antenas lineal delgada

Antena lineal delgada, resistencia de radiación en un punto que no es el máximo



Si evaluamos R_0 para un dipolo de $3\lambda/4$ con el método anterior encontramos su valor en un máximo de corriente, que no es precisamente el de conexión de la línea de transmisión.

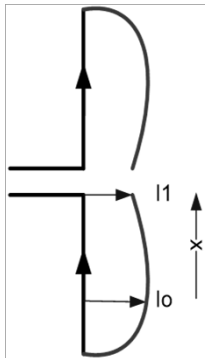
Considerando que la distribución de corriente sea la misma podemos encontrar fácilmente una expresión para estos casos, igualando la potencia radiada a la potencia suministrada por la línea

170



Antenas lineal delgada

Antena lineal delgada, resistencia de radiación en un punto que no es el máximo



Calculamos R_0 en el punto donde la corriente I_0 es máxima, lo cual no sería el caso, por ejemplo, en una antena de $3\lambda/4$

Si despreciamos las pérdidas de la antena, podemos suponer que la potencia que se entrega en los terminales de la antena es la que se radia

$$\frac{I_1^2}{2} R_1 = \frac{I_0^2}{2} R_0 \quad \Rightarrow \quad R_1 = \frac{I_0^2}{I_1^2} R_0$$

$$I_1 = \cos(\beta x) I_0 \quad \Rightarrow \quad R_1 = \frac{R_0}{\cos^2(\beta x)}$$

En $x = 0$ tenemos $R_1 = R_0$

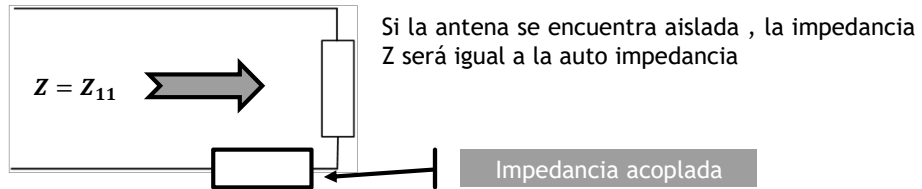
171



Impedancias Mutuas

Impedancias mutuas y propias

La impedancia presentada por una antena a la línea de transmisión puede representarse por una red de dos terminales, con una impedancia Z .



Pero de no ser así deben considerarse las impedancias mutuas y las corrientes que fluyen por ellas.

172



Impedancias Mutuas

Teorema de reciprocidad generalizado de Carson

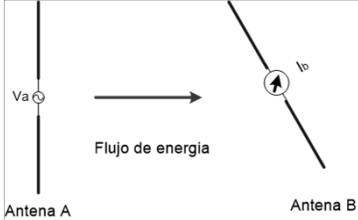
*Si una fem es aplicada a los terminales de una antena A y la corriente medida en los terminales de otra antena B, entonces una corriente igual (en amplitud y fase) será medida en los terminales de la antena A si la misma fem se aplica en los terminales de la antena B.
(medio lineal, pasivo e isotrópico).*

Un consecuencia de esto es que los diagramas de recepción y transmisión de una antena son iguales

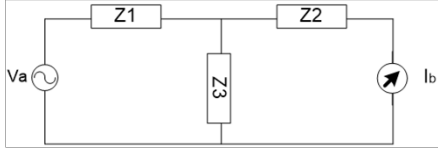
173


Impedancias Mutuas

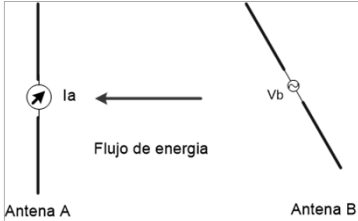
Teorema de reciprocidad generalizado de Carson



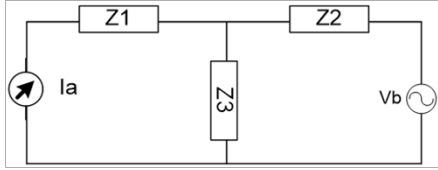
Antena A Antena B



Si $V_a = V_b$ entonces $I_a = I_b$



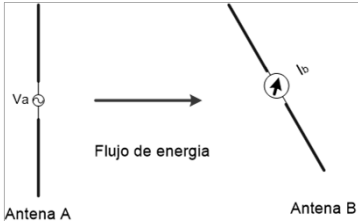
Antena A Antena B



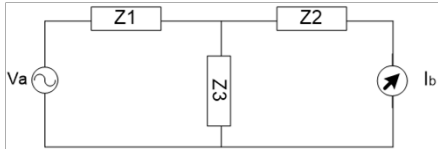
174


Impedancias Mutuas

Teorema de reciprocidad generalizado de Carson



Antena A Antena B



Aparece una impedancia de transferencia, definida como

$$\frac{V_a}{I_b} = Z_{ab} = Z_{ba} = \frac{V_b}{I_a}$$

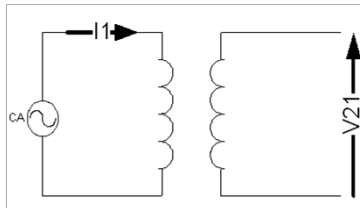
Las antenas son afectadas por el entorno!

175



Impedancias Mutuas

Analicemos ahora las *impedancias mutuas* de antenas lineales acopladas, para ello consideremos el circuito acoplado y la definición de impedancia mutua



La impedancia mutua se define como la razón negativa de la fem inducida en el circuito 2 por la corriente que fluye en el circuito 1, con el circuito 2 abierto

$$Z_{21} = -\frac{V_{21}}{I_1}$$

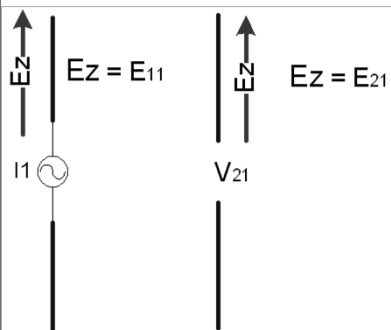
Esta Z no es igual a la impedancia de transferencia planteada por el teorema de reciprocidad que se define en lazo cerrado

176



Impedancias Mutuas

La impedancia mutua será:



$$Z_{21} = -\frac{V_{21}}{I_1}$$

Si movemos el generador a los terminales de la antena 2 por el teorema de transferencia tenemos

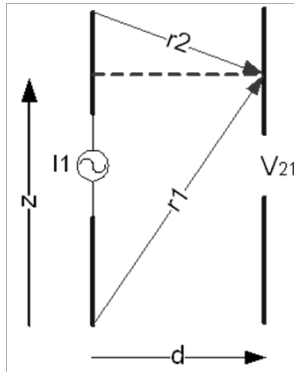
$$-\frac{V_{21}}{I_1} = Z_{21} = Z_{12} = -\frac{V_{12}}{I_2}$$

177



Impedancias Mutuas

Para antenas lineales delgadas con distribución de corriente sinusoidal tenemos que



$$V_{21}(z) = \int_0^L E_{21}(z) \cdot \sin(\beta \cdot z) dz$$

$$Z_{21} = \frac{-1}{I_1} \int_0^L E_{21}(z) \cdot \sin(\beta \cdot z) dz$$

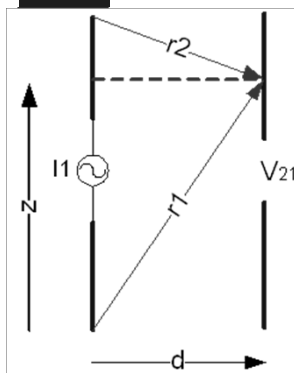
Para lo cual necesitamos conocer el campo E

178



Impedancias Mutuas

Para el caso de dos antenas lineales delgadas iguales de $\lambda/2$ separadas una distancia «d» tenemos que evaluar el campo E a partir de las expresiones del potencial eléctrico V y el vector potencial magnético A



$$E = -\nabla V - j\omega A$$

$$r_1(z) = \sqrt{d^2 + z^2} \quad r_2(z) = \sqrt{d^2 + (L - z)^2}$$

$$Z_{21} = j30 \int_0^L \left(\frac{e^{-j\beta \cdot r_1(z)}}{r_1(z)} + \frac{e^{-j\beta \cdot r_2(z)}}{r_2(z)} \right) E_{21} \cdot \sin(\beta \cdot z) dz$$

Integral que se puede resolver a partir de las funciones Seno y Coseno integral

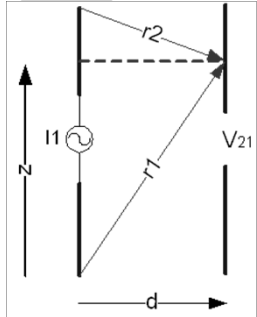
179



Impedancias Mutuas

Para antenas lineales delgadas tenemos que

$$R_{21}(d) = 30 \left[2\text{Ci}(\beta \cdot d) - \text{Ci}(\beta \cdot (\sqrt{d^2 + L^2} + L)) - \text{Ci}(\beta \cdot (\sqrt{d^2 + L^2} - L)) \right]$$



Esta es la resistencia mutua en el caso de antenas lineales paralelas y múltiplos impares de $\lambda/2$.

Se puede utilizar el mismo método para evaluar la autoimpedancia Z_{11} , lo que coincide con el valor de impedancia de radiación deducida para los dipolos.

En el cálculo de arreglos es importante la relación $R_{11}-R_{21}$

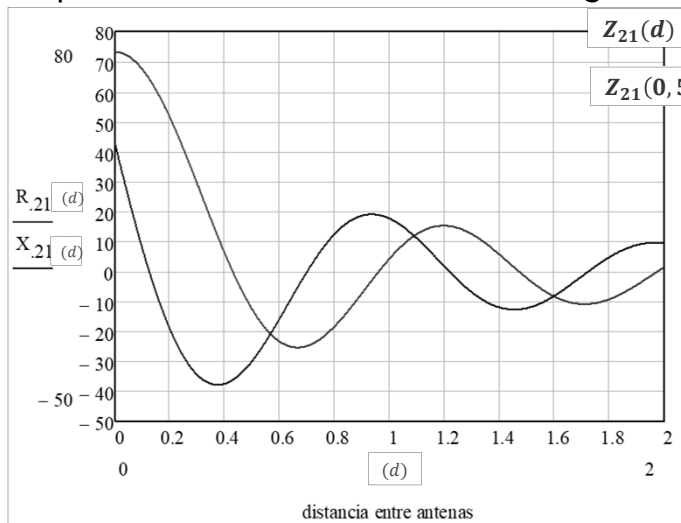
$$X_{21}(d) = -30 \left[2\text{Si}(\beta \cdot d) - \text{Si}(\beta \cdot (\sqrt{d^2 + L^2} + L)) - \text{Si}(\beta \cdot (\sqrt{d^2 + L^2} - L)) \right]$$

180

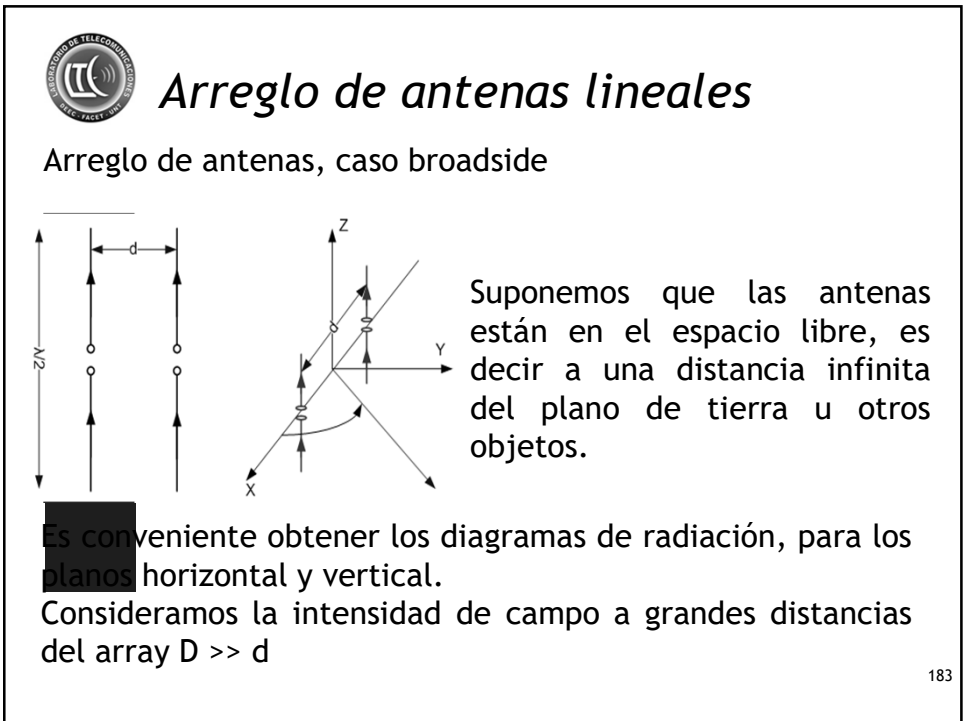
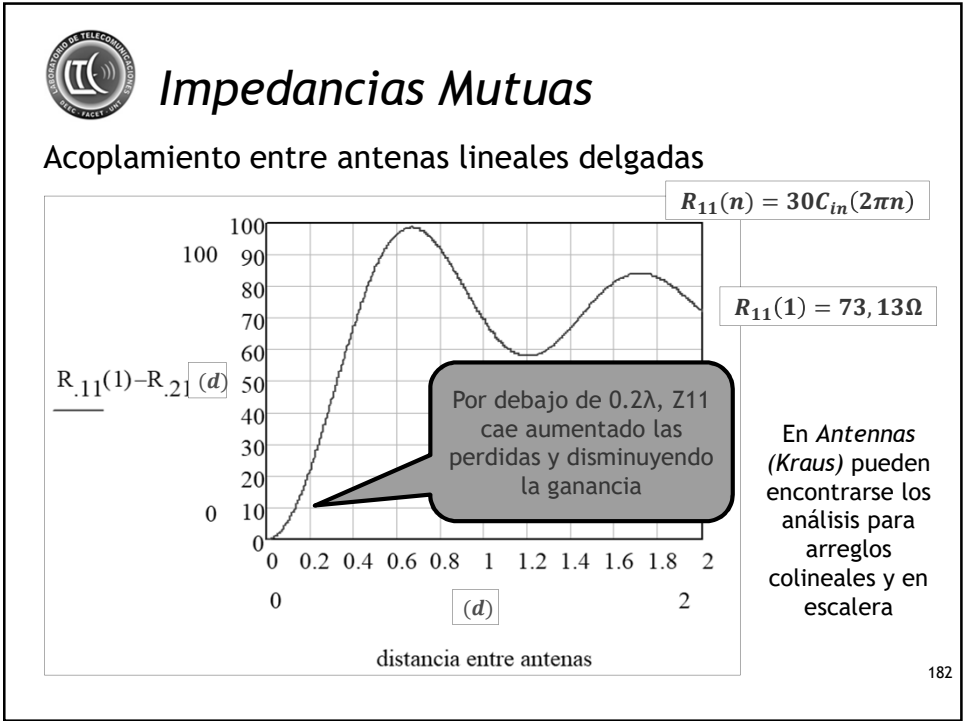


Impedancias Mutuas

Acoplamiento entre antenas lineales delgadas



181

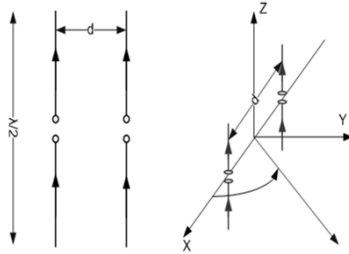




Arreglo de antenas lineales

Arreglo de antenas, caso broadside

En el plano XY la intensidad de campo E será proporcional a la corriente que circula en el elemento (estamos hablando de una sola fuente no del conjunto) e independiente del ángulo Φ



$$E_1(\varphi) = kI_1 \quad k \text{ incluye la distancia } D$$

$$d_r = \frac{2\pi}{\lambda} d \quad \text{y haciendo} \quad E_1 = E_0$$

$$E_{XY}(\varphi) = ? \quad E_{XY}(\varphi) = 2E_0 \cos\left(\frac{d_r}{2} \cos(\varphi)\right)$$

$$E_{XY}(\varphi) = 2kI_1 \cos\left(\frac{d_r}{2} \cos(\varphi)\right) \quad \text{para } d = \frac{\lambda}{2}$$

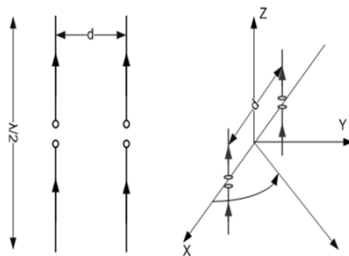
184



Arreglo de antenas lineales

Arreglo de antenas, caso broadside

En el plano ZX o ZY tenemos que el campo producido por una antena lineal delgada será:



$$E_1(\theta) = kI_1 \frac{\cos\left(\frac{\pi}{2} \cos(\theta)\right)}{\sin(\theta)}$$

considerando el arreglo tendremos

$$E_{ZX}(\theta) = ? \quad \text{y} \quad E_{ZY}(\theta) = ?$$

$$E_{ZY}(\theta) = 2E_1(\theta)$$

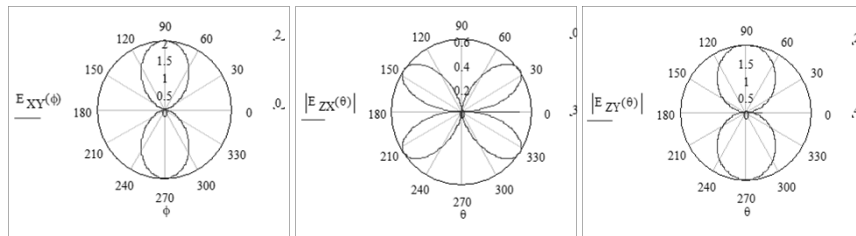
$$E_{ZX}(\theta) = 2kI_1 \frac{\cos\left(\frac{\pi}{2} \cos(\theta)\right)}{\sin(\theta)} \cos\left(\frac{d_r}{2} \sin(\theta)\right)$$

185



Arreglo de antenas lineales

Arreglo de antenas: caso broadside

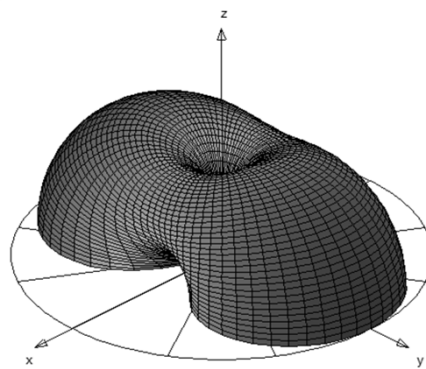


¿Y el patrón 3D?

186



Arreglo de antenas lineales



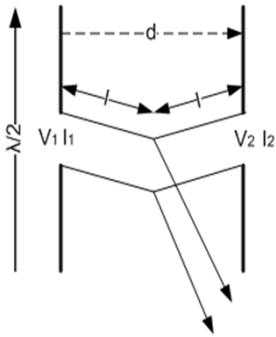
¿Qué tipo de arreglo tenemos?

187



Arreglo de antenas lineales

Impedancia del punto de excitación, escribamos las ecuaciones para V1 y V2



$$V_1 = I_1 \cdot Z_{11} + I_2 \cdot Z_{12} \quad V_2 = I_2 \cdot Z_{22} + I_1 \cdot Z_{21}$$

$I_1 =$ corriente del elemento 1 y Z_{11} su autoimpedancia

$$I_1 = I_2 \text{ y están en fase}$$

$$V_1 = I_1 \cdot (Z_{11} + Z_{12}) \quad Z_1 = \frac{V_1}{I_1} = Z_{11} + Z_{12}$$

$$V_2 = I_2 \cdot (Z_{22} + Z_{21}) \quad Z_2 = \frac{V_2}{I_2} = Z_{22} + Z_{21}$$

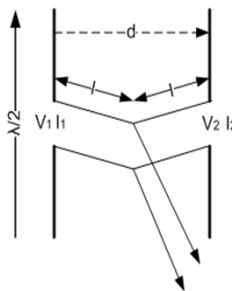
Como los elementos son idénticos $Z_{11} = Z_{22}$ y en consecuencia $Z_1 = Z_2$

188



Arreglo de antenas lineales

En función de lo anterior las tensiones V1 y V2 debe ser iguales y estar en fase, entonces podemos escribir



$$\text{para } d = \frac{\lambda}{2} \text{ y } L = \frac{\lambda}{2} \\ Z_{11} = 30(\text{Cin}(2\pi) + j\text{Si}(2\pi)) = 73,13 + j42,54 \quad Z_{21} = R_{21}(0,5) + jX_{21}(0,5)$$

$$Z_1 = Z_{11} + Z_{12} = 60,598 + j12,616 \quad \Omega$$

Si se ajusta la línea con una reactancia capacitiva en serie, la impedancia que presenta cada elemento es una resistencia pura de 60 ohm.

¿Cómo podemos conectar las antenas?

Haciendo $l = \lambda/2$, tenemos que la impedancia de entrada en el punto de excitación será 30Ω ¿Por qué?.

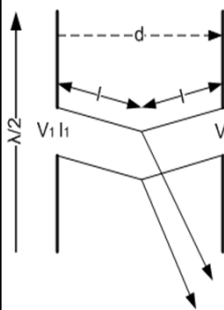
Este valor puede ser algo bajo para ser adaptado por una línea de transmisión, por lo cual puede resultar conveniente utilizar $l = \lambda/4$ ¿Por qué?

189



Arreglo de antenas lineales

Estimación de la ganancia del arreglo



Se propone ahora un método alternativo para el cálculo de la ganancia, basado en las impedancias propias y mutuas, al método de integración de los patrones de radiación.

Este resulta un poco mas sencillo de aplicar.

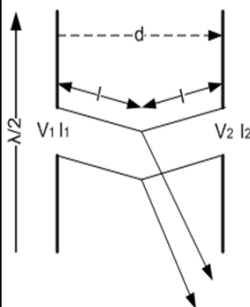
La potencia P de entrada al arreglo se considera constante

190



Arreglo de antenas lineales

Estimación de la ganancia del arreglo



$$P_1 = I_1^2(R_{11} + R_{12}) \text{ Potencia en el elemento 1}$$

$$P_2 = I_2^2(R_{22} + R_{12}) \text{ Potencia en el elemento 2}$$

$$R_{11} = R_{22} \quad I_1 = I_2 \text{ Por ser iguales las antenas (I en RMS)}$$

$$P = 2I_1^2(R_{11} + R_{12}) \text{ Potencia de entrada al arreglo } P_1 + P_2$$

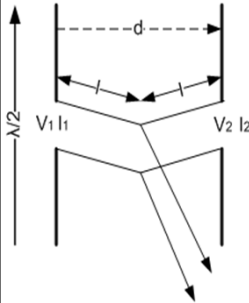
$$I_1 = \sqrt{\frac{P}{2(R_{11} + R_{12})}}$$

191



Arreglo de antenas lineales

Calculamos la ganancia con respecto a uno de los elementos que componen el arreglo, (en nuestro caso la referencia es un elemento de $\lambda/2$).



Si no hay pérdidas por calor la potencia y la corriente en el elemento serán:

$$I_0 = \sqrt{\frac{P}{R_{00}}}$$

Ambos elementos orientados en la misma dirección y con igual potencia P .

Aquí será conveniente analizar la ganancia en dos planos el horizontal y el vertical.

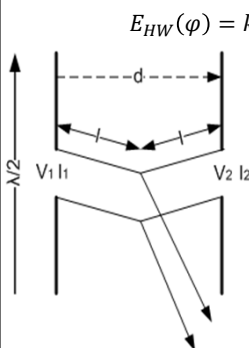
$$E_{HW}(\varphi) = k \cdot I_0 \text{ intensidad de campo referida al dipolo de } \lambda/2$$

$$E_{HW}(\varphi) = k \cdot \sqrt{\frac{P}{R_{00}}} \text{ intensidad de campo de un elemento}$$

192



Arreglo de antenas lineales



$$E_{HW}(\varphi) = k \cdot I_0 \text{ intensidad de campo referida al dipolo de } \lambda/2$$

$$E_{HW}(\varphi) = k \cdot \sqrt{\frac{P}{R_{00}}} \text{ intensidad de campo de un elemento}$$

$$E(\varphi) = 2k \cdot I_1 \cos\left(\frac{d_r}{2} \cos(\varphi)\right)$$

$$E(\varphi) = k \cdot \sqrt{\frac{2P}{(R_{11} + R_{12})}} \cos\left(\frac{d_r}{2} \cos(\varphi)\right)$$

$$G(\varphi) = \frac{E(\varphi)}{E_{HW}(\varphi)}$$

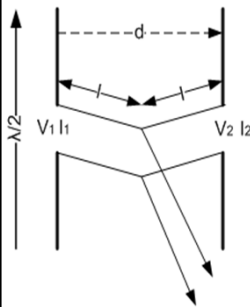
$$G(\varphi) = \sqrt{\frac{2R_{00}}{(R_{11} + R_{12})}} \cos\left(\frac{d_r}{2} \cos(\varphi)\right)$$

193



Arreglo de antenas lineales

Estimación de la ganancia del arreglo



Para el caso de $L = \frac{\lambda}{2}$ y lo mismo en el espaciado, tenemos

$$d_r = \frac{2\pi}{\lambda} \cdot \frac{\lambda}{2} = \pi \quad R_{11} = 73 \Omega \quad R_{00} = R_{11}$$

$$R_{21}(d) = 30 \left[2\text{Ci}(\beta \cdot d) - \text{Ci}(\beta \cdot (\sqrt{d^2 + L^2} + L)) - \text{Ci}(\beta \cdot (\sqrt{d^2 + L^2} - L)) \right] \quad d = 0,5$$

$$R_{12}(0,5) = -12,532 \Omega \quad \rho \text{ separacion en longitudes de onda}$$

$$\sqrt{\frac{2R_{00}}{R_{11} + R_{12}}} = ?$$

$$G(\varphi) = 1,56 \cos\left(\frac{\pi}{2} \cos(\varphi)\right)$$

194

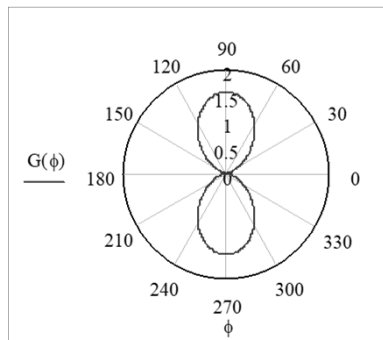


Arreglo de antenas lineales

Estimación de la ganancia del arreglo en el plano Horizontal o XY

$$G(\varphi) = 1,56 \cos\left(\frac{\pi}{2} \cos(\varphi)\right)$$

¿Cuál será la ganancia?



Ganancia = 1,56 para 90°

¿tipo de arreglo?

195



Arreglo de antenas lineales

Estimación de la ganancia del arreglo en el plano Vertical o ZY

En el plano ZY el dipolo tiene el siguiente patrón:

$$E_{HW}(\theta) = k \cdot I_0 \frac{\cos\left(\frac{\pi}{2} \cos(\theta)\right)}{\sin(\theta)} \quad E_{HW}(\theta) = k \cdot \sqrt{\frac{P}{R_{00}}} \frac{\cos\left(\frac{\pi}{2} \cos(\theta)\right)}{\sin(\theta)}$$

En el plano ZY vemos los dos elementos en el origen así tenemos

$$E(\theta) = 2E_{HW}(\theta) \quad E(\theta) = k \cdot \sqrt{\frac{2P}{R_{11} + R_{12}}} \frac{\cos\left(\frac{\pi}{2} \cos(\theta)\right)}{\sin(\theta)}$$

$$G(\theta) = \sqrt{\frac{2R_{00}}{R_{11} + R_{12}}}$$

En el plano ZY la ganancia es independiente del ángulo θ , igual a 1,56 o 3,86 db

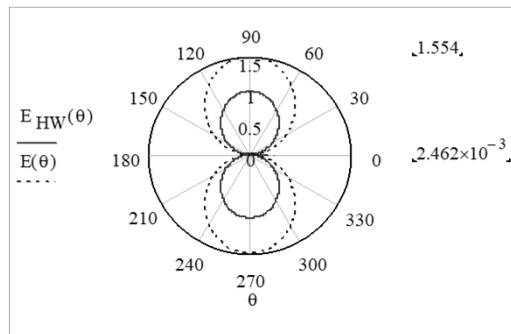
196



Arreglo de antenas lineales

Estimación de la ganancia del arreglo en el plano Vertical o ZY

$$G(\theta) = \sqrt{\frac{2R_{00}}{R_{11} + R_{12}}} \quad \text{En el plano ZY la ganancia es independiente del ángulo } \theta, \text{ igual a 1,56 o 3,86 db}$$



197

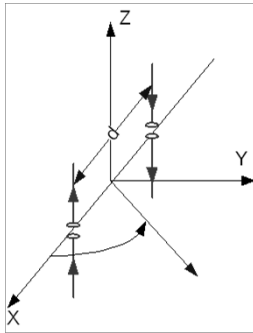


Arreglo de antenas lineales

Arreglo de dos antenas lineales de $\lambda/2$ caso Endfire

La única diferencia con el caso anterior analizado es que la corriente en uno de los elementos esta en contrafase.

El análisis se dividirá en tres etapas como en el caso anterior: diagramas de campo, impedancia de excitación y ganancia



$E_1(\varphi) = k \cdot I_1$ radiacion de un elemento en el plano XY

$$E_{XY}(\varphi) = 2E_0 \cdot \text{sen}\left(\frac{d_r}{2} \cos(\varphi)\right)$$

radiacion de dos elementos isotropicos (se omitio j)

$E_0(\varphi) = k \cdot I_1$ Principio de superposicion

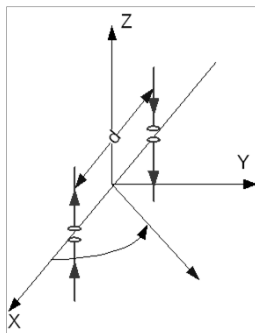
$$E_{XY}(\varphi) = 2kI_1 \cdot \text{sen}\left(\frac{d_r}{2} \cos(\varphi)\right)$$

198



Arreglo de antenas lineales

Arreglo de dos antenas lineales de $\lambda/2$ caso Endfire



$$E_1(\theta) = k \cdot I_1 \frac{\cos\left(\frac{\pi}{2} \cos(\theta)\right)}{\sin(\theta)}$$

radiacion de un elemento en el plano ZX

$$E_{ZX}(\theta) = 2E_0 \cdot \text{sen}\left(\frac{d_r}{2} \cos(\theta)\right)$$

radiacion de dos elementos isotropicos (se omitio j)

$E_0(\theta) = E_1(\theta)$ Principio de superposicion

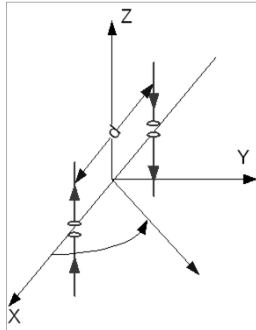
$$E_{ZX}(\theta) = 2kI_1 \cdot \text{sen}\left(\frac{d_r}{2} \cos(\theta)\right) \frac{\cos\left(\frac{\pi}{2} \cos(\theta)\right)}{\sin(\theta)} = 2kI_1 \cdot \text{sen}\left(\frac{\pi}{2} \cos(\theta)\right) \frac{\cos\left(\frac{\pi}{2} \cos(\theta)\right)}{\sin(\theta)}$$

199



Arreglo de antenas lineales

Arreglo de dos antenas lineales de $\lambda/2$ caso Endfire



En el plano ZY tendremos:

$$E_{ZY}(\theta) = E_1(\theta) - E_1(\theta) = 0$$

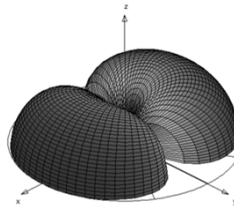
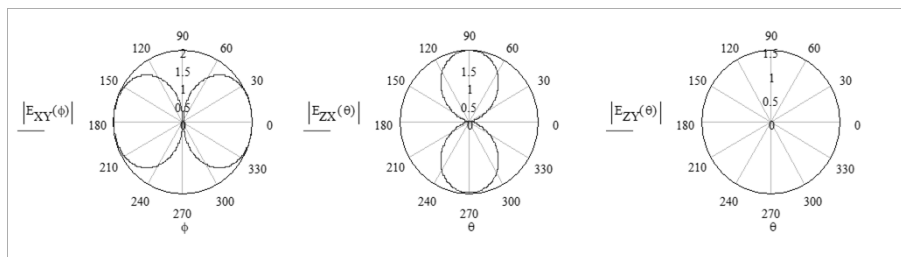
porque están en contrafase

200



Arreglo de antenas lineales

Arreglo de dos antenas lineales de $\lambda/2$ caso Endfire



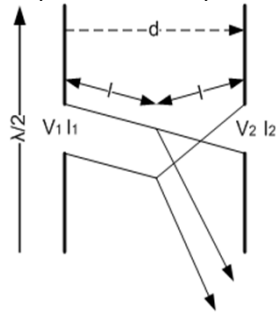
201



Arreglo de antenas lineales

Arreglo de dos antenas lineales de $\lambda/2$ caso Endfire

Impedancia en el punto de excitación



$$V_1 = I_1 \cdot Z_{11} + I_2 \cdot Z_{12}$$

$$V_2 = I_2 \cdot Z_{22} + I_1 \cdot Z_{21}$$

Como las corrientes estan en contrafase tendremos

$$I_1 = -I_2$$

$$V_1 = I_1 \cdot (Z_{11} - Z_{12})$$

$$Z_1 = \frac{V_1}{I_1}$$

$$Z_1 = Z_{11} - Z_{12}$$

$$V_2 = I_2 \cdot (Z_{22} - Z_{21})$$

$$Z_2 = \frac{V_2}{I_2}$$

$$Z_2 = Z_{22} - Z_{21}$$

Como los elementos son identicos tenemos que $Z_1 = Z_2$

202



Arreglo de antenas lineales

Arreglo de dos antenas lineales de $\lambda/2$ caso Endfire

Impedancia en el punto de excitación

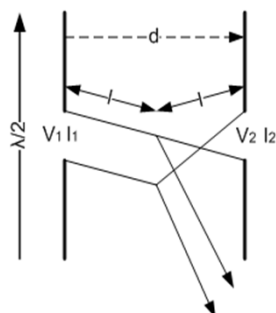
$$L = d = \frac{\lambda}{2} \quad Z_{11} = 30(\text{Cin}(2\pi) + j\text{Si}(2\pi)) \quad Z_{21} = R_{21}(0,5) + jX_{21}(0,5)$$

$$Z_1 = Z_{11} - Z_{12} = 85,662 + j72,473 \Omega$$

¿Como podemos tener una impedancia real?

¿Si las líneas de unión del arreglo son de $\frac{\lambda}{2}$ cuanto vale la impedancia de entrada?

¿Cómo puede hacerse mas alta?



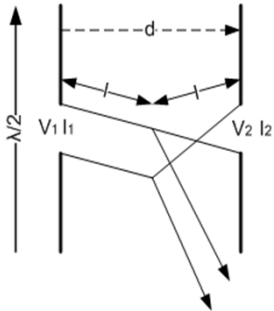
203



Arreglo de antenas lineales

Arreglo de dos antenas lineales de $\lambda/2$ caso Endfire

Ganancia del arreglo: Según el mismo planteo anterior



$$P_1 = I_1^2 (R_{11} - R_{12}) \text{ Potencia en el elemento 1}$$

$$P_2 = I_2^2 (R_{22} - R_{12}) \text{ Potencia en el elemento 2}$$

$$R_{11} = R_{22} \quad I_1 = -I_2 \text{ Por ser iguales las antenas (I RMS)}$$

$$P = 2I_1^2 (R_{11} - R_{12}) \text{ Potencia de entrada al arreglo } P_1 + P_2$$

$$I_1 = \sqrt{\frac{P}{2(R_{11} - R_{12})}}$$

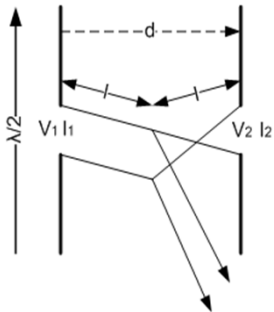
204



Arreglo de antenas lineales

Arreglo de dos antenas lineales de $\lambda/2$ caso Endfire

Ganancia del arreglo



$$I_0 = \sqrt{\frac{P}{R_{00}}}$$

$$E_{HW}(\varphi) = kI_0 = k \sqrt{\frac{P}{R_{00}}} \text{ Intensidad referida al dipolo}$$

$$E(\varphi) = 2kI_1 \cdot \text{sen}\left(\frac{d_r}{2} \cos(\varphi)\right) \quad I_1 = \sqrt{\frac{P}{2(R_{11} - R_{12})}}$$

$$G(\varphi) = \frac{E(\varphi)}{E_{HW}(\varphi)}$$

$$E(\varphi) = k \sqrt{\frac{2P}{(R_{11} - R_{12})}} \cdot \text{sen}\left(\frac{d_r}{2} \cos(\varphi)\right)$$

$$G(\varphi) = \sqrt{\frac{2R_{00}}{(R_{11} - R_{12})}} \text{sen}\left(\frac{d_r}{2} \cos(\varphi)\right)$$

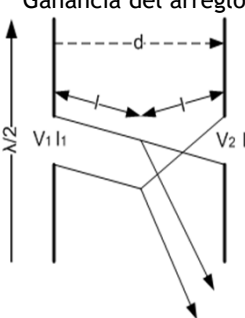
205



Arreglo de antenas lineales

Arreglo de dos antenas lineales de $\lambda/2$ caso Endfire

Ganancia del arreglo



Para el caso de $L = \frac{\lambda}{2}$ y lo mismo en el espaciado, tenemos

$$d_r = \frac{2\pi}{\lambda} \cdot \frac{\lambda}{2} = \pi \quad R_{11} = 73 \Omega \quad R_{00} = R_{11}$$

$$R_{21}(d) = 30 \left[2Ci(\beta \cdot d) - Ci(\beta \cdot (\sqrt{d^2 + L^2} + L)) - Ci(\beta \cdot (\sqrt{d^2 + L^2} - L)) \right] \quad d = 0,5$$

$$R_{12}(0,5) = -12,532 \Omega \quad \rho \text{ separacion en longitudes de onda}$$

$\sqrt{\frac{2R_{00}}{R_{11} - R_{12}}} = ?$

$G(\varphi) = 1,31 \text{ sen} \left(\frac{\pi}{2} \cos(\varphi) \right)$

206



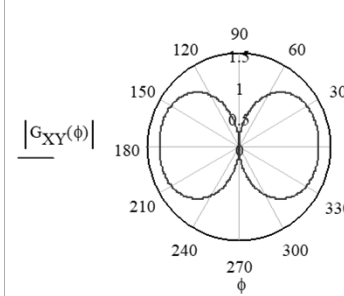
Arreglo de antenas lineales

Arreglo de dos antenas lineales de $\lambda/2$ caso Endfire

Ganancia del arreglo

$G(\varphi) = 1,31 \text{ sen} \left(\frac{\pi}{2} \cos(\varphi) \right)$

$G_{abd}!$



$G_{XY}(0) = 1.31 \quad 20 \cdot \log(G_{XY}(0)) = 2.345$

la ganancia es de 2.3 db con respecto al dipolo o bien, sumando la ganancia de dipolo con respecto a la isotropica

$$G_{HW} := \frac{4 \cdot \pi}{\int_0^{2\pi} \int_0^{\pi} \left(\frac{\cos\left(\frac{\pi}{2} \cdot \cos(\theta)\right)}{\sin(\theta)} \right)^2 \cdot \sin(\theta) \, d\theta \, d\phi}$$

$10 \cdot \log(G_{HW}) = 2.151 \quad G_i := 10 \cdot \log(G_{HW}) + 20 \cdot \log(G_{XY}(0)) \quad G_i = 4.496$

$G_{abi}!$

207



Arreglo de antenas lineales

Arreglo de dos antenas lineales de $\lambda/2$ caso Endfire

Ganancia del arreglo en el plano ZX.

Recordar que en el caso anterior habíamos analizado el plano ZY donde los radiadores aparecen superpuestos, pero en este caso al estar en contrafase la radiación en ese plano es nula.

Consideremos en primer término la expresión de la intensidad de campo producida por un solo elemento en ese plano

$$E_{HW}(\theta) = kI_0 \cdot \frac{\cos\left(\frac{\pi}{2} \cos(\theta)\right)}{\sin(\theta)} = k \sqrt{\frac{P}{R_{00}}} \cdot \frac{\cos\left(\frac{\pi}{2} \cos(\theta)\right)}{\sin(\theta)}$$

208



Arreglo de antenas lineales

Arreglo de dos antenas lineales de $\lambda/2$ caso Endfire

Ganancia del arreglo en el plano ZX.

Ahora consideremos la expresión de dos radiadores isotropicos en contrafase y apliquemos superposición

$$E_i(\theta) = 2j \cdot \sin\left(\frac{d_r}{2} \sin(\theta)\right) \quad E_{ZX}(\theta) = 2j \cdot \sin\left(\frac{d_r}{2} \sin(\theta)\right) kI_1 \cdot \frac{\cos\left(\frac{\pi}{2} \cos(\theta)\right)}{\sin(\theta)}$$

$$\text{como } I_1 = \sqrt{\frac{P}{2(R_{11} - R_{12})}}$$

$$E_{ZX}(\theta) = 2jk \cdot \sqrt{\frac{P}{2(R_{11} - R_{12})}} \sin\left(\frac{d_r}{2} \sin(\theta)\right) \cdot \frac{\cos\left(\frac{\pi}{2} \cos(\theta)\right)}{\sin(\theta)}$$

209



Arreglo de antenas lineales

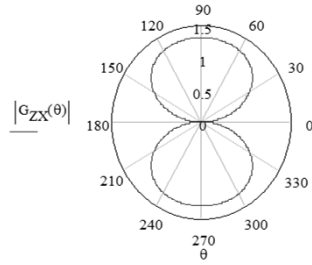
Arreglo de dos antenas lineales de $\lambda/2$ caso Endfire

Ganancia del arreglo en el plano ZX.

haciendo el cociente y particularizando para $d = \lambda/2$

$$G_{ZX}(\theta) := \frac{E_{ZX}(\theta)}{E_{HW}(\theta)}$$

$$G_{ZX}(\theta) := \sqrt{\frac{2 \cdot R_{00}}{R_{11} - R_{12}(0.5)}} \cdot \sin\left(\frac{\pi}{2} \cdot \sin(\theta)\right)$$



$$\sqrt{\frac{2 \cdot R_{00}}{R_{11} - R_{12}(0.5)}} = 1.307$$

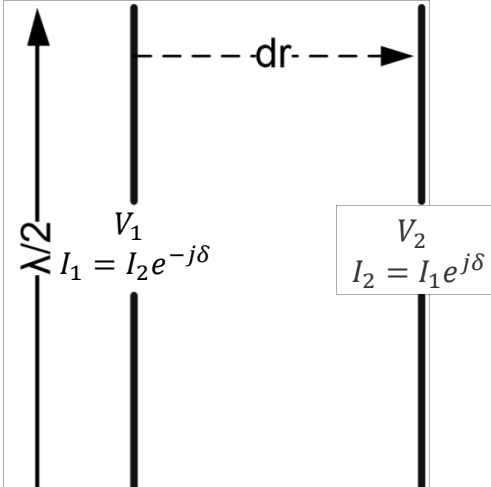
$$G_{ZX}\left(\frac{\pi}{2}\right) = 1.307$$

210



Arreglo de antenas lineales

Arreglo de antenas lineales con misma intensidad y fase arbitraria



$$\psi(\phi) = d_r \cos(\phi) + \delta$$

I_1 Atrasa en fase con respecto a I_2 .

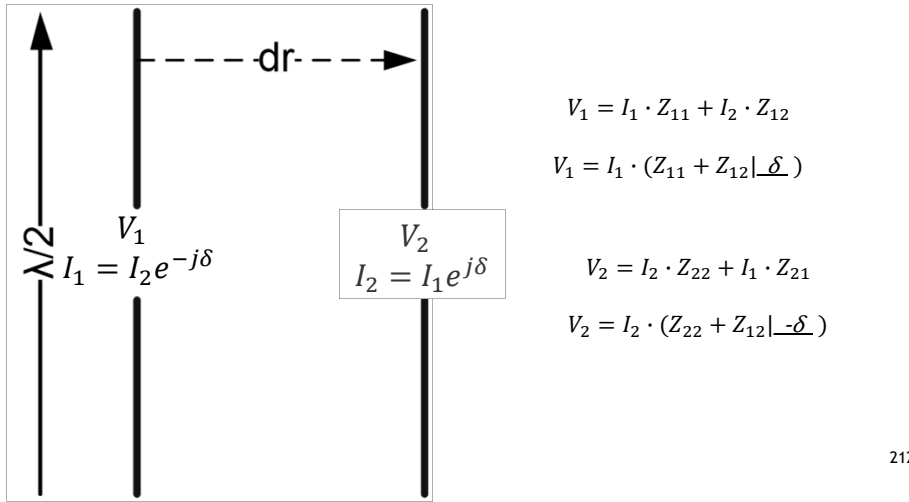
I_2 Adelanta en fase con respecto a I_1 .

211



Arreglo de antenas lineales

Arreglo de antenas lineales con misma intensidad y fase arbitraria



Arreglo de antenas lineales

Arreglo de antenas lineales con misma intensidad y fase arbitraria

Con igual razonamiento llegamos a:

$$G_{ZX}(\theta) = \sqrt{\frac{2R_{11}}{R_{11} + R_{12} \cos \delta}} \cos \frac{d_r \sin(\theta) + \delta}{2}$$

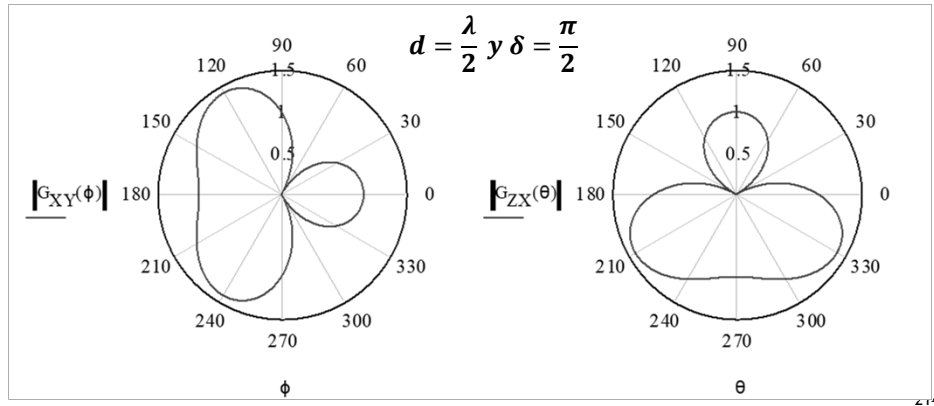
$$G_{XY}(\phi) = \sqrt{\frac{2R_{11}}{R_{11} + R_{12} \cos \delta}} \cos \frac{d_r \cos(\phi) + \delta}{2}$$

213



Arreglo de antenas lineales

Arreglo de antenas lineales con misma intensidad y fase arbitraria



Antena sobre el plano de tierra

Hasta ahora supusimos las antenas en el espacio libre, infinitamente lejos de la tierra

Esto es una suposición razonable en altas frecuencias

Pero la mayoría de las antenas se verán afectadas por la presencia de la tierra

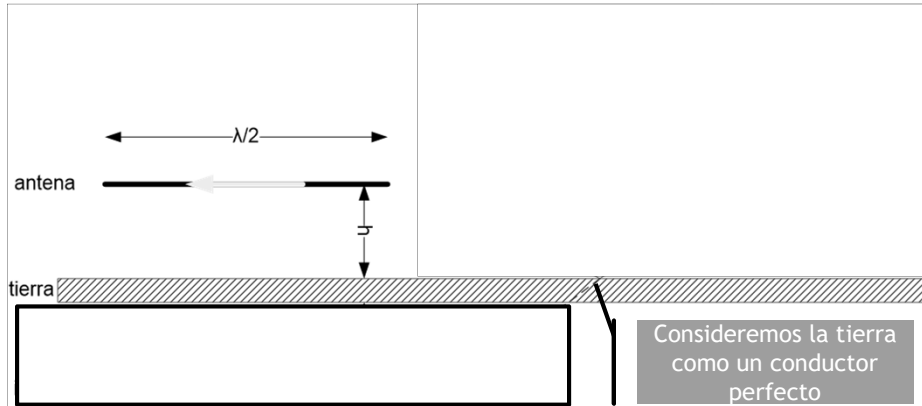
Esto afectará el patrón de radiación...

...y también las relaciones de impedancia



Antena sobre el plano de tierra

Consideremos el caso de una antena horizontal sobre el plano de tierra



Considerando la antena imagen, el problema se reduce a un arreglo endfire

216

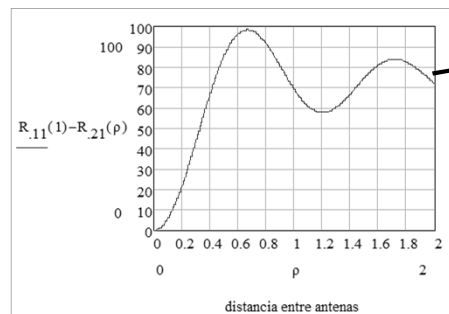


Antena sobre el plano de tierra

Si la antena es excitada con una potencia P , la misma potencia se aplica a la antena imagen \rightarrow Potencia total será $2P$

$$V_1 = I_1 Z_{11} + I_2 Z_m \quad I_1 = -I_2$$

$$V_1 = I_1 (Z_{11} - Z_m) \quad Z_1 = Z_{11} - Z_m$$



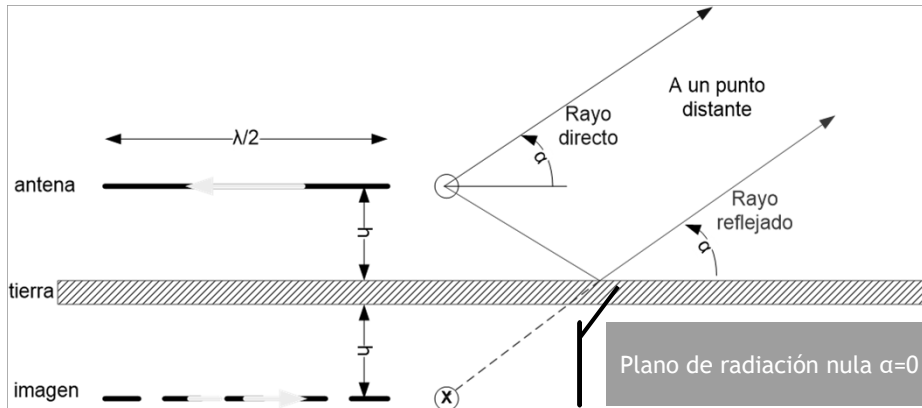
Si h es grande

217



Antena sobre el plano de tierra

La antena y su imagen tienen corrientes opuestas en fase



Si $h < \lambda/4$ el máximo está en $\alpha = 90^\circ$
 Si $h > \lambda/4$ el máximo estará $0 < \alpha < 90^\circ$

218



Antena sobre el plano de tierra

Analicemos la ganancia de una antena sobre el plano de tierra con respecto a una en el espacio libre

$$E_{ZX}(\theta) = 2jE_0 \cdot \sin\left(\frac{d_r}{2} \cos(\theta)\right) \text{ arreglo endfire}$$

$$\text{Como } \theta = \frac{\pi}{2} - \alpha \quad E_{ZX}(\alpha) = 2jE_0 \cdot \sin\left(\frac{d_r}{2} \sin(\alpha)\right)$$

$$G_{ZX}(\alpha) = \sqrt{\frac{R_{11} + R_{1L}}{R_{11} + R_{1L} - R_m(\rho)}} 2 \cdot \sin(h_r \sin(\alpha))$$

R_{1L} resistencia de pérdidas

$R_m(\rho)$ resistencia mutua entre el dipolo y la imagen para una distancia $2h$

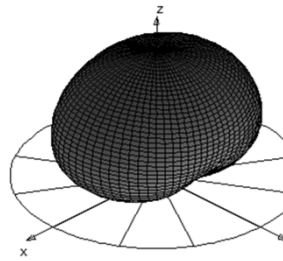
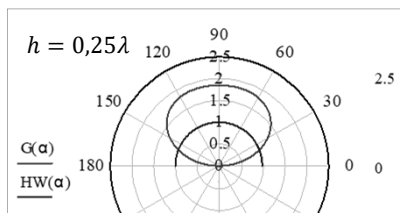
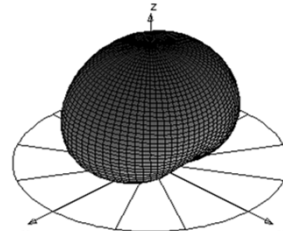
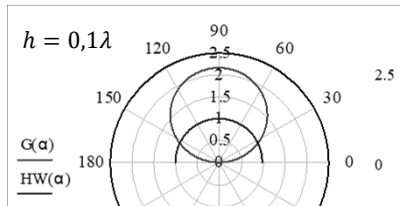
Se puede ver que la presencia del plano de tierra puede incrementar la ganancia hasta en 6 db o mas, actuando este plano como un reflector

219



Antena sobre el plano de tierra

Analicemos la ganancia en el plano vertical de una antena sobre el plano de tierra con respecto a una en el espacio libre

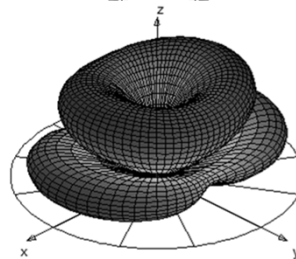
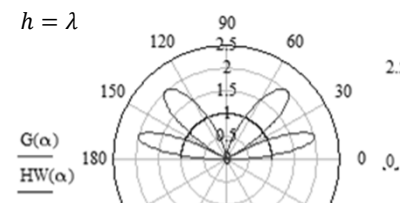
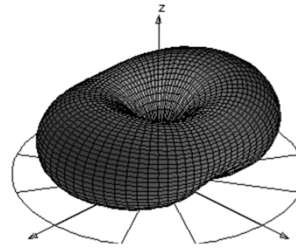
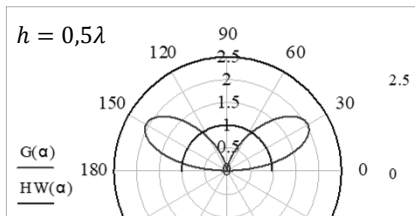


220



Antena sobre el plano de tierra

Analicemos la ganancia en el plano vertical de una antena sobre el plano de tierra con respecto a una en el espacio libre



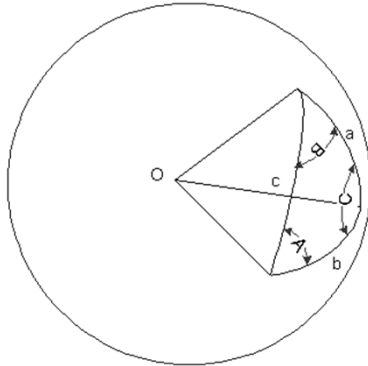
221



Antena sobre el plano de tierra

Analicemos la ganancia de una antena sobre el plano de tierra con respecto al plano azimutal

Para esto introducimos el concepto de Triangulo esférico



Los ángulos A, B y C son opuestos a los lados a, b, y c

a, b, y c, son los arcos medidos por los ángulos subtendidos al centro de la esfera O

$$\cos a = \cos b \cos c + \sin b \sin c \cos A$$

$$\sin a = \sqrt{1 - \cos a^2}$$

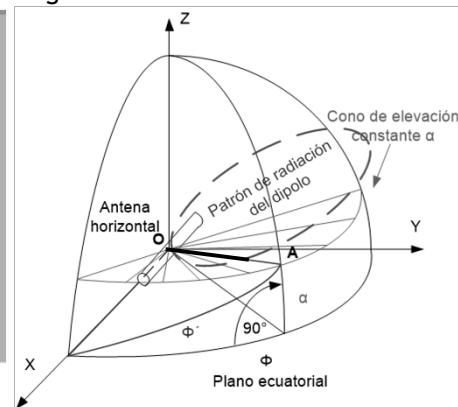
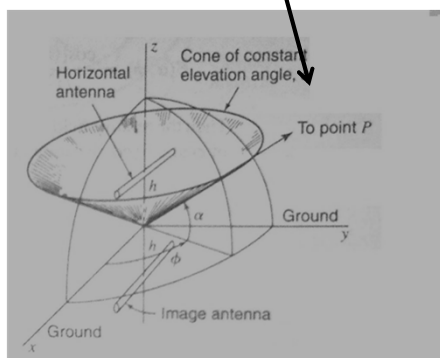
222



Antena sobre el plano de tierra

Esto formara un cono alrededor del dipolo

Consideremos la intersección del cono con el diagrama de radiación



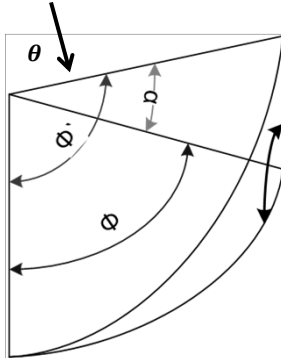
El segmento OA representa la intensidad de campo E_{223}



Antena sobre el plano de tierra

Tomado en cuenta que el dipolo esta horizontal y $L = \frac{\lambda}{2}$

$$E_{\theta}(\theta) = \frac{j60[I_0]}{r} \left(\frac{\cos\left(\frac{\beta L \cos(\theta)}{2}\right) - \cos\left(\frac{\beta L}{2}\right)}{\text{sen}(\theta)} \right) \quad \cos \phi' = \cos \phi \cos \alpha + \text{sen } \phi \text{ sen } \alpha \cos \frac{\pi}{2}$$



$$\cos \phi' = \cos \theta \cos \alpha$$

$$\text{sen } \theta = \sqrt{1 - \cos \phi'^2}$$

$$E_{HW}(\alpha, \phi) = \frac{\cos\left(\frac{\pi}{2} \cos \phi \cos \alpha\right)}{\sqrt{1 - (\cos \phi \cos \alpha)^2}}$$

224



Antena sobre el plano de tierra

Consideremos ahora la antena sobre el plano de tierra (antena imagen)

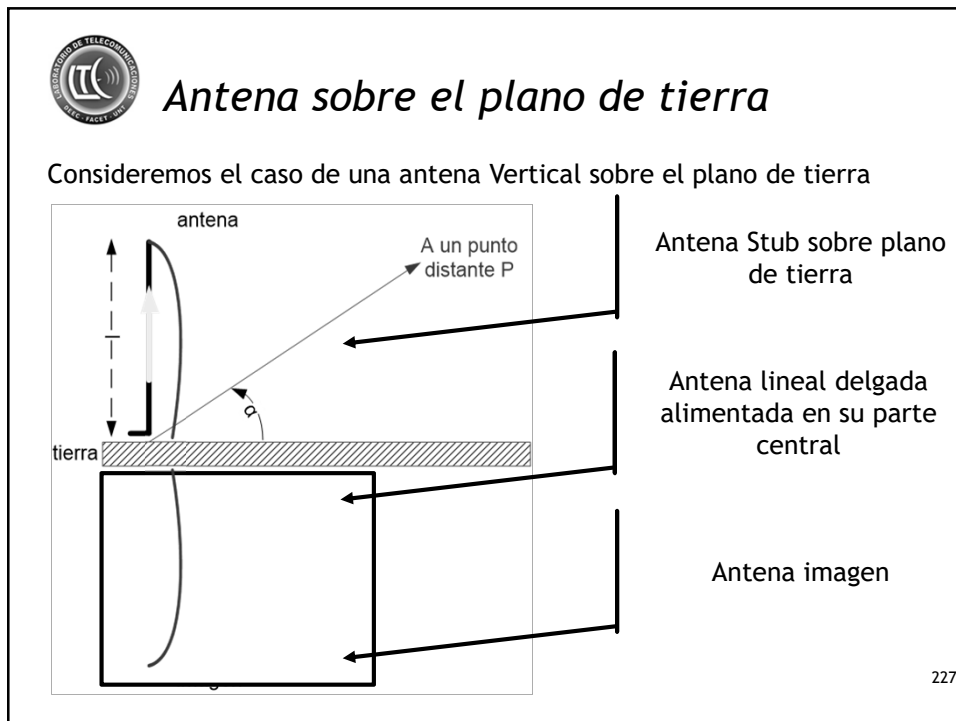
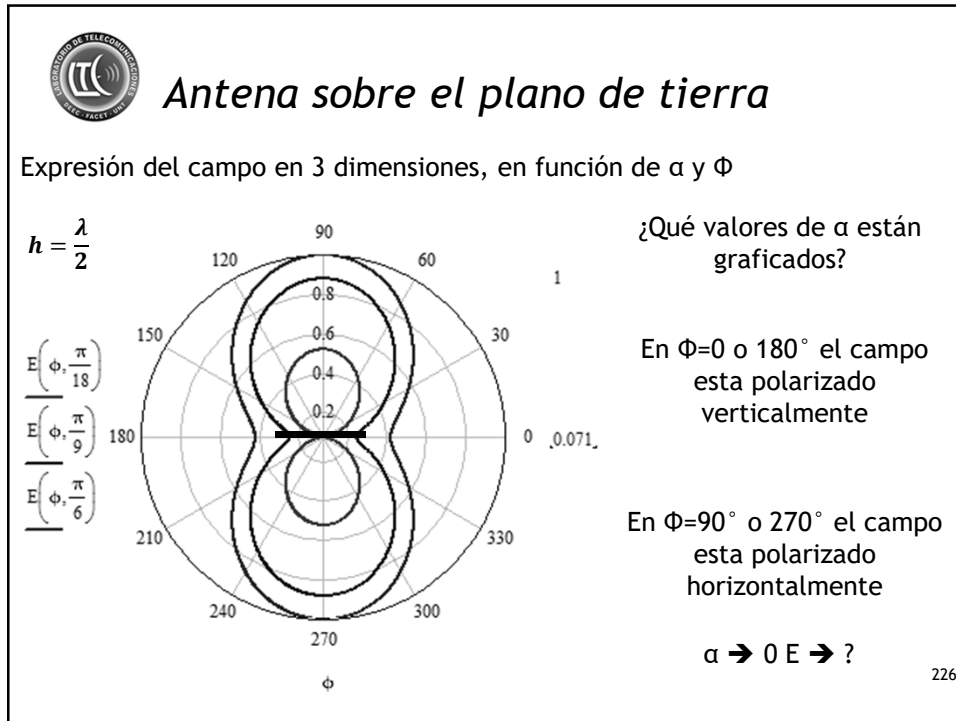
$$E_{iso} = \sin(h_r \sin \alpha) \quad \text{arreglo de dos RI} \quad h_r = \frac{2\pi}{\lambda} h$$

Multiplicando por la expresión anterior

$$E_{(\alpha, \phi)} = \frac{\cos\left(\frac{\pi}{2} \cos \phi \cos \alpha\right)}{\sqrt{1 - (\cos \phi \cos \alpha)^2}} \sin(h_r \sin \alpha)$$

Expresión del campo en 3 dimensiones, en función de α y ϕ

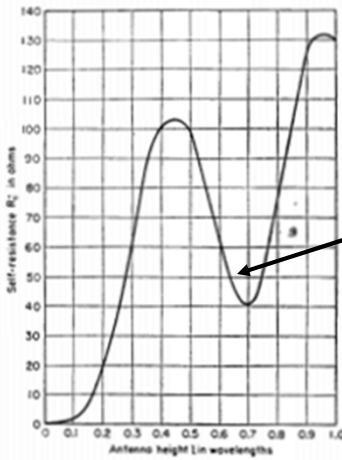
225





Antena sobre el plano de tierra

Antena Vertical sobre el plano de tierra



$$E_{\theta}(\alpha) = \frac{60}{r} \sqrt{\frac{P}{R_{11} + R_{1L}}} \left(\frac{\cos(\beta L \sin(\alpha)) - \cos(\beta L)}{\cos(\alpha)} \right)$$

0,64λ
50Ω

$$E_{\theta}(\alpha) = ? \quad r = 1609 \text{ m} \quad P = 1 \text{ w} \quad L = \frac{\lambda}{4} \quad \alpha = 0^{\circ}$$

perdidas despreciables

$$E_{\theta}(\alpha) = 6,2 \text{ mv/m}$$

Radiation resistance at the current loop of a thin vertical antenna as a function of the height l of the antenna. (After Brown and Labus.)

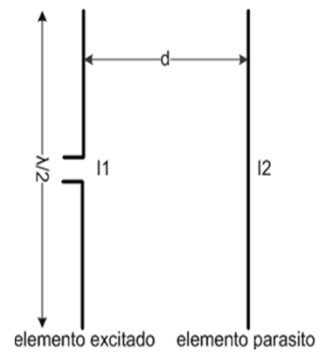
228



Arreglos con elementos parásitos

Hasta ahora habíamos hablado de arreglos donde todos los elementos estaban excitados

Sin embargo es posible construir antenas con elementos parásitos



En donde las corrientes son inducidas por el elemento excitado

$$V_1 = I_1 Z_{11} + I_2 Z_{12}$$

y la segunda ecuación sería...

$$0 = I_2 Z_{22} + I_1 Z_{12}$$

229



Arreglos con elementos parásitos

De la segunda ecuación tenemos

$$I_2 = -\frac{Z_{12}}{Z_{22}} I_1 = -I_1 \left| \frac{Z_{12}}{Z_{22}} \right| \angle(\tau_m - \tau_2)$$

$$I_2 = I_1 \left| \frac{Z_{12}}{Z_{22}} \right| \angle \xi \quad \xi = \pi + \tau_m - \tau_2$$

$$\tau_m = \tan^{-1} \frac{X_{12}}{R_{12}} \quad y \quad \tau_2 = \tan^{-1} \frac{X_{22}}{R_{22}}$$

↑
Impedancia mutua

↑
Impedancia propia

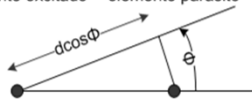
230



Arreglos con elementos parásitos

El campo eléctrico, a grandes distancias, en el plano horizontal será...

elemento excitado elemento parasito



$$E(\phi) = k(I_1 + I_2 \angle d_r \cos \phi)$$

$$E(\phi) = k[I_1 + I_1 \left| \frac{Z_{12}}{Z_{22}} \right| \angle(\xi + d_r \cos \phi)]$$

$$E(\phi) = kI_1 \left[1 + \left| \frac{Z_{12}}{Z_{22}} \right| \angle(\xi + d_r \cos \phi) \right]$$

231



Arreglos con elementos parásitos

La impedancia en el punto de excitación será...

$$Z_1 = Z_{11} - \frac{Z_{12}}{Z_{22}} Z_{12} = Z_{11} - \frac{Z_{12}^2}{Z_{22}}$$

$$R_1 = R_{11} + R_{1L} - \left| \frac{Z_{12}^2}{Z_{22}} \right| \cos(2\tau_m - \tau_2)$$

$$I_1 = \sqrt{\frac{W}{R_1}} = \sqrt{\frac{W}{R_{11} + R_{1L} - \left| \frac{Z_{12}^2}{Z_{22}} \right| \cos(2\tau_m - \tau_2)}}$$

232



Arreglos con elementos parásitos

Regresando a la expresión del campo E

$$E_{(\phi)} = kI_1 \left[1 + \left| \frac{Z_{12}}{Z_{22}} \right| \angle(\xi + d_r \cos \phi) \right]$$

$$E_{(\phi)} = k \sqrt{\frac{W}{R_{11} + R_{1L} - \left| \frac{Z_{12}^2}{Z_{22}} \right| \cos(2\tau_m - \tau_2)}} \left[1 + \left| \frac{Z_{12}}{Z_{22}} \right| \angle(\xi + d_r \cos \phi) \right]$$

Para un solo dipolo de media onda tendremos

$$E_{HW(\phi)} = kI_0 = k \sqrt{\frac{W}{R_{00} + R_{0L}}}$$

233



Arreglos con elementos parásitos

Con lo cual podemos expresar la ganancia como...

$$G(\phi) = k \frac{R_{11} + R_{1L}}{\sqrt{R_{11} + R_{1L} - \left| \frac{Z_{12}^2}{Z_{22}} \right| \cos(2\tau_m - \tau_2)}} \left[1 + \left| \frac{Z_{12}}{Z_{22}} \right| \angle(\xi + d_r \cos \phi) \right]$$

Si se hace muy grande X_{22} desintonizando, la ganancia se hace 1

A partir de una relación similar G. H. Brown encontró que son convenientes espaciados menores a $\lambda/4$.

Directional Antenna, proc IRE 25, 78-145 January 1937 G. H. Brown (Buscar)

234



Arreglos con elementos parásitos

Consideraciones...

La magnitud de la corriente en el elemento parasito y su fase con respecto a la corriente del elemento excitado, dependen de la sintonía

El elemento parasito puede ser de $\lambda/2$ e insertar una reactancia de sintonía en serie con la antena en su punto central

O bien puede ajustarse su longitud, sin usar una reactancia

Esto es conveniente constructivamente, pero mas complejo de analizar

Cambiando la sintonía del elemento parasito, puede actuar como un director enviando el máximo de radiación en $\Phi=0$

O actuar como un reflector enviando el máximo de radiación en $\Phi=180$

235



Arreglos con elementos parásitos

Consideraciones...

Si el elemento tiene una longitud superior a $\lambda/2$ es inductivo y se comporta como reflector.

Si es menor se vuelve capacitivo y actúa como director

Un arreglo puede ser construido con ambos elementos, reflectores y directores.

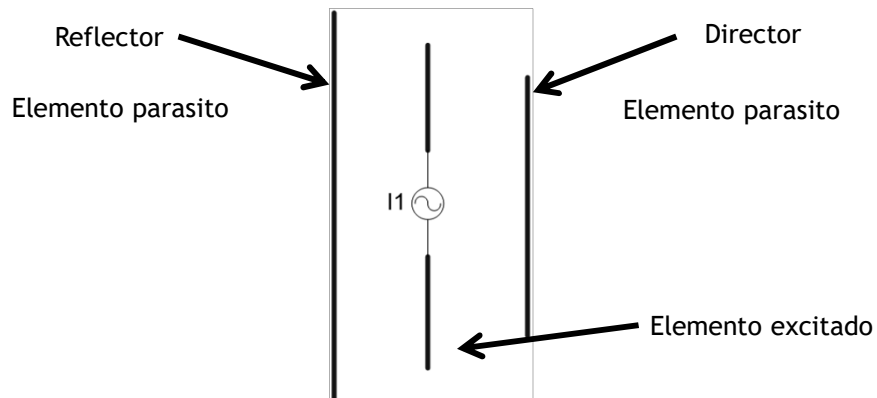
Las investigaciones de Uda llevaron a la conclusión de que la máxima ganancia se obtenía para reflectores cercanos a $\lambda/2$ espaciados a $\lambda/4$ del dipolo y directores más cortos ($\sim 10\%$ de λ) espaciados $\lambda/3$.

236



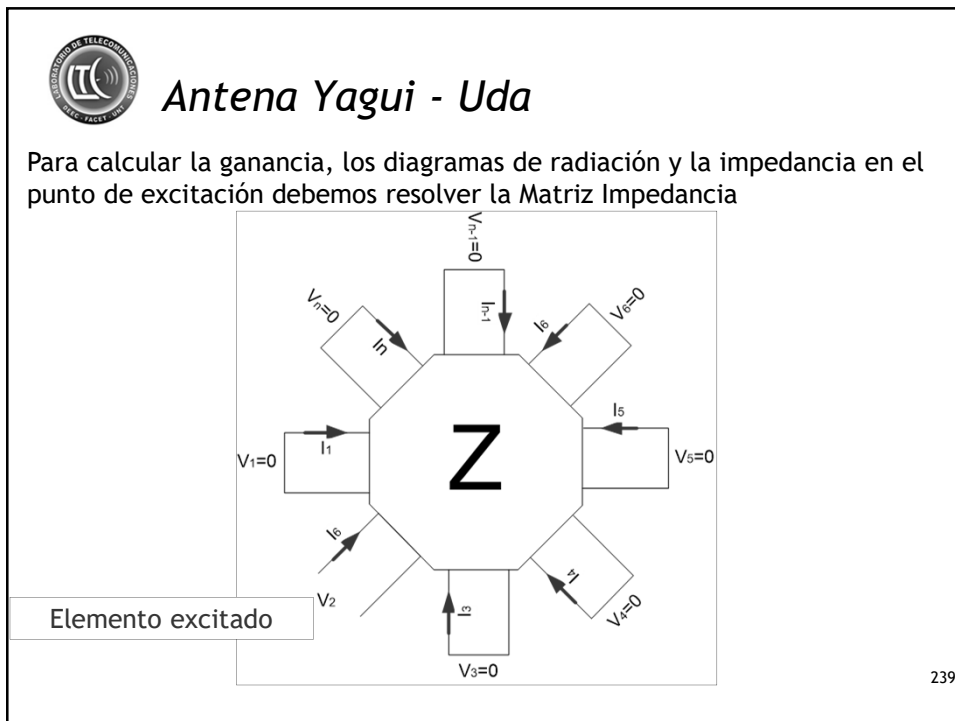
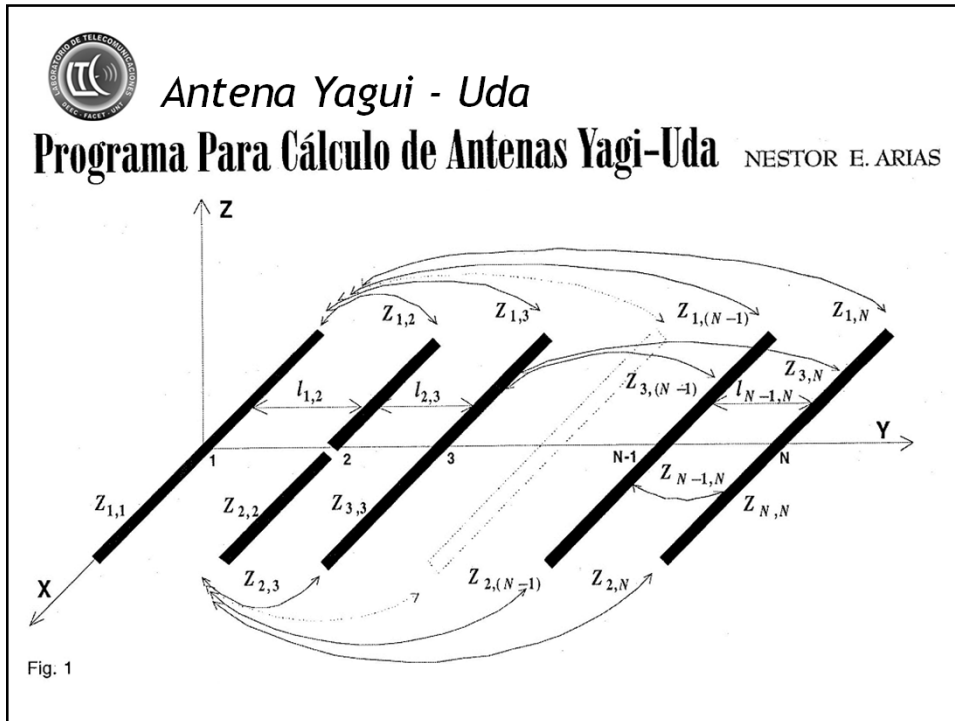
Arreglos con elementos parásitos

Pueden construirse antenas con varios elementos parásitos



Un grupo de antenas lineales con longitudes próximas a $\lambda/2$, distribuidas en el espacio, de una forma específica, y excitadas en un solo elemento forma un tipo de antena conocida como Yagui - Uda

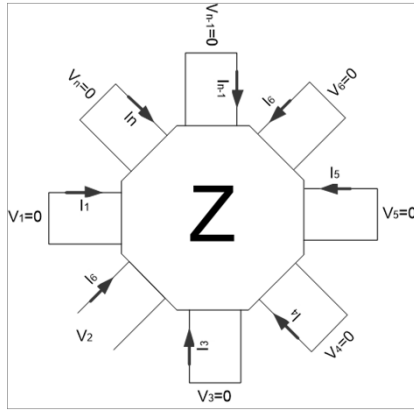
237





Antena Yagui - Uda

Para calcular la ganancia, los diagramas de radiación y la impedancia en el punto de excitación debemos resolver la Matriz Impedancia



Por el teorema de reciprocidad

$$Z_{ij} = Z_{ji}$$

$$[V] = [Z] \cdot [I]$$

240



Antena Yagui - Uda

$$Z_{ij} = Z_{ji}$$

Impedancia propia del elemento

$$Z = \begin{pmatrix} 68.718 + 27.301i & 50.714 - 11.897i & 17.767 - 26.218i & -4.56 - 21.028i & -13.17 - 7.22i & -10.714 + 4.323i & 0.741 + 9.244i & 6.811 + 4.409i & 6.775 - 2.455i & 1.895 - 6.195i \\ 50.714 - 11.897i & 61.039 + 12.372i & 40.92 - 8.264i & 17.555 - 21.105i & -1.79 - 1.203i & -10.978 - 7.874i & -8.455 + 6.039i & -0.393 + 8.882i & 5.937 + 4.994i & 6.707 - 1.516i \\ 17.767 - 26.218i & 40.92 - 8.264i & 39.815 - 34.457i & 29.057 - 9.128i & 12.417 - 15.267i & -1.258 - 13.753i & -9.649 - 2.78i & -6.839 + 4.796i & -0.372 + 7.125i & 4.729 + 4.038i \\ -4.56 - 21.028i & 17.555 - 21.105i & 29.057 - 9.128i & 30.716 - 58.342i & 22.226 - 9.192i & 10.159 - 12.663i & -4.496 - 10.035i & -8.457 - 2.476i & -6.011 + 4.178i & -0.35 + 6.237i \\ -13.17 - 7.22i & -1.79 - 18.203i & 12.417 - 15.267i & 22.229 - 9.192i & 23.275 - 80.655i & 17.981 - 9.073i & 4.731 - 11.657i & -3.891 - 8.759i & -7.348 - 2.181i & -5.235 + 3.61i \\ -10.714 + 4.323i & -10.978 - 7.874i & -1.258 - 13.753i & 10.159 - 12.663i & 17.981 - 9.073i & 20.08 - 91.295i & 13.704 - 8.788i & 4.403 - 10.855i & -3.605 - 8.146i & -6.819 - 2.037i \\ 0.741 + 9.244i & -8.455 + 6.039i & -9.649 - 2.78i & -4.496 - 10.035i & 4.731 - 11.657i & 13.704 - 8.788i & 20.08 - 91.295i & 16.703 - 8.986i & 8.235 - 10.417i & -0.839 - 9.838i \\ 6.811 + 4.409i & -0.393 + 8.882i & -6.839 + 4.796i & -8.457 - 2.476i & -3.891 - 8.759i & 4.403 - 10.855i & 16.703 - 8.986i & 20.08 - 91.295i & 16.703 - 8.986i & 8.235 - 10.417i \\ 6.775 - 2.455i & 5.937 + 4.994i & -0.372 + 7.125i & -6.011 + 4.178i & -7.348 - 2.181i & -3.605 - 8.146i & 8.235 - 10.417i & 16.703 - 8.986i & 20.08 - 91.295i & 16.703 - 8.986i \\ 1.895 - 6.195i & 6.707 - 1.516i & 4.729 + 4.038i & -0.35 + 6.237i & -5.235 + 3.61i & -6.819 - 2.037i & -0.839 - 9.838i & 8.235 - 10.417i & 16.703 - 8.986i & 20.08 - 91.295i \end{pmatrix}$$

241



Sistema de adaptación Gamma

Las antenas tipo dipolo que hemos estudiado presentan en su punto de excitación impedancias por lo general complejas, lo cual plantea la necesidad de adaptación a los valores de impedancia características Z_0 disponibles comercialmente.

Esto evitara ondas estacionarias y maximizara la entrega de energía en la carga.

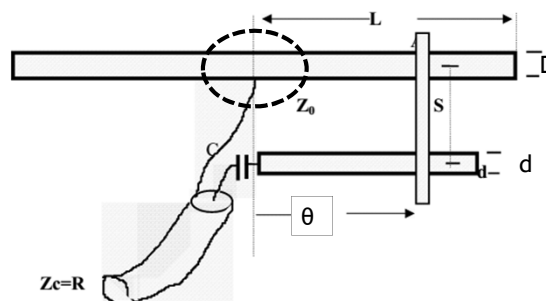
Analizaremos el método de ADAPTACION GAMMA.

242



Sistema de adaptación Gamma

El sistema Gamma, permite adaptar antenas de tipo dipolo a líneas coaxiales (desbalanceadas), con la ventaja de que el centro del dipolo se puede conectar a masa .



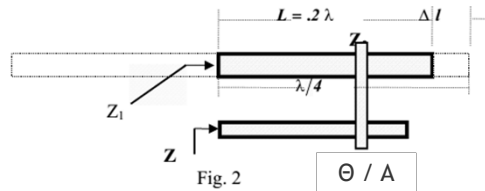
Si la antena es de tipo yagui todos los elementos estarán unidos al barral central.

243



Sistema de adaptación Gamma

El método propuesto será para un dipolo $\lambda/2$ sin acoplamientos.



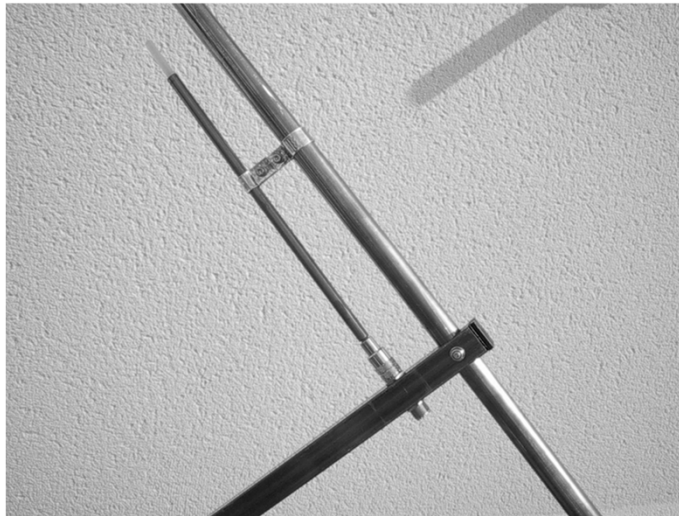
Z_1 = Impedancia en el punto de excitación del dipolo,
en este caso considera como si fuera un monopolo de $\lambda/4$

Necesitamos determinar el punto A (distancia eléctrica θ)
y el valor del capacitor C

244



Sistema de adaptación Gamma



245



Antenas Microstrip

Aplicaciones en aeronáutica, satélites, espacio exterior y misiles requieren de antenas cumplan con las siguientes características:

- Perfil aerodinámico
- Adaptable a superficies planas y no planas
- Simples de fabricar
- Tamaño y peso reducidos
- Facilidad de instalación

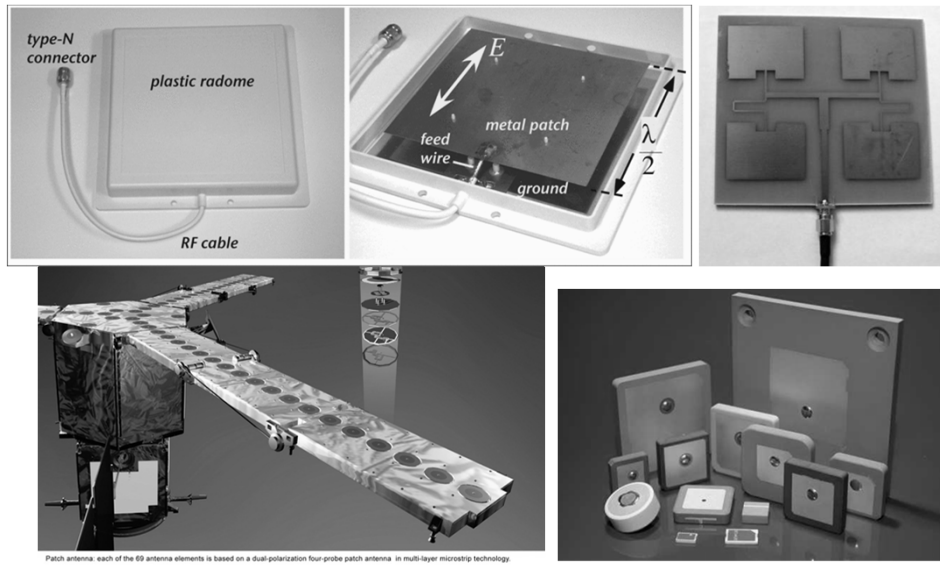
Las antenas microstrip cumplen con estos requisitos

Bibliografía: *Antenna Theory: Analysis and Design Constantine Balanis*

246

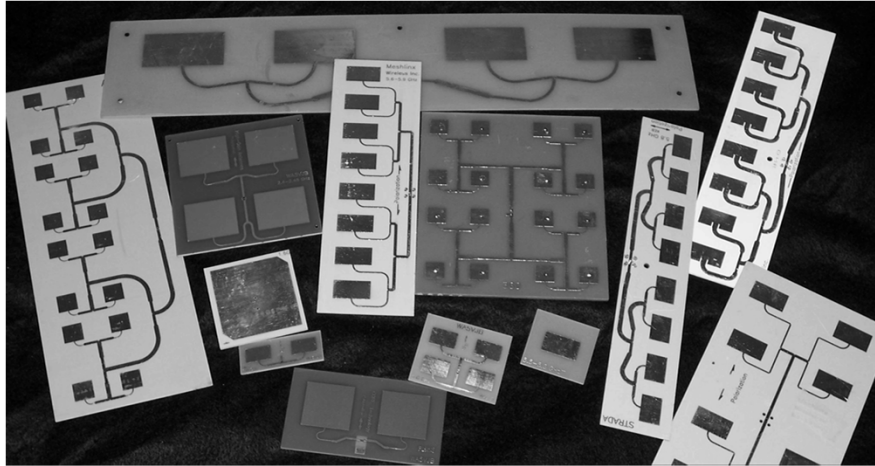


Antenas Microstrip





Antenas Microstrip



248



Antenas Microstrip

Características de las antenas microstrip:



Robustas



Compatibles con diseños MMIC



Versátiles



Alto Q



Configurables mediante la inserción de cargas entre la antena y el plano de tierra



Baja eficiencia y Baja potencia



Pureza de polarización pobre

249

 **Antenas Microstrip**

Características básicas de las antenas microstrip:

Antena ranura radiante

Patch de espesor $t \ll \lambda_0$

Ubicado sobre un plano de tierra $h \ll \lambda_0$
 $0,003\lambda_0 < h < 0,05\lambda_0$

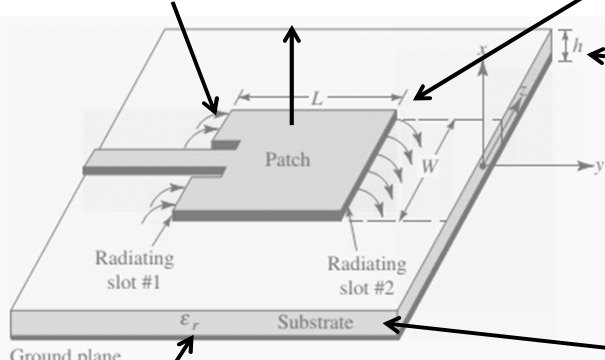
¿Dónde estará el máximo de radiación?

$\lambda_0/3 < L < \lambda_0/2$

$2,2 < \epsilon_r < 12$

Sustratos altos \rightarrow Mejor eficiencia, pero mayor tamaño

Para microondas, menor tamaño \rightarrow mayores pérdidas



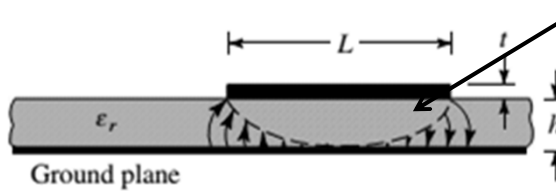
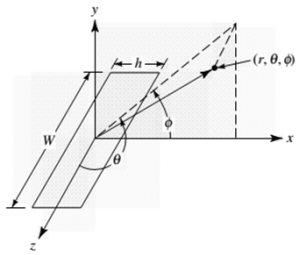
250

 **Antenas Microstrip**

Características básicas de las antenas microstrip:

Campo E

Sistema de coordenadas para cada antena ranura

(c) Coordinate system for each radiating slot

251



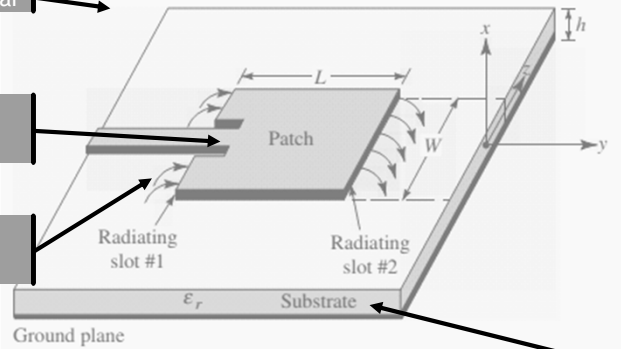
Antenas Microstrip

Métodos de alimentación: *Línea microstrip*

Fácil de fabricar

Simple de adaptar

Fácil de modelar



Si el espesor se incrementa, también lo hacen las ondas de superficie y la radiación espuria

252

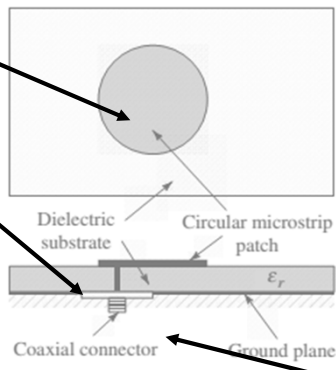


Antenas Microstrip

Métodos de alimentación: *Línea coaxial*

El conductor central se conecta al patch

El conductor exterior se conecta al plano de tierra



Es fácil de fabricar y adaptar, tiene baja radiación espuria, pero se reduce el ancho de banda (2 al 5%) y es mas difícil de modelar $h \ll 0,02\lambda_0$.

253

Antenas Microstrip

Métodos de alimentación: *Acoplamiento por apertura*

1) Patch

2) Sustrato 1 $\epsilon_r \downarrow$

3) Slot (Ranura)

4) Plano de tierra

5) Sustrato 2 $\epsilon_r \uparrow$

6) Línea microstrip

Mas difícil de fabricar y tiene un reducido ancho de banda
Fácil de modelar y moderada radiación espuria
El plano de tierra aísla la línea de la antena

254

Antenas Microstrip

El acoplamiento por apertura, puede ser modelado a partir de la Teoría de Bethe

THE
PHYSICAL REVIEW

A journal of experimental and theoretical physics established by E. L. Nichols in 1893

SECOND SERIES, VOL. 66, NOS. 7 AND 8

OCTOBER 1 AND 15, 1944

Theory of Diffraction by Small Holes

H. A. BETHE
Department of Physics, Cornell University, Ithaca, New York
(Received January 26, 1942)

255

Antenas Microstrip

Métodos de alimentación: *Acoplamiento por proximidad*

1) Patch

2) Sustrato 1 $\epsilon_r \downarrow$

3) Línea microstrip

4) Sustrato 2 $\epsilon_r \uparrow$

5) Patch

6) Plano de tierra

ϵ_{r1}

ϵ_{r2}

(d) Proximity-coupled feed

Mayor ancho de banda (aprox. 13%)
Fácil de modelar y moderada radiación espuria
Puede ser algo más difícil de fabricar

256

Antenas Microstrip

En resumen los métodos de acoplamiento más comunes son

Parque rectangular

Línea de transmisión

Parque

Ranura

Línea de transmisión

Conector coaxial

Parque

Línea de transmisión

Plano de masa

157

 **Antenas Microstrip**

Métodos de análisis

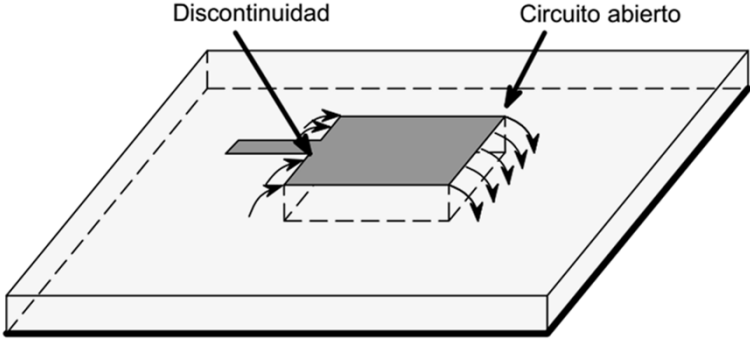
 Método de línea de transmisión	<ul style="list-style-type: none"> → Fácil → +Intuitivo físicamente → Menos preciso
 Método de cavidad	<ul style="list-style-type: none"> → Mas complejo → -Intuitivo físicamente → Mas preciso
 Método de momentos	<ul style="list-style-type: none"> → Muy versátil → Poco intuitivo físicamente → Muy preciso

258

 **Antenas Microstrip**

Modelo de Línea de Transmisión: La antena patch rectangular, puede ser representada como un arreglo de dos antenas ranuras de ancho W y altura h , separadas por una línea de baja impedancia de longitud L

¿Dónde están cada uno de estos parámetros y equivalentes?

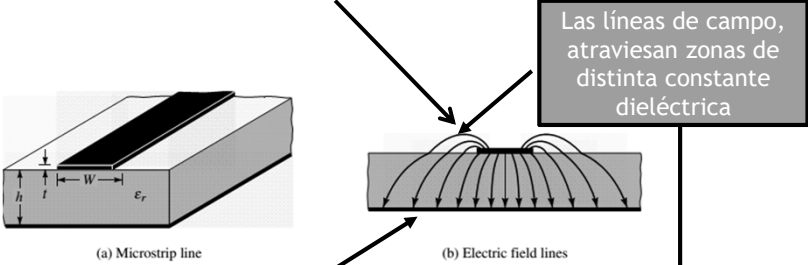


Discontinuidad Circuito abierto

259

 **Antenas Microstrip**

Modelo de Línea de Transmisión: Efecto de bordes (fringing)



(a) Microstrip line

(b) Electric field lines

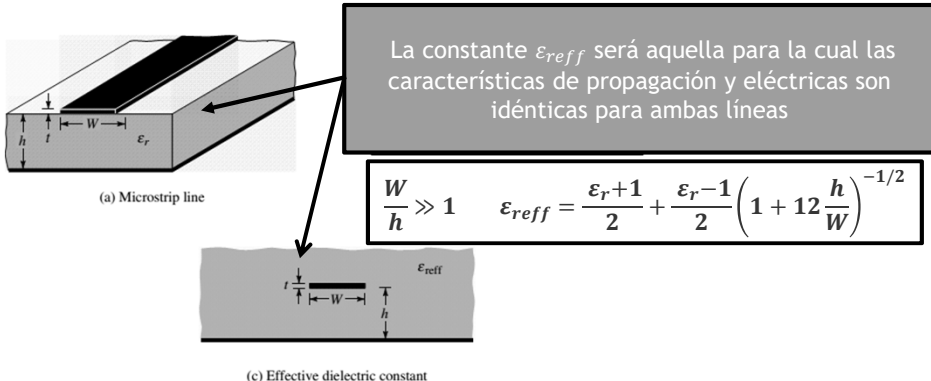
Las líneas de campo, atraviesan zonas de distinta constante dieléctrica

Podemos entonces hablar de una constante ϵ_{reff}

Para $\epsilon_r \gg 1$ y $\frac{W}{h} \gg 1$ las líneas se concentran mayormente en el sustrato, aparece un ensanchamiento eléctrico Wt

 **Antenas Microstrip**

Modelo de Línea de Transmisión: Constante dieléctrica efectiva

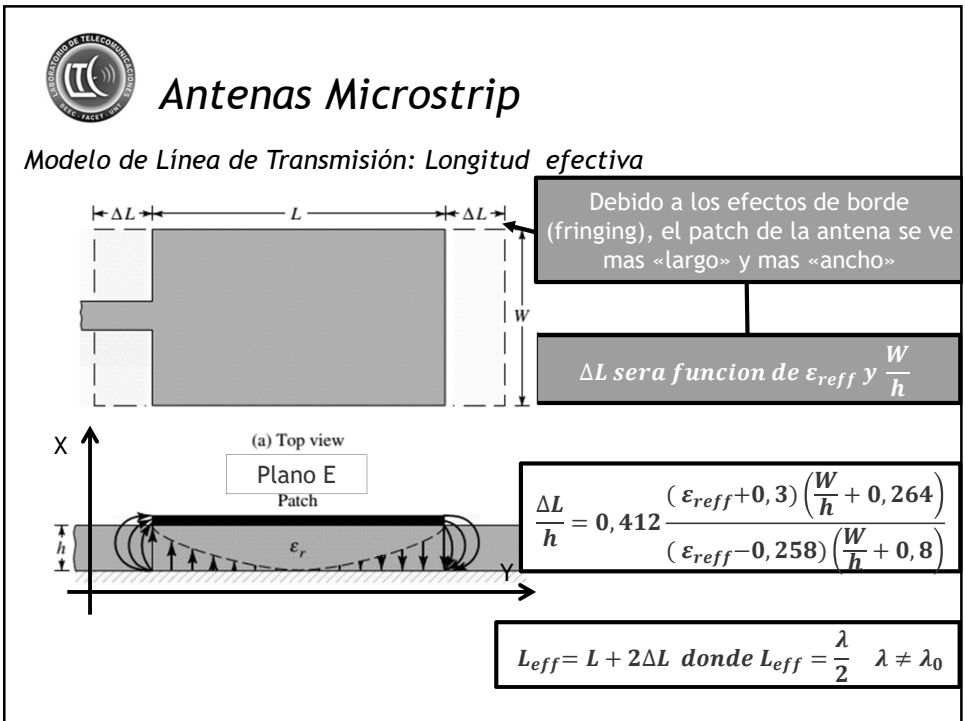
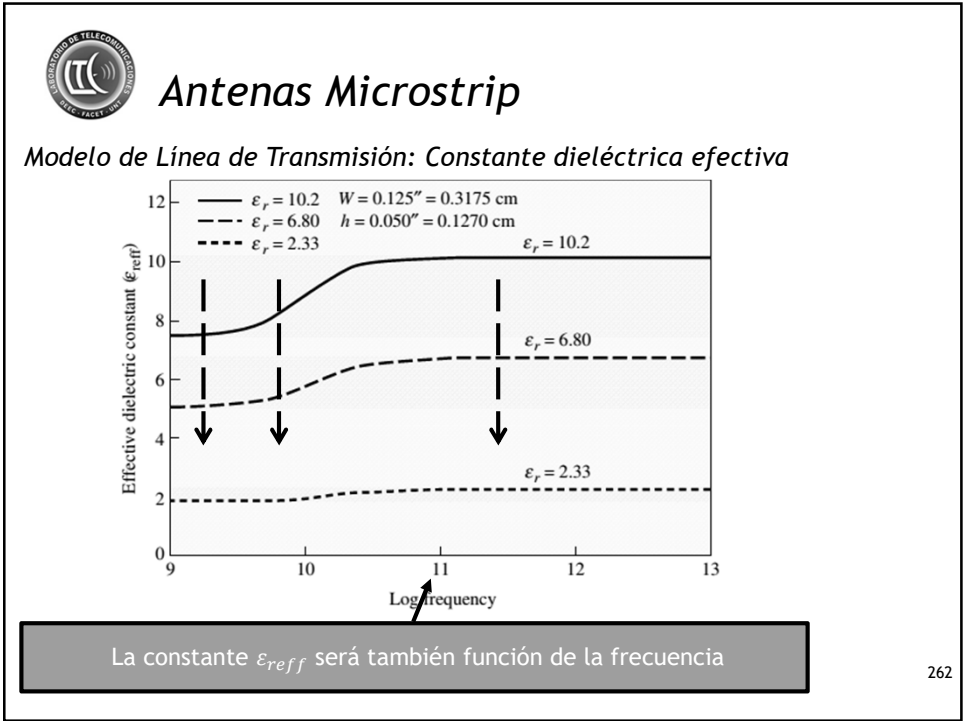


(a) Microstrip line

(c) Effective dielectric constant

La constante ϵ_{reff} será aquella para la cual las características de propagación y eléctricas son idénticas para ambas líneas

$$\frac{W}{h} \gg 1 \quad \epsilon_{reff} = \frac{\epsilon_r + 1}{2} + \frac{\epsilon_r - 1}{2} \left(1 + 12 \frac{h}{W} \right)^{-1/2}$$





Antenas Microstrip

Modelo de Línea de Transmisión: frecuencia de resonancia

El modo dominante será el TM_{010} y por consiguiente la frecuencia de resonancia sería:

$$f_{rc_{010}} = \frac{1}{2L\sqrt{\epsilon_r}\sqrt{\epsilon_0\mu_0}} = \frac{v_0}{2L\sqrt{\epsilon_r}}$$

Pero si consideramos los efectos de borde, tendremos:

$$f_{rc_{010}} = \frac{1}{2L_{eff}\sqrt{\epsilon_{reff}}\sqrt{\epsilon_0\mu_0}} = \frac{v_0}{2(L + 2\Delta L)\sqrt{\epsilon_{reff}}}$$

264



Antenas Microstrip

Modelo de Línea de Transmisión: Procedimiento de diseño

Dados el material de diseño, y la frecuencia de resonancia

$$f_r \text{ (Hz)} \quad \epsilon_r \quad h$$

$$f_r = 10 \cdot 10^9 \text{ Hz} \quad \epsilon_r = 2,2 \quad h = 0,1588 \text{ cm}$$

Sustrato RT/Duroid 5880

Determinar: W y L

265



Antenas Microstrip

Modelo de Línea de Transmisión: Procedimiento de diseño

1) Para un radiador eficiente, es una buena aproximación considerar

$$W = \frac{1}{2 f_r \sqrt{\epsilon_0 \mu_0}} \sqrt{\frac{2}{\epsilon_r + 1}} = \frac{v_0}{2 f_r} \sqrt{\frac{2}{\epsilon_r + 1}}$$

$$W = \frac{30}{2(10)} \sqrt{\frac{2}{2,2 + 1}} = 1,186 \text{ cm}$$

266



Antenas Microstrip

Modelo de Línea de Transmisión: Procedimiento de diseño

2) Determinar la constante dieléctrica efectiva

$$\epsilon_{\text{reff}} = \frac{\epsilon_r + 1}{2} + \frac{\epsilon_r - 1}{2} \left(1 + 12 \frac{h}{W} \right)^{-1/2}$$

$$\epsilon_{\text{reff}} = \frac{2,2 + 1}{2} + \frac{2,2 - 1}{2} \left(1 + 12 \frac{0,1588}{1,186} \right)^{-1/2} = 1,972$$

267



Antenas Microstrip

Modelo de Línea de Transmisión: Procedimiento de diseño

3) Determinar ΔL

$$\frac{\Delta L}{h} = 0,412 \frac{(\epsilon_{reff} + 0,3) \left(\frac{W}{h} + 0,264 \right)}{(\epsilon_{reff} - 0,258) \left(\frac{W}{h} + 0,8 \right)}$$

$$\Delta L = 0,412(0,1588) \frac{(1,972 + 0,3) \left(\frac{1,186}{0,1588} + 0,264 \right)}{(1,972 - 0,258) \left(\frac{1,186}{0,1588} + 0,8 \right)} = 0,081 \text{ cm}$$

268



Antenas Microstrip

Modelo de Línea de Transmisión: Procedimiento de diseño

4) Determinar L

$$L_{eff} = \frac{1}{2f_{rc010} \sqrt{\epsilon_{reff} \sqrt{\epsilon_0 \mu_0}}} = \frac{\lambda}{2} \quad L = L_{eff} - 2\Delta L$$

$$L = \frac{\lambda}{2} - 2\Delta L = \frac{30}{2(10)\sqrt{1,972}} - 2(0,081) = 0,906 \text{ cm}$$

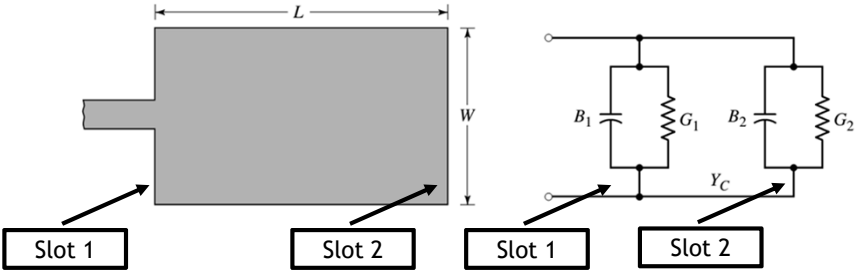
269



Antenas Microstrip

Modelo de Línea de Transmisión: Impedancia

Puede considerarse el siguiente modelo equivalente



$Y_1 = Y_2$

$G_1 = G_2$

$B_1 = B_2$

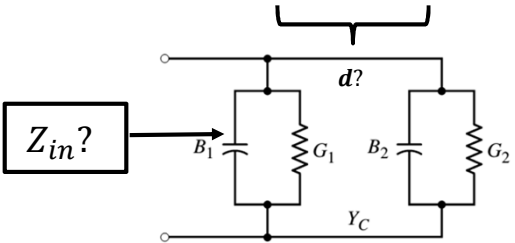
270



Antenas Microstrip

Modelo de Línea de Transmisión: Impedancia modelo equivalente

$$G_1 = \begin{cases} \frac{1}{90} \left(\frac{W}{\lambda_0}\right)^2 & \text{si } W \ll \lambda_0 \\ \frac{1}{120} \left(\frac{W}{\lambda_0}\right) & \text{si } W \gg \lambda_0 \end{cases}$$



$$Y_{in} = Y_1 + \tilde{Y}_2 = G_1 + \tilde{G}_2 + B_1 + \tilde{B}_2$$

271



Antenas Microstrip

Modelo de Línea de Transmisión: Impedancia modelo equivalente

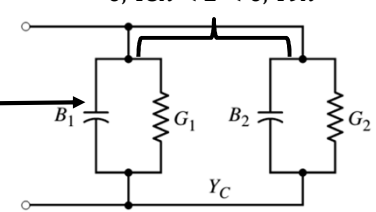
$$Y_{in} = Y_1 + \tilde{Y}_2 = G_1 + \tilde{G}_2 + B_1 + \tilde{B}_2$$

$$\tilde{Y}_2 = G_1 - B_1$$

$$Y_{in} = G_1 + G_1 + B_1 - B_1$$

$$Z_{in} = \frac{1}{2G_1}$$

$0,48\lambda < L < 0,49\lambda$



$$Z_{in} = \frac{1}{2G_1}$$

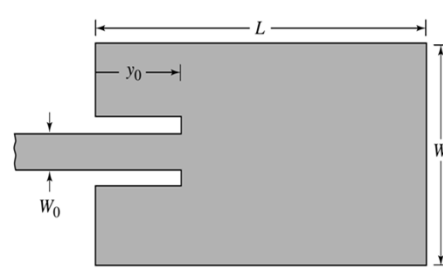
$$Z_{in} = \frac{1}{2(G_1 + G_{12})}$$

272



Antenas Microstrip

Ajustando la impedancia de entrada



Se puede cambiar la impedancia de entrada, insertando la línea de transmisión una distancia "y₀" en el patch.

Entonces es posible adaptar la antena usando una línea microstrip cuya impedancia característica sea:

$$Z_c = \begin{cases} \frac{60}{\sqrt{\epsilon_{\text{reff}}}} \ln \left[\frac{8h}{W_0} + \frac{W_0}{4h} \right], & \frac{W_0}{h} \leq 1 \end{cases} \quad (14-19a)$$

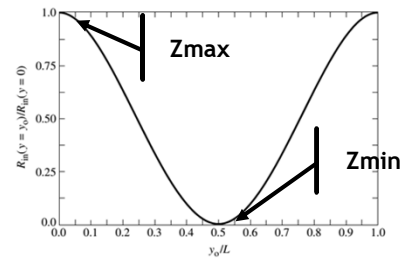
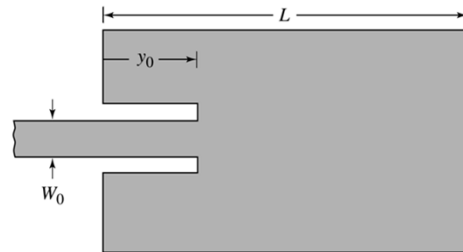
$$\frac{120\pi}{\sqrt{\epsilon_{\text{reff}} \left[\frac{W_0}{h} + 1.393 + 0.667 \ln \left(\frac{W_0}{h} + 1.444 \right) \right]}}, \frac{W_0}{h} > 1 \quad (14-19a)$$

273



Antenas Microstrip

Ajustando la impedancia de entrada



$$R_{in}(y = y_0) = \frac{1}{2(G_1 \pm G_{12})} \cos^2\left(\frac{\pi y_0}{L}\right) = R_{in}(y = 0) \cos^2\left(\frac{\pi y_0}{L}\right)$$

274